

Instituto Tecnológico
GeoMinero de España

INFORME SOBRE LAS CAMPAÑAS
DE TESTIFICACIÓN DEL
CAMPO DE DALIAS 1989-1992



SECRETARIA GENERAL DE LA ENERGIA Y RECURSOS MINERALES
MINISTERIO DE INDUSTRIA Y ENERGIA

40434

INDICE

1. INTRODUCCION Y OBJETIVOS	1
2. SINTESIS ESTADISTICA DE LAS CAMPAÑAS DE TESTIFICACION	4
3. PROCESO DE DATOS.....	14
3.1 HOMOGENEIZACION DE RESISTIVIDADES A 25°C	16
3.2 CONVERSION DE RESISTIVIDADES EN CONCENTRACIONES DE ClNa	19
3.2.1 VALORES TEORICOS	19
3.2.2 CALIBRACION DE LA SONDA 9040 DE CENTURY	29
3.3 CALCULOS REALIZADOS	35
4. PROBLEMAS ENCONTRADOS EN LOS VALORES PRESENTADOS POR CGS	36
4.1 SONDA DE CONDUCTIVIDAD	39
4.2 COMPARACION DE MEDICIONES EN DOS SONDEOS	47
4.3 SOLUCION ADOPTADA PARA LA CONVERSION A SALINIDAD ..	55
5. PRECISION DE LOS RESULTADOS	62
6. PRESENTACION DE RESULTADOS	66
6.1 REPRESENTACION EN PAPEL	66
6.2 FICHEROS DIGITALES	74
ANEXO I : LISTADO DIRECTORIO DE FICHEROS DIGITALES	78
ANEXO II : LISTADO DE FICHEROS EMPLEADOS EN LOS GRAFICOS	117
ANEXO III : REPRESENTACION DE REGISTROS (ESCALA UNIFORME)	
ANEXO IV : REPRESENTACION DE REGISTROS (ESCALA VARIABLE)	
ANEXO V : REPRESENTACION DE REGISTROS DE GAMMA NATURAL	

INDICE DE GRAFICOS

1.- SONDEOS TESTIFICADOS DE LA RED DE INTRUSION DEL CAMPO DALIAS (ALMERIA)	6
2.- GRAFICO 1 - RESISTIVIDAD DE SOLUCIONES DE CLNa	17
3.- GRAFICO 2 - RESISTIVIDAD-CONCENTRACION- TEMPERATURA	20
4.- GRAFICO 3 - CONCENTRACIONES EQUIVALENTES DE CLNa .	21
5.- GRAFICO 4 - RESISTIVIDAD DE SOLUCIONES DE CLNa	22
6.- GRAFICO 5 - VALORES TEORICOS (1)	25
7.- GRAFICO 6 - VALORES TEORICOS (2)	26
8.- GRAFICO 7 - CALIBRACION SONDA 9040	34
9.- GRAFICO 8 - CONDUCTIVIDAD-RESISTIVIDAD	40
10.- GRAFICO 9 - CALIBRACION SONDA DE CONDUCTIVIDAD	40b
11.- GRAFICO 10 - SONDA DE CONDUCTIVIDAD	43
12.- GRAFICO 11 - CALIBRACION SONDA DE CONDUCTIVIDAD ...	44
13.- GRAFICO 12 - COMPARACIONES DE CALIBRACIONES	46
14.- GRAFICO 13 - COMPARACIONES DE REGISTROS EN EL SONDEO 224RM	50
15.- GRAFICO 14 - COMPARACIONES DE REGISTROS EN EL SONDEO A10	51
16.- GRAFICO 15 - MEDICIONES EN LOS SONDEOS A10 Y 224RM.	54
17.- GRAFICO 16 - CORRESPONDENCIA DE LECTURAS EN SONDEOS	56
18.- GRAFICO 17 - RELACION DE SALINIDAD ENTRE SONDAS ...	58
19.- GRAFICO 18 - CONVERSION DE SALINIDAD ENTRE SONDAS .	60
20.- GRAFICO 19 - SEUDOCALIBRACION SONDA 9040 CON CONCENTRACIONES SEGUN SONDA DE CON- DUCTIVIDAD	61
21.- GRAFICO 20 - INFORMES CGS/INFORME ITGE	67

1. INTRODUCCION Y OBJETIVOS

La economía de la provincia de Almería está sostenida, fundamentalmente, por la agricultura desarrollada en la llanura del Campo de Dalías. El agua utilizada para los cultivos, en invernaderos, es de origen subterráneo en más del 80% y procedente de los acuíferos del Campo de Dalías, de carácter costero.

La elevada explotación mantenida desde los años 60 en dichos acuíferos, ha dado lugar a la entrada progresiva de agua de mar hacia el continente en la mayoría de estos acuíferos, lo que se refleja en el aumento de la salinidad del agua bombeada, hasta llegar en algunas zonas, a niveles no admisibles por la demanda agrícola. Este problema también ha afectado a la calidad del agua de abastecimiento a las poblaciones situadas en dicho Campo, así como a Almería capital, que obtiene casi todo su suministro de los citados acuíferos.

Mediante el estudio hidrogeológico que viene realizando el Instituto Tecnológico Geominero de España en el Campo de Dalías, desde hace más de veinte años, se ha comprobado la existencia de distintos acuíferos, de complicada distribución espacial, con diferentes cargas hidráulicas y características hidroquímicas, conectados entre sí y en relación más o menos directa con el mar.

La complejidad hidrogeológica existente, sobre todo en la zona noreste del Campo, y la gravedad de la repercusión socio-económica de los procesos de contaminación que se están produciendo, hacen necesaria por una parte, la realización de una serie de sondeos, para disponer de un mínimo de puntos de control de cada uno de los acuíferos afectados por esta contaminación, y por otra, llevar a cabo, en los puntos existentes como redes de control, la toma de datos, lo más detallada posible, de las características físicas y químicas de interés y su evolución, por acuíferos y áreas de los mismos.

La investigación en curso tiene como objetivo prioritario la interpretación de los procesos de contaminación por intrusión, para prever las consecuencias de la reacción que la explotación está generando (y que se desconoce en buena parte), y poder diseñar las medidas consideradas necesarias para la corrección del problema, manteniéndose un aprovechamiento racional de los recursos existentes.

Unicamente mediante la medida directa en sondeos de la evolución espacial de la salinidad, temperatura, etc, es posible conocer el comportamiento de los acuíferos frente a la explotación existente, por lo que se hace imprescindible la realización periódica de registros geofísicos para estudiar el proceso y su progresión. Como es sabido, cuando se trata de investigaciones hidrogeológicas de contaminación, no basta con las interpretaciones globales, sino que hay que llegar a un nivel de detalle mucho mayor en los seguimientos de las situaciones hidrodinámicas e hidroquímicas.

En este sentido, los registros geofísicos constituyen una pieza clave, por el grado de precisión alcanzable y la gran cantidad de información que pueden suministrar. Permiten observar variaciones espaciales y temporales del flujo de agua salada y dulce, con gran detalle en cuanto a la profundidad, valores de resistividad, temperatura, etc, dando una visión cualitativa importante de los recursos de los acuíferos, el grado de vulnerabilidad de los mismo, etc.

Con los objetivos señalados, y teniendo en cuenta la necesidad de desarrollar estudios metodológicos de contaminación que sirvan de guía para las investigaciones en otras zonas, se han realizado una serie de campañas de testificación en sondeos de la red de seguimiento de la intrusión del Campo de Dalías, fundamentalmente con obtención de medidas de resistividad eléctrica y temperatura del agua, durante los años 1989, 1990, 1991 y 1992.

Estas campañas de testificación fueron contratadas por el ITGE a la Compañía General de Sondeos (CGS).

Los datos registrados se sometieron a un proceso de cálculo, para obtener los valores de salinidad a través de la calibración de la sonda empleada.

Sin embargo, durante la utilización de los datos tomados y calculados en las mencionadas campañas de testificación geofísica, se han detectado ciertas anomalías y errores, tras cuyo análisis ha resultado procedente someter los registros a un nuevo proceso.

Las anomalías detectadas son de varios tipos:

- * errores en la digitalización de los datos de campo.
- * errores en los cálculos.
- * errores en el sistema de calibración de la sonda.

El objetivo de este Informe es precisamente el recopilar todas las campañas efectuadas desde noviembre de 1989, analizar y corregir los errores encontrados, ofreciendo una solución parcial en los casos en que dichos errores no tienen solución completa, para que los datos sean de mayor utilidad en el fin para el que fueron tomados.

La repetición de las digitalizaciones, cálculos y obtención de nuevos ficheros de valores, con sus respectivas salidas gráficas, ha sido llevado a cabo por la becaria del ITGE Dña Marta García Vivanco, en las oficinas de la Compañía General de Sondeos, durante los meses de abril a junio de 1993, como becaria del ITGE, y desde junio de 1993 a febrero 1994 dependiendo directamente de CGS, como becaria de Formación de Personal Investigador del MEC.

Este informe constituye pues un complemento de los entregados por CGS sobre estos trabajos, siendo importante tener en cuenta que todos los resultados de concentraciones salinas y los llamados de "resistividad real" anteriormente presentados NO SON VALIDOS, siendo sustituidos por los aquí expuestos.

2. SINTESIS ESTADISTICA DE LAS CAMPAÑAS DE TESTIFICACION.

Las campañas de testificación realizadas han sido las siguientes, con un total de 16386 m registrados:

Nº	fecha	sondeos	metros	N.F.D. ITGE
1...	nov 1989.....	21.....	2334.....	40386
2...	abr 1990.....	23.....	2487.....	40387
3...	oct 1990.....	27.....	2893.....	40388
4...	abr 1991.....	32.....	3352.....	40396
5...	nov 1991.....	25.....	2052.....	no existe
6...	abr 1992.....	31.....	3268.....	no existe

El N.F.D. corresponde al número de informe entregado por CGS y depositado en el Fondo Documental general del ITGE.

En lo sucesivo cada campaña será identificada por su número de orden. Las campañas 1, 2, 3 y 4 se realizaron dentro del Proyecto "TESTIFICACION GEOFISICA DE SONDEOS MECANICOS, DIVULGACION Y DESARROLLO METODOLOGICO DE ESTA TECNICA", expediente 165/89. mientras que las campañas 5 y 6 lo fueron dentro del Proyecto "APOYO GEOFISICO COMPLEMENTARIO A INVESTIGACIONES HIDROGEOLOGICAS", expedientes 213/91 y 126/92.

Todos los sondeos se encuentran en las hojas 1/50.000 números 1057 y 1058, indicándose su posición en el plano adjunto.

En los siguientes cuadros se indica:

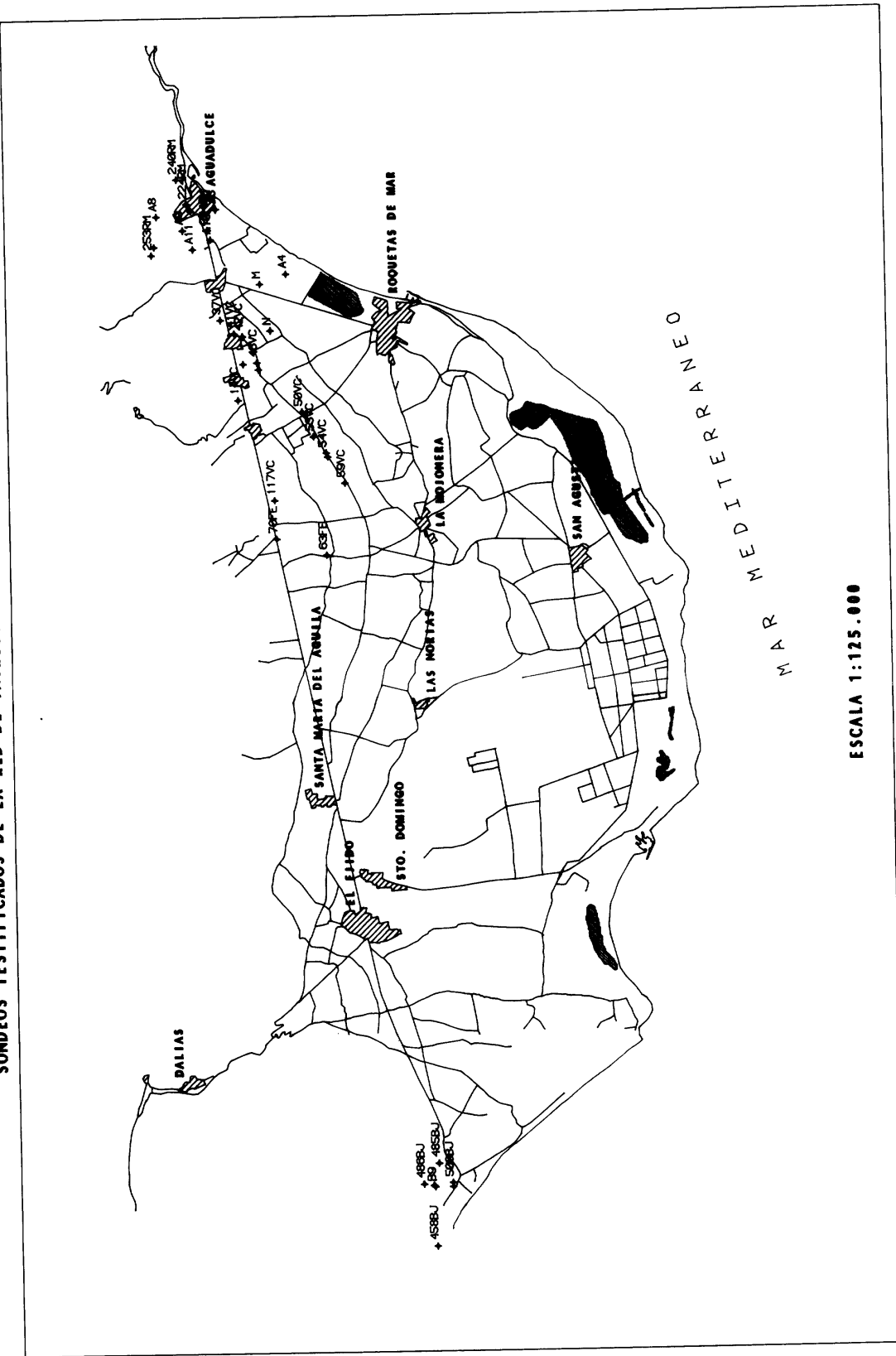
* coordenadas UTM y cotas de cada sondeo.

* metros testificados en cada sondeo, por campañas.

* tramo testificado en cada sondeo, por campañas. Las profundidades estan referidas al valor 0 en superficie.

Este ultimo cuadro es de referencia general, con valores orientativos, pudiendo obtenerse los valores precisos en los ficheros digitales. Puesto que los sensores de temperatura y resistividad no estan en la misma posicion de la sonda, se ha elegido el registro de resistividad para establecer las profundidades en estos cuadros.

CONDEOS TESTIMONIOS DE LA RED DE INTRUSIÓN DEL CAMPO DE DÁLIAS (ALMERÍA)



COORDENADAS UTM DE LOS SONDEOS TESTIFICADOS POR C.G.S. (Almería)

Nº SONDEO	X	Y	Z
A3	538.100	4.074.000	14,96
A4	536.125	4.071.900	4,93
A5	538.100	4.074.000	14,92
A8	537.900	4.075.800	119,35
A9	537.500	4.075.000	65,57
A10	537.200	4.074.150	51,83
A11	536.900	4.074.700	72,95
B5	508.450	4.067.350	24,94
B9	508.450	4.067.900	80,61
B10	508.475	4.067.925	78,62
M	535.800	4.072.700	20,50
N	534.400	4.072.400	40,98
6RM	538.075	4.074.750	51,92
224RM	538.275	4.074.875	51,75
240RM	539.025	4.075.150	104,18
244RM	537.500	4.074.250	48,91
252RM	537.000	4.075.875	152,99
253RM	536.725	4.075.950	150,87
14VC	532.325	4.073.400	94,41
37VC	534.725	4.073.925	70,46
41VC	534.325	4.073.475	69,95
42VC	534.225	4.073.250	69,88
46VC	533.425	4.072.825	69,56
47VC	533.225	4.072.775	69,40
50VC	532.175	4.072.925	69,52
53VC	531.175	4.071.175	66,70
54VC	530.675	4.070.775	67,22
56VC	530.550	4.070.750	66,59
59VC	529.750	4.070.250	66,38
112VC	533.400	4.073.225	88,69
117VC	529.275	4.072.375	141,25
63FE	527.575	4.070.825	108,17
70FE	528.075	4.072.325	158,78
458BJ	506.650	4.067.875	70,44
485BJ	509.150	4.067.775	61,74
486BJ	508.525	4.068.225	98,49
506BJ	508.575	4.067.375	31,72

Metros testificados en cada campaña.

Sondeos	Nov 89	Abril 90	Oct 90	Abril 91	Nov 91	Abril 92
A3	101	8	8	9	8	
A4	114	113	112	112	113	112
A5	4.5		4	4.5	4	
A8	125	125	124	121	127	97
A9	306	236	305	189	238	222
A10	456	437	456	438	440	438
A11	304	304	302	302	309	304
B5	86	86	85	85		86
B9	52 - 176			51 - 172		50 - 169
B10	155	154	148	149		142
M	45.5		45	44	45	43
N	51.5			49	51	50
6RM						17*
224RM	110	110	104	110	103	100
240RM	12.5	16		12	11.5	13
244RM				87	83	89
252RM						30
253RM	85		85	87	87	84
14VC		105	104	103	105	105
37VC				18.5	23	21
41VC		127	93	121	44	42
42VC		44	42	42.5	42	41
46VC			74			
47VC	25.5	26	26	25.5	24	24.5
50VC	26	27	26	27.5	25.5	26
53VC	36	38	37	38	38	38
54VC				38	39	39
56VC	37.5	18	39	40	39	39
59VC	18	19	18	19	20	20
112VC		19	18	19	20	18.5
117VC			213	198		206
63FE	7	6				
70FE			58			
458BJ		56	31	31		
485BJ		320	321	321		322
486BJ		93	92	89.5		78
506BJ				199		202

Tramos testificados inicio/fin.

SONDEOS	Nov. 89 nº 1	Abril 90 nº 2	Oct. 90 nº 3	Abril 91 nº 4	Nov. 91 nº 5	Abril 92 nº 6
A3	15	108	108	107	106.5	
	116	116	116	116	114.5	
A4	4	5	6	5	4	6
	118	118	118	117	117	118
A5	14.5		15	13	14.5	
	19		19	17.5	18.5	
A8	120	120	121	123	118	148
	245	245	245	244	245	245
A9	66	136	67	135	134	148
	372	372	372	324	372	370
A10	52	70	52	72	68	70
	508	507	508	510	508	508
A11	72	72	74	74	71	72
	376	376	376	376	380	376
B5	28	28	29	28		28
	114	114	114	113		114
B9	220-436			219-435		220-436
	272-612			270-607		270-605
B10	83	82	84	91		90
	238	236	232	240		232
M	20.5		21	21	20	21
	66		66	65	65	64
N	46.5			43	43	43
	98			92	93	93
6RM						121.5
						138.5
224RM	52		58	51	52	52
	162	162	162	161	155	152
240RM	104.5	104		105	104.5	104
	117	120		117	116	117
244RM				49	49	49
				136	132	138
252RM						153
						183
253RM	152		152	151	150	150
	237		237	238	237	234
14VC		94	95	95	95	94
		199	199	198	200	199

(Continuación)

SONDEOS	Nov. 89 nº 1	Abrial 90 nº 2	Oct. 90 nº 3	Abrial 91 nº 4	Nov. 91 nº 5	Abrial 92 nº 6
37VC				75.5	75	75
				94	98	96
41VC		73	93	76	74	74
		200	196	197	118	116
42VC		74	75	74.5	74	74
		118	117	117	116	115
46VC			73			
			147			
47VC	72.5	72	72	72.5	73	72.5
	98	98	98	98	97	97
50VC	72	71	72	72.5	70.5	70
	98	98	98	100	96	96
53VC	69	68	68	68	66	66
	105	106	105	106	104	104
54VC				67	67	67
				105	106	106
56VC	68.5	68	67	65	65	65
	106	86	106	105	104	104
59VC	67	67	66	65	63	63
	85	86	84	84	83	83
112VC		90	91	91	91	91
		109	109	110	111	109.5
117VC			143	157		150
			356	355		356
63FE	109	108				
	116	114				
70FE			177			
			235			
458BJ		71	72	71		
		107	103	102		
485BJ		72	70	77		69
		392	391	398		391
486BJ		103	104	106.5		118
		196	196	196		196
506BJ				34		34
				233		236

La ejecución de los trabajos fue siempre llevada a cabo por la Compañía General de Sondeos, empleándose un equipo de la marca Century: el Compu-Log I en las campañas 1, 2, 3; y el Compu-Log III en las campañas 4, 5, 6.

La sonda utilizada ha sido la misma con ambos equipos, la 9040B número de serie 260, que registra simultáneamente los siguientes parámetros: gamma natural, potencial espontaneo, resistividad normal 16" y 64", resistividad lateral, tiempo de registro, tensión de cable, gradiente de temperatura, temperatura y resistividad del fluido, siendo los dos últimos los utilizados en este trabajo por ser los necesarios para su objetivo y por tratarse de pozos entubados de gran diámetro, lo que no permite la utilización de los demás registros eléctricos. El registro de gamma natural tambien se ha utilizado en la campaña 6.

Con ambos equipos, las medidas de los sensores son digitalizadas en tiempo real, resultando un valor cada 0.2 m aproximadamente, y archivadas en ficheros que contienen todos los parámetros que mide la sonda. A estos ficheros los denominamos "ficheros de campo", obteniéndose también simultáneamente un registro analógico sobre papel, donde se han seleccionado solamente los parámetros temperatura y resistividad del fluido (ocasionalmente también el gradiente de temperatura).

En los informes anteriormente presentados para cada campaña, se presentan:

Campaña 1: copias de los registros de campo de temperatura, incremento de temperatura y resistividad, sobre los que se ha añadido manualmente los valores de resistividad real a 25°C.

Campaña 2: copias de los registros de campo, de temperatura, incremento de temperatura y resistividad, sobre los que se ha añadido

manualmente los valores de resistividad a 25°C, y resistividad real a 25°C.

Campaña 3: copias de los registros de campo, de temperatura, incremento de temperatura y resistividad; registros obtenidos en ploter por ACL, tras la digitalización de los originales de temperatura, resistividad, y los calculados de resistividad a 25°C, concentración salina y resistividad real a 25°C.

Campaña 4 : registros obtenidos en ploter por ACL, directamente de los ficheros digitales registrados de temperatura y resistividad, junto con los calculados de resistividad a 25°C, concentración salina y resistividad real a 25°C.

Campaña 5 : no existe informe final, habiéndose recibido los registros originales de campo.

Campaña 6 : no existe informe final , aunque se han recibido un ejemplar de los registros obtenidos en impresora (formato A4) por ACL, directamente de los ficheros digitales registrados de temperatura y resistividad, junto con los calculados de resistividad a 25°C, concentración salina y resistividad real a 25°C. También se incluyen los registros de gamma natural.

De todas las campañas se han recibido los ficheros digitales, en código ascii, con los valores registrados y calculados.

Los ficheros del aparato Compu-Log I no son utilizables fuera del propio aparato registrador, y su conversión a formatos compatibles con el sistema operativo DOS no ha sido, hasta el momento, posible de llevar a cabo. Por esta razón, para realizar todo el proceso de datos necesario en estos trabajos, se ha procedido a digitalizar en mesa de digitalización los registros obtenidos en soporte de papel de las campañas 1, 2 y 3.

Los ficheros del aparato Compu-Log III, son utilizables en DOS a través del programa PCL (incluido en el aparato registrador) o bien en el programa ACL (de uso en ordenadores PC) donde también se pueden convertir a formato ascii.

3. PROCESO DE DATOS.

El objetivo de estas testificaciones, es obtener información sobre la variación de salinidad del agua de los pozos en donde se han hecho los registros, tanto en función de la profundidad, como en función del tiempo entre campañas, para lo que todos los resultados deben resultar comparables.

La variación de la resistividad de un fluido, refleja la variación en su contenido en sales disueltas y/o de su temperatura. Para conseguir una comparación entre mediciones, todas ellas han de ser reducidas a la misma temperatura. Por otra parte, a fin de eliminar diferencias relativas debidas al uso de unos instrumentos específicos y con el fin de hacer más transparentes al usuario los datos tomados en ohmio metro, es preferible convertir las medidas de la resistividad a unidades de concentración salina, en gramos/litro, preferentemente en valores absolutos. Para ello los pasos a dar son los siguientes:

1/ homogeneizar las resistividades a una sola temperatura. Se ha elegido el valor de 25º C como temperatura de homogeneización.

2/ convertir los valores de resistividad en valores de concentraciones de iones disueltos. Se ha elegido como patrón las resistividades a 25ºC de soluciones equivalentes de ClNa, en gramos de soluto por litro de disolvente.

Las leyes de variación de la resistividad de una disolución, no se expresan mediante ecuaciones matemáticas, por lo que deben emplearse métodos empíricos para su determinación. Los resultados de mediciones en laboratorio se representan en forma de gráficos o mediante tablas para algunos valores concretos, en los que para una resistividad (o conductividad) y temperatura determinadas, puede leerse la concentración equivalente. Sin embargo, en proyectos como

éste, en el que se están manejando más de 150.000 datos puntuales, es necesario para hacer esta conversión resistividad-concentración, acudir a expresiones matemáticas, obtenidas por ajuste numérico a los datos experimentales.

3.1 HOMOGENEIZACION DE RESISTIVIDADES A 25 °C.

El gráfico 1 reproduce la variación de la resistividad de soluciones de ClNa en ppm a 24° C (75° F) con la temperatura. Una aproximación a estas leyes de variación puede hacerse mediante la ecuación:

$$R_t = \frac{R_x}{\frac{T_x + 21.5}{T_t + 21.5}}$$

donde conociendo Rx a la temperatura Tx, puede calcularse Rt a la temperatura Tt.

La coincidencia entre los valores obtenidos por esta ecuación y los del ábaco, depende de la concentración y sobre todo del rango de temperatura (diferencia entre Tx y Tt).

Por ejemplo, en el rango de los 10 a los 25° C, se han obtenido los siguientes valores:

concentración	R10	R25	R25(c)	e	e(*)
0.8.....	9.....	6.4.....	6.1.....	0.3	
1.4.....	5.2....	3.75....	3.52.....	0.23---	0.1
2.....	3.7....	2.65....	2.5.....	0.15---	0.1
3.....	2.5....	1.8.....	1.69.....	0.11	
4.....	1.91...	1.4.....	1.29.....	0.11	
5.....	1.56...	1.1.....	1.06.....	0.04---	0.00
8.....	1.....	0.72....	0.68.....	0.04	
10.....	0.8....	0.58....	0.54.....	0.04---	0.01
14.....	0.59...	0.42....	0.40.....	0.02	
20.....	0.43...	0.31....	0.29.....	0.02---	0.01

donde las concentraciones se expresan en g/l y las resistividades

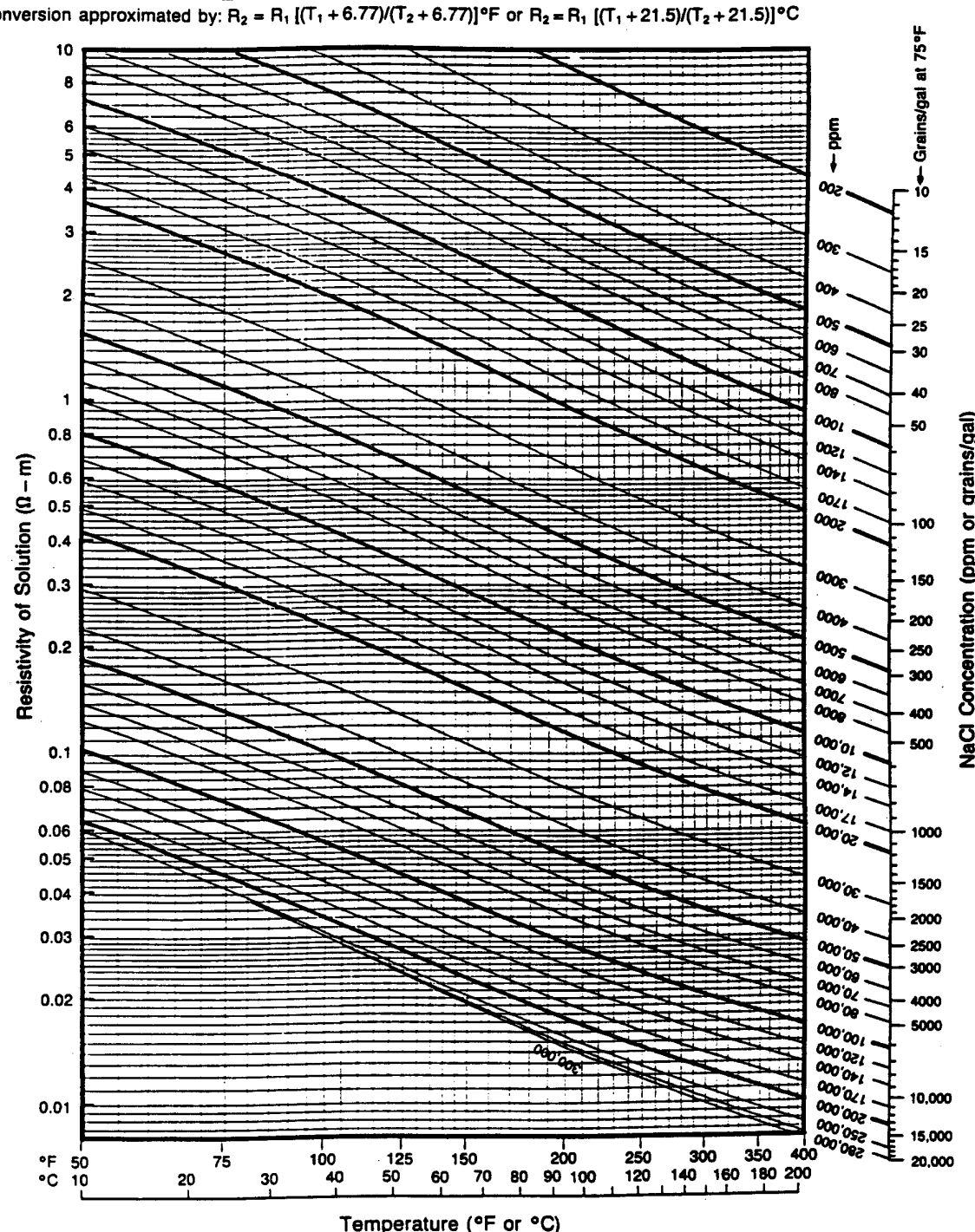


Gráfico 1 Resistividad de soluciones de ClNa
(según LOG INTERPRETATION CHARTS de Schlumberger)

y errores en ohm m. Las columnas R10 y R25 son los valores leídos en el gráfico; la columna R25(c) son los valores calculados con la ecuación, partiendo de R10; la columna e es el error o diferencias entre R25 y R5(c). Además se ha indicado para algunas concentraciones, el error (columna e*) al pasar de 18 a 25°C.

El error cometido por el empleo de la ecuación, es por tanto mayor, cuanto menor es la concentración salina, y aumenta con el incremento de temperatura; para los rangos de temperatura existentes en los pozos de este Proyecto, el error puede considerarse siempre inferior a 0.1 ohm m.

Partiendo pues de los valores registrados de resistividad y temperatura, puede obtenerse la resistividad a 25°C para cada profundidad de registro, mediante la mencionada ecuación.

En las campañas 1 y 2 estos cálculos se hicieron inicialmente de forma manual, tomando solamente algunos puntos de los registros. En la campaña 3, una vez digitalizados los registros a partir de los analógicos, se utilizó el programa ACL para efectuar esta homogenización en todos los puntos registrados. En las campañas 4, 5 y 6 se utilizó el programa ACL partiendo de los registros digitales de campo.

Para este Informe, se han vuelto a digitalizar los registros de resistividad y temperatura de las campañas 1, 2 y 3, eliminando los errores de digitalización anteriormente observados, y se ha procedido al nuevo cálculo de las resistividades a 25°C mediante el programa ACL, con la ecuación anteriormente indicada. Para las campañas 4, 5 y 6 se han conservado los valores calculados inicialmente en sus respectivas campañas, ya que no estaban sometidos a los errores de la digitalización manual.

3.2 CONVERSION DE RESISTIVIDADES EN CONCENTRACIONES DE ClNa.

3.2.1 VALORES TEORICOS

La resistividad del agua depende, para cada tipo de ión disuelto, de su concentración y temperatura (fig. 19 del gráfico 2).

A temperatura constante, la resistividad del agua depende de las concentraciones de los iones disueltos (ClNa, NH₄, Mg, Ca, CO₃, K, SO₄, HCO₃, I, OH, Br, NO₃, etc), como se aprecia en la fig. 20 del gráfico 2.

Se puede referir la concentración total de sólidos a concentración equivalente de ClNa, para lo que existen en la literatura métodos como el de Schlumberger, reproducido en el gráfico 3.

La mejor manera de determinar cual es la resistividad de una solución de ClNa es medirla en laboratorio con la instrumentación adecuada (medidores de conductividad o de resistividad). El gráfico 1, la fig. 19 y la tabla 10 del gráfico 2, reproducen las curvas de variación de la resistividad con la concentración de ClNa para varias temperaturas, obtenidas en diversas determinaciones en laboratorio.

Una aproximación a estos valores de resistividad, que denominaremos "teóricos", puede obtenerse por cálculo, tomando valores puntuales de los gráficos experimentales y ajustando a ellos una función analítica. En este Proyecto se han empleado para hacer esta operación los valores dados por el gráfico 4, de Schlumberger, que son aceptados como standard en este tipo de trabajos, y es la forma normal de proceder. Una alternativa, válida exclusivamente para una zona de trabajo, sería la construcción de tablas de valores de resistividad-concentración medidos en muestras de agua tomadas de los mismos acuíferos en estudio.

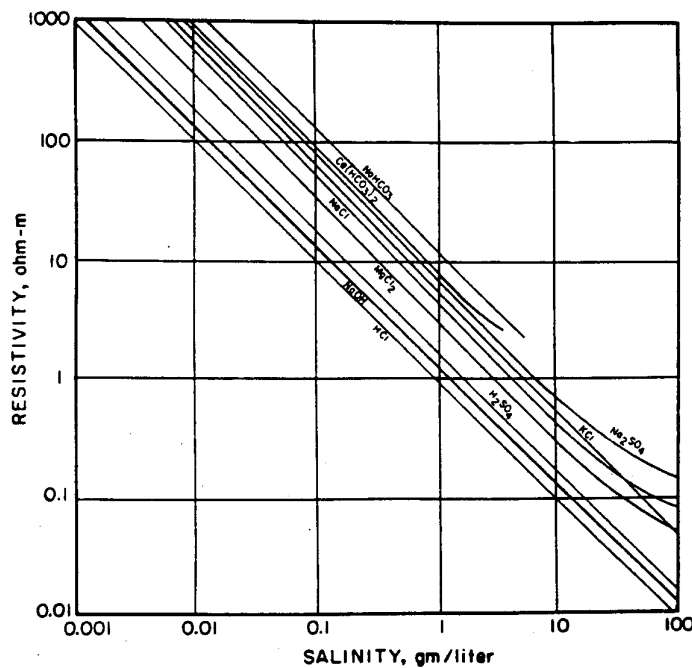


FIGURE 20. Relationship between resistivity and concentration for various salt solutions at a temperature of 18°C.

Table 10
RESISTIVITY IN OHM-METERS OF SODIUM CHLORIDE ELECTROLYTES

Temperature (°C)	NaCl (g/l)					
	58.45	29.23	5.845	2.933	0.5845	0.2923
0	0.211	0.386	1.73	3.36	15.82	31.2
2	0.200	0.368	1.65	3.19	15.1	29.6
4	0.190	0.352	1.57	3.02	14.3	28.1
6	0.182	0.336	1.49	2.86	13.7	26.7
8	0.174	0.320	1.42	2.73	12.9	25.0
10	0.165	0.304	1.35	2.57	12.3	23.9
12	0.157	0.288	1.28	2.43	11.7	22.6
14	0.149	0.274	1.21	2.31	11.1	21.4
16	0.142	0.260	1.15	2.19	10.5	20.3
18	0.135	0.248	1.09	2.09	9.8	19.3
20	0.129	0.238	1.04	2.00	9.5	18.4
22	0.123	0.228	1.00	1.92	9.0	17.6
24	0.117	0.219	0.96	1.84	8.6	16.8
26		0.210	0.93	6	8.2	16.2
28		0.200	0.87	18	7.9	15.6
30		0.191	0.84	1.61	7.5	14.9
32		0.183	0.80	1.55	7.2	14.3
34		0.176	0.77	1.49	6.9	13.7

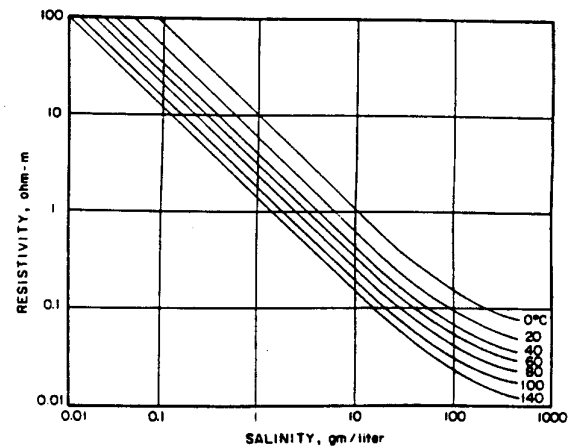


FIGURE 19. Resistivity of solutions of sodium chloride as a function of concentration and temperature.

Gráfico 2 Resistividad-concentración-temperatura.
(según HANDBOOK OF PHYSICAL PROPERTIES OF ROCKS.CRC press.)

Actual resistivity measurements are always to be preferred, but, if necessary, the resistivity of a water sample can be estimated from its chemical analysis. An equivalent NaCl concentration determined by use of the chart below is entered into Gen-9 to estimate the resistivity of the sample.

The chart is entered in abscissa with the total solids concentration of the sample in ppm (mg/kg) to find weighting multipliers for the various ions present. The concentration of each ion is multiplied by its weighting multiplier and the products for all ions are summed to get equivalent NaCl concentration. Concentrations are expressed in ppm or mg/kg, both by weight. These units are numerically equal.

EXAMPLE

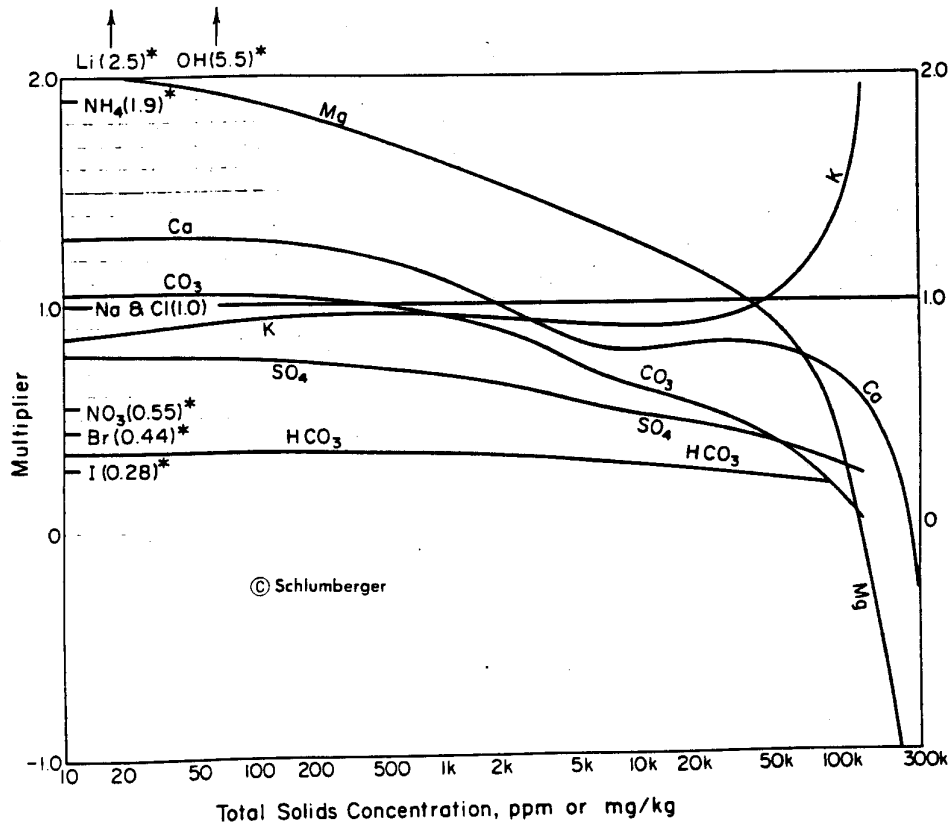
A formation-water-sample analysis shows 460 ppm Ca, 1400 ppm SO₄, and 19,000 ppm Na plus Cl.

$$\text{Total solids concentration is } 460 + 1400 + 19,000 = 20,860 \text{ ppm.}$$

Entering the chart below with this total solids concentration, we find 0.81 as the Ca multiplier and 0.45 as the SO₄ multiplier. Multiplying the concentrations by the corresponding multipliers, the equivalent NaCl concentration is found as approximately:

$$460 \times 0.81 + 1400 \times 0.45 + 19,000 \times 1 \approx 20,000 \text{ ppm.}$$

Entering the NaCl Resistivity-Salinity nomograph (Gen-9) with 20,000 ppm and 75°F (24°C), the resistivity is found to be 0.3 at 75°F.



*Multipliers which do not vary appreciably for low concentrations (less than about 10,000 ppm) are shown at the left margin of the chart.

Gráfico 3 Concentraciones equivalentes de ClNa
(según LOG INTERPRETATION CHARTS de Schlumberger)

Schlumberger

RESISTIVITY NOMOGRAPH FOR NaCl SOLUTIONS

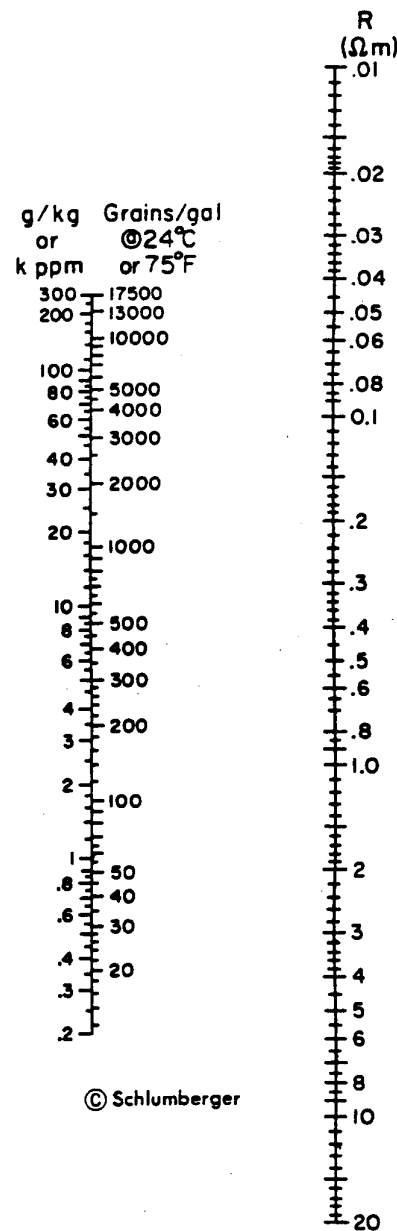
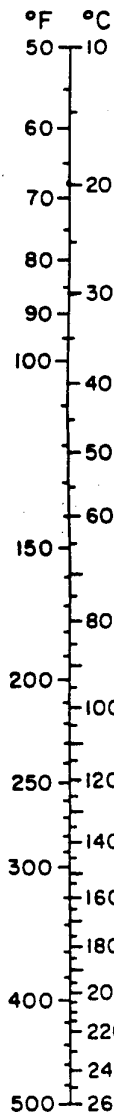


Gráfico 4 Resistividad de soluciones de ClNa
(según LOG INTERPRETATION CHARTS de Schlumberger)

Los resultados del ajuste numérico a las medidas experimentales, dependen del número de puntos tomados, de sus valores extremos y de la apreciación gráfica. Así, en diversas observaciones sobre el gráfico 4, se han tomado las siguientes series :

Tabla A

RESISTIVIDADES A 25°C SEGUN EL Gráfico 4

g/l	ohm m (1)	ohm m(2)	ohm m(3)	ohm m(4)
0.5	10	10	10	
0.7	7.2	7.2	7.2	7.2
0.8	6.4			
1	5.2	5	5	5.2
1.2	4.4			
1.4	3.75	3.65	3.65	3.75
2	2.75	2.6	2.6	2.75
2.5	2.2			
3	1.8	1.8	1.8	1.8
4	1.41			
5	1.2	1.1	1.1	1.2
7	0.8			
8	0.72	0.70	0.7	0.72
10	0.57	0.56	0.56	0.56
12	0.48			
14	0.42	0.41	0.41	0.42
15	0.38			
17	0.34			
20	0.3	0.3	0.3	0.3
30	0.21	0.21	0.21	0.21
50	0.13	0.16	0.13	

Ajustando una función de la forma $R=a C^b$

(dando al símbolo \wedge el significado de "elevado a" o potenciación)

donde R es la resistividad y C la concentración.

Los parámetros a y b dependen de la serie numérica ajustada:

	(1)	(2)	(3)	(4)
a	5.194367	4.991864	5.054801	5.196165
b	-0.950858	-0.924542	-0.943051	-0.948947

Nótese que se producen diferencias con tan sólo modificar la resistividad para 50 ohm m en 0.03 (serie 3 respecto de 2). La serie (1) es quizá la más completa, y está representada en el Gráfico 5; sin embargo, desde el comienzo de estas campañas de testificación se adoptaron los valores la columna 2, representados en el Gráfico 6. En cualquier caso, se aprecia que los puntos mas desviados de la función ajustada, son los de la porción central de la curva (concentraciones de 3 a 10 g/l), ajustándose mejor los puntos próximos a las asíntotas.

Evidentemente, los resultados numéricos no son exactamente los mismos con unos parámetros que con otros. Se trata de una aproximación, en la que resulta quizá más importante mantener un criterio, para que los valores sean comparables, que defender su estricto rigor matemático, que no es además compatible con el fenómeno físico que se está estudiando.

En efecto, puede comprobarse fácilmente que los valores obtenidos con los ábacos de Shlumberger no son totalmente coincidentes con los dados por otros autores. Por ejemplo, en la tabla 10 del gráfico 2, para 20°C, con 2.933 g/l se da una resistividad de 2 ohm m, mientras que los ábacos dan 2.2 ohm m; para 29.23 g/l, la tabla da 0.238, y los ábacos 0.25 ohm m, etc.

En cualquier caso, se pone de manifiesto que para concentraciones inferiores a unos 3 g/l, una ligera variación se traduce en un gran cambio en la resistividad, mientras que para concentraciones supe-

Grafico 5. VALORES TEORICOS (1)

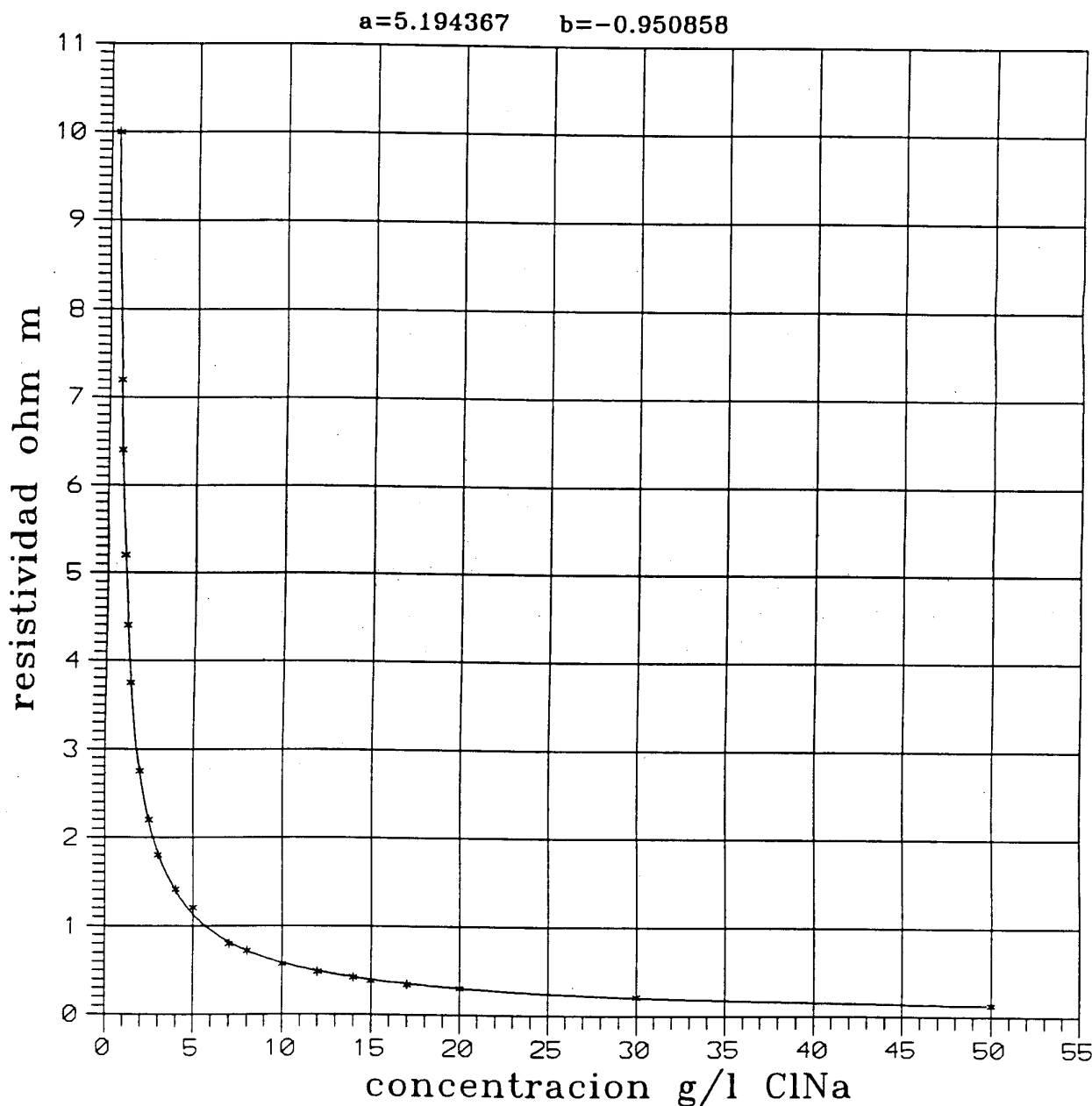
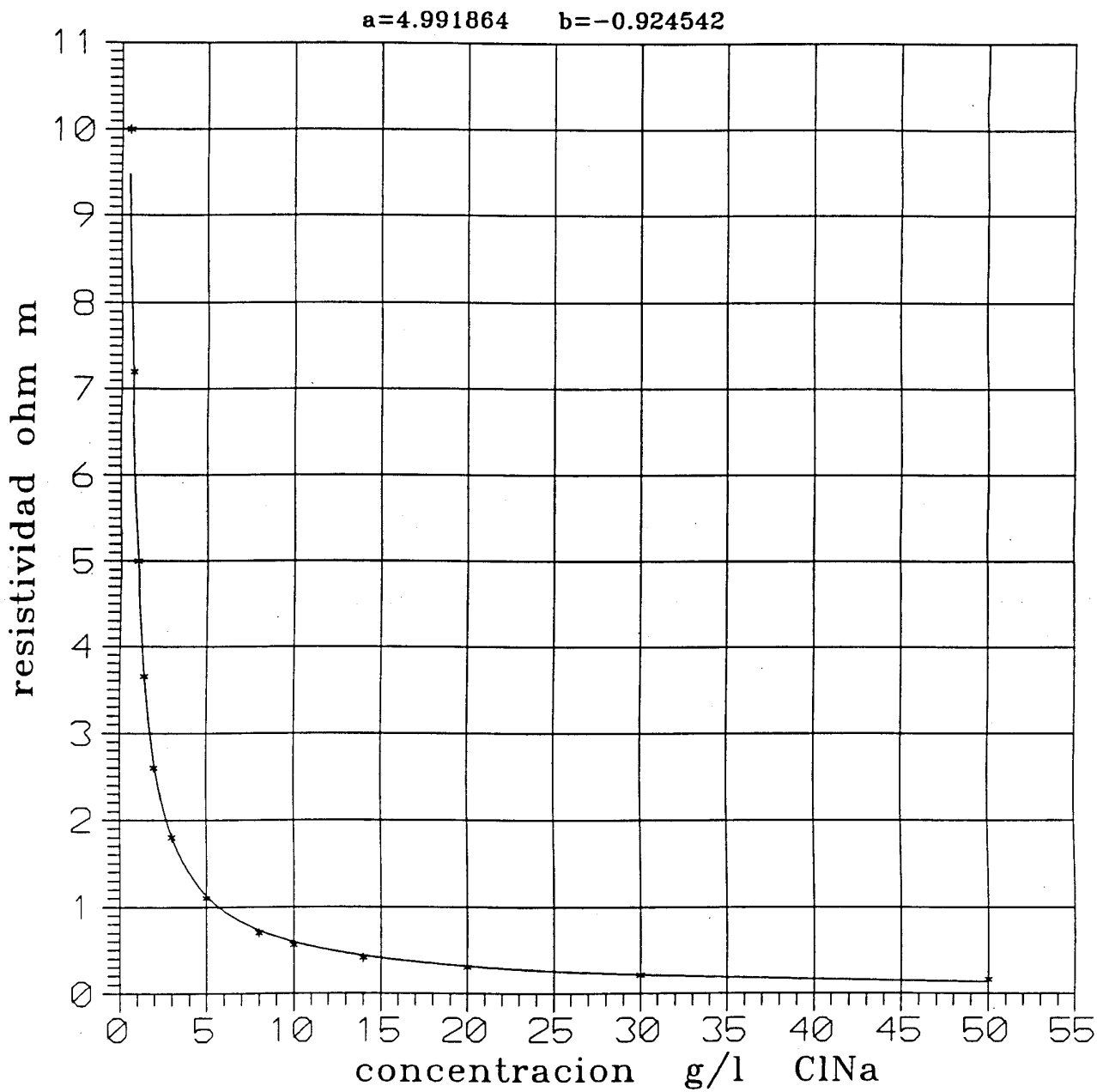


Grafico 6. VALORES TEORICOS (2)



riores a 10 g/l, las variaciones de resistividad con la concentración son pequeñas.

Para efectuar una comparación entre los resultados obtenidos con diferentes adopciones de valores teóricos, se han calculado los valores de concentración, a partir de las resistividades teóricas (r_t), con los coeficientes de ajuste de la serie (1) y la serie (2), mediante la expresión

$$C = (R/a)^{(1/b)}$$

teóricos		calculados				
(r_t)	ohm m	$g/l(t)$	$g/l(1)$	d_1	$g/l(2)$	d_2
7.2	0.7		0.71	0.01	0.67	0.03
2.75	2		1.95	0.05	1.90	0.1
0.72	8		7.99	0.01	8.12	0.12

De las diferencias (d_1) y (d_2), se puede deducir que mediante el empleo de estas funciones matemáticas, la determinación de la salinidad a partir de un valor medido de resistividad, puede llevar un error intrínseco o imprecisión del orden de 0.1 g/l, según los valores teóricos adoptados para el ajuste de la función.

La forma de estas curvas, supone además, que un error de medición de la resistividad, se traduce en un error en la estimación de la salinidad tanto mayor, cuanto mayor sea la concentración.

Así, para las resistividades afectadas de los errores estimados de 0.01 a 0.1 ohm m, debidos a la conversión a 25°C, se producirían los siguientes errores, al utilizar la función de ajuste con los coeficientes de la serie 2:

<u>ohm m</u>	<u>g/l(t)</u>	<u>g/l(c)</u>	<u>d</u>
7.1	0.68		
7.2....0.7	0.67	0.01 + 0.03= 0.04	
7.3	0.66		
2.65	1.98		
2.75....2	1.90	0.08 + 0.1= 0.18	
2.85	1.83		
0.71	8.23		
0.72....8	8.12	0.14 + 0.12= 0.26	
0.73	7.98		

La columna g/l(t) son los valores de concentración teóricos para la resistividad enfrentada; la columna (c) da los valores calculados para los margenes de error de la resistividad, y la columna (d) son las máximas desviaciones en g/l respecto del valor central, a las que se ha sumado las debidas a la propia imprecisión de la función ajustada, obtenidos de la tabla anterior.

Puede estimarse por tanto, que debido exclusivamente a consideraciones de orden teórico, a partir de unos 2 g/l, la concentración calculada a partir de la resistividad medida a una temperatura cualquiera, se acompaña de un error del orden de 0.2 g/l, y creciente con la concentración. Este error es independiente del que se produzca en la propia medición, y supone la máxima precisión que es posible alcanzar siguiendo este sistema de cálculo.

3.2.2 CALIBRACION DE LA SONDA 9040 DE CENTURY.

Los sensores de una sonda miden una magnitud física (p.e. diferencia de potencial entre electrodos), convirtiendo ésta medida, mediante la calibración interna de la sonda, en valores del parámetro medido (p.e. resistividad, temperatura, etc).

Para convertir las mediciones de resistividad efectuadas con la sonda, en concentraciones equivalentes de ClNa, podría utilizarse la curva teórica anteriormente descrita. Sin embargo, la instrumentación empleada puede dar medidas que presenten alguna desviación respecto de los valores teóricos, debido al diseño de sus circuitos. Por ello, es práctica común el calibrar las sondas, es decir, comprobar los valores de resistividad que se miden en concentraciones de ClNa conocidas. Estos valores deben ser estables con el tiempo, y no diferir sustancialmente de los teóricos.

La calibración sirve además como sistema de verificación del buen funcionamiento de la sonda, indicando su variación la existencia de alguno fallo del sistema de medición (suciedad de los electrodos de medida, desgaste, fallos electrónicos, etc). La calibración externa de la sonda puede pués tener por finalidad tanto la verificación de su calibración interna (es decir, comprobar que cuando se leen 20°C, en efecto hay esa temperatura en el sensor), como el relacionar el parámetro medido con otra propiedad física (p.e. la conversión de resistividad del fluido en concentración salina).

Sin embargo, por una parte siempre existe un error de precisión instrumental, y por otra, la misma forma de llevar a cabo la calibración no esta exenta de posibles errores accidentales, por lo que no siempre que se observen desviaciones en algunas lecturas, debe achacarse a un mal funcionamiento de la sonda. Cuando muchas lecturas presenten desviaciones respecto de calibraciones anteriores, es cuando debe intepretarse que la sonda precisa atención.

La sonda 9040 de Century empleada en estas testificaciones ha sido sometida sistemáticamente a calibraciones en cada campaña, así como a verificaciones previas a las lecturas en los sondeos.

Para ello se prepararon soluciones de ClNa de diferentes concentraciones, llenando con ellas el espacio interelectródico de la sonda, previamente sellado con cinta adhesiva para evitar la fuga del líquido. La lectura de resistividad se hizo con el aparato testificador, mientras que la temperatura de la solución se tomó con un termómetro de precisión, introducido en la solución dentro del receptáculo, al mismo tiempo que se media la resistividad, calculándose posteriormente los valores de resistividad a 25°C.

El cuadro siguiente recoge los valores obtenidos para las diferentes soluciones patrón, en las diferentes campañas:

Tabla B

CALIBRACION DE LA SONDA CENTURY 9040

ClNa g/l	resistividad ohm m a 25°C									
	1 no89	2 ab90	3 oc90	4 ab91	4b ab91	5 no91	6 ab92	6b ab92	m	d
0.5			19.25	16.93	17.48	21.46	17.65	17.75	18.42	3.04
0.625	16.83									
0.8			12.58	12.08	12.01	12.18	12.63	12.62	12.35	0.34
1		10.2	10.06	10.05	10.04	10.39	9.57	9.56	9.98	0.41
1.25	9.42		8.08	8.10	8.09	8.46	8.02	8.05	8.13	0.32
1.5							7.23			
2.5	5.00			4.37	4.37	4.03	4.57	4.49	4.37	0.34
3		4	3.88	3.69	3.69	3.82	4.09	4.13	3.90	0.21
4		2.95	3	2.88	2.90	2.76	3.12	3.12	2.96	0.20
5	2.77	2.45	2.47	2.36	2.37	2.37	2.3	2.30	2.37	0.10
7		1.87	1.88	1.80	1.81	1.75	2.25	2.23	1.82	0.07
8			1.7	1.65		1.71	2.05	2.06	1.68	0.03
10	1.53	1.4	1.41	1.40	1.40	1.44	1.44	1.42	1.41	0.03
11				1.29	1.29	1.33	1.49	1.50	1.30	0.03
12		1.2	1.23		1.23	1.13	1.23	1.24	1.22	0.02
15	1.05	1.03	1.03	1.04		0.98	1.00	1.01	1.02	0.02
17	0.98	0.96	0.93	0.94		0.96	0.97	0.97	0.96	0.02
20			0.85	0.85	0.86	0.86	0.95	0.95	0.85	0.01
30						0.74	0.96	0.95	0.74	

Eliminando las medidas claramente discrepantes, posiblemente debidas a concentraciones ligeramente diferentes de las soluciones pa-

trón o a errores de lectura, ya que sólo afectan a algunas concentraciones y calibraciones, se han obtenido las medias aritméticas (\bar{m}) y la desviación máxima (d), que alcanza los valores:

- igual o inferiores a 0.03 ohm m, para mas de 8 g/l.
- entre 0.1 y 0.2 ohm m, para el rango 8-3 g/l.
- igual o superior a 0.3 ohm m, para 3-0.5 g/l.
- de hasta 3 ohm m, para menos de 0.5 g/l.

Para concentraciones inferiores a 1 g/l, cabe, en efecto, esperar fuertes oscilaciones de resistividad debidas a pequeñas variaciones de concentración.

De este resultado puede interpretarse que el funcionamiento de la sonda ha sido aceptablemente estable a lo largo del tiempo.

Las desviaciones sobre la media, también se pueden tomar como una medida del error conjunto debido al metrológico de la sonda, la exactitud en las concentraciones y el cambio de temperatura; para cada medición de resistividad, se obtendría por tanto una estimación de salinidad afectada por la desviación introducida por este error, que para concentraciones de 0.5, 2, 5 y 10 g/l, y resistividades calculadas con los coeficientes de la serie 2 ($a = 4.991$ $b = -0.924$), serían los recogidos en la siguiente tabla:

<u>(t)g/l</u>	<u>(rt)ohm m</u>	<u>(c)g/l</u>	<u>(e)g/l</u>	<u>(m)ohm m</u>
	7	0.69		
0.5.....10			0.19.....18.42	
	13	0.35		
<hr/>				
	2.3	2.3		
2.....2.6			0.3	
	2.9	1.8		
<hr/>				
	0.9	6.4		
5.....1.1			0.7-1.4...2.37	
	1.3	4.3		
<hr/>				
	0.53	11.3		
10.....0.56			0.1-1.3...1.41	
	0.59	10.1		

donde se indica que, cuando se midan 10 ohm m (columna (rt)), correspondientes teóricamente a una concentración de 0.5 g/l (columna (t)), para la que puede darse un error metrológico de hasta 3 ohm m en la medición de la resistividad, el valor leido podría ser igualmente de 7 o de 13 ohm m (columna (rt)), por lo que las concentraciones calculadas podrían oscilar entre 0.69 y 0.35 g/l (columna (c)), dando desviaciones máximas respecto del valor teórico medio de 0.19 g/l (columna (e)).

Esto supone por tanto tener una desviación posible de 0.3 g/l para concentraciones inferiores a 2 g/l y una desviación de mas de 1.4 g/l para concentraciones superiores a 5 g/l, debida al error metrológico intrínseco de la sonda.

Llama la atención la diferencia entre los valores leídos por la sonda (columna (m)) y los teóricos (rt).

Ajustando una función del tipo

$$R = a C^b$$

a los valores promedios (m de la tabla B de calibraciones), se obtiene

$$a=9.68531 \quad b=-0.821204$$

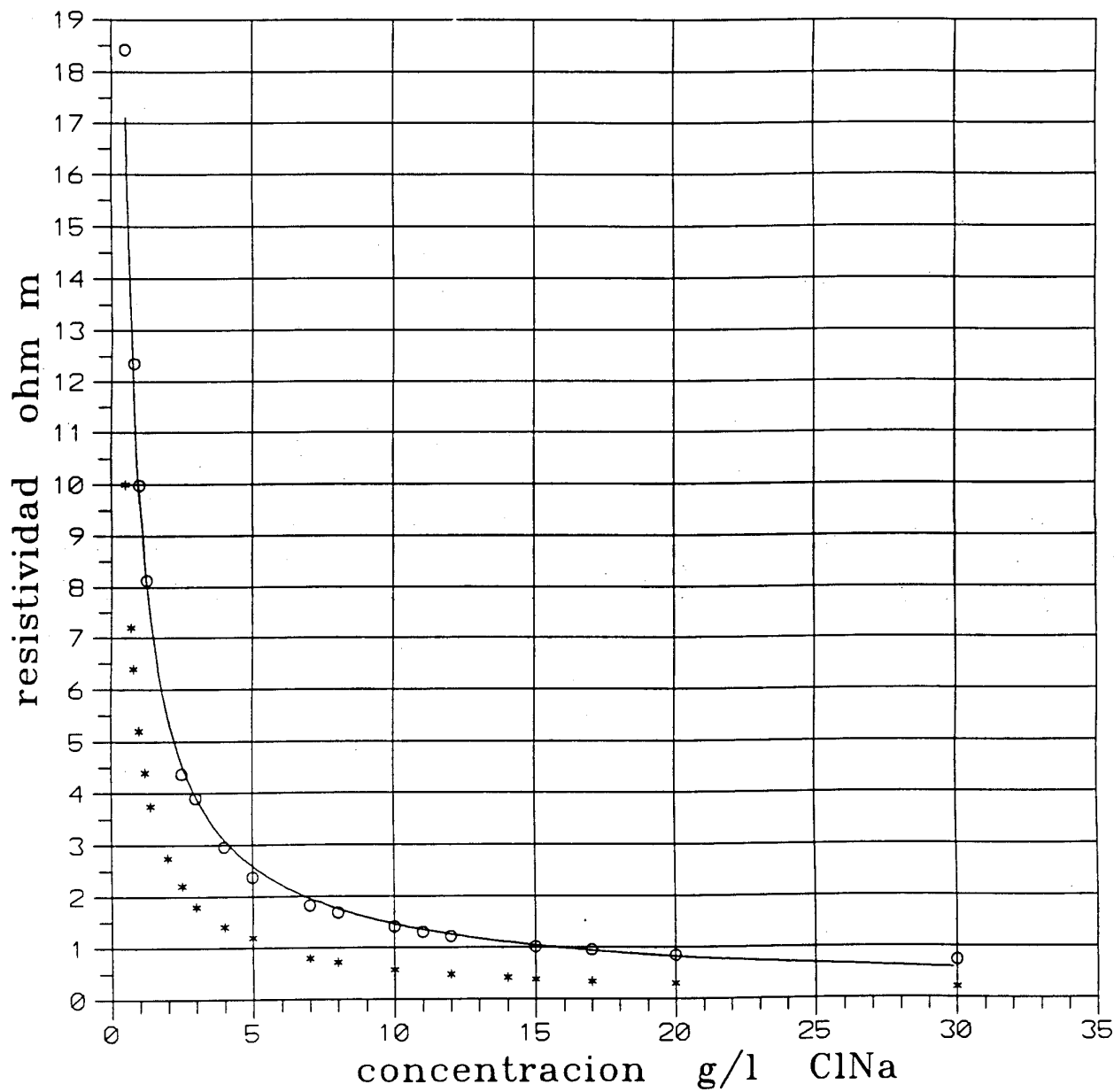
función representada en el gráfico 7, y que es muy diferente de los valores teóricos. Este comportamiento fue interpretado como una singularidad del sistema de medición de la sonda 9040.

En realidad, en cada campaña se ha ajustado una función a los valores de calibración obtenidos en ese momento :

<u>camp.</u>	<u>a</u>	<u>b</u>
3	10.5905	- 0.85
4	9.56	- 0.83
5	9.95	- 0.84
6	9.64	- 0.78

lo que quizá no siempre está justificado, y puede perturbar la comparación de los valores entre campañas, aunque las diferencias producidas por la variación de coeficientes no resulte en general muy superior a 0.1 g/l, según se ha comentado anteriormente para las mismas variaciones en las estimaciones de los valores teóricos.

Grafico 7. CALIBRACION SONDA 9040
 $a=9.68531$ $b=-0.821204$
* valores teoricos



3.3 CALCULOS REALIZADOS

El proceso de cálculo seguido por CGS en cada campaña, ha sido pues:

- * digitalización en mesa, a partir de los registros analógicos, de los valores de resistividad y temperatura, para las campañas 1, 2 y 3.
- * cálculo de la resistividad a 25°C, a partir de las resistividades y temperaturas en cada punto.
- * cálculo de la concentración equivalente de ClNa, a partir de la resistividad a 25° C y de la curva de calibración de la sonda en cada campaña.
- * partiendo de esta concentración, y mediante la curva teórica, se calcularon las llamadas resistividades reales.

El objeto de este cálculo fue presentar unos valores comparables de resistividades, de una campaña a otra. En las campañas 1 y 2, los cálculos se hicieron manualmente, sólo de la resistividad "real" y para algunos puntos de los registros, representando los valores calculados en el mismo documento que los registros de campo. En las campañas restantes, los cálculos se hicieron para todos los valores registrados, mediante el programa ACL.

4. PROBLEMAS ENCONTRADOS EN LOS VALORES PRESENTADOS POR CGS.

Durante la utilización de los datos presentados por CGS, como resultado de estas campañas de testificación, se han detectado varios errores, siendo los principales :

1/ errores en la digitalización de los datos de campo.

Estos errores se han debidos a la necesidad de desplazar el registro sobre la tableta de digitalización, produciéndose saltos en los empalmes de los sucesivos tramos digitalizados, si no se mantiene la alineación del papel y las referencias.

Se han subsanado mediante una nueva digitalización de todas las testificaciones de las campañas 1,2 y 3, así como otros registros posteriores que tambien se digitalizaron manualmente.

2/ errores en los cálculos.

Se han apreciado errores en los cálculos de conversión de resistividades en concentraciones salinas, y de estas en resistividades reales, debido a una confusión en el significado de la expresión "EXP" del sistema de programación del programa ACL. Unas veces se ha interpretado como función exponencial de base e ($a \text{ EXP}(b) = a e^b$) y otras veces como función de elevación a potencia ($a \text{ EXP}(b) = a^b$).

Las diferentes expresiones empleadas han sido:

campaña 3: $C=a/R25 \exp(1/b)$ para $C=(a/R25)^{(1/b)}$

$Rr=a/C \exp(b)$ para $Rr=a/(C^b)$

(b en valor absoluto)

campañas 4, 5 y 6:

$$C = \exp((\ln(R_{25}) - \ln(a))/b) \quad (b \text{ con signo -}) \text{ para}$$

$$C = e^{(\ln(R_{25}) - \ln(a))/b} \quad (b \text{ con signo -})$$

$$Rr = a/C \exp(b) \quad \text{para} \quad Rr = a/(C^b) \quad (b \text{ absoluto})$$

Este error afecta pues a todos los cálculos de concentraciones y resistividades reales de todas las campañas, por lo que obliga a su repetición, a partir de las resistividades a 25°C.

Para ello se ha empleado la ecuación:

$$C = \exp((\ln(R_{25}) - \ln(a))/b) \quad (b \text{ con signo -}) \text{ para}$$

$$C = e^{(\ln(R_{25}) - \ln(a))/b} \quad (b \text{ con signo -})$$

de obtención de concentraciones a partir de resistividades a 25°C, no procediendo con el sistema seguido en esta revisión al recálculo de las resistividades teóricas o reales, por emplearse como curva de conversión la de los valores teóricos. Las razones de esta solución de deben al siguiente error encontrado.

3/ errores en el sistema de calibracion de la sonda.

La curva de calibración de la sonda 9040, para convertir las resistividades en concentraciones, se ha podido comprobar que es errónea, no respondiendo al funcionamiento real de la sonda.

Por su especial importancia, esta anomalía se analiza en los siguientes apartados.

La corrección del error producido por esta falsa calibración, sólo puede realmente subsanarse aplicando la curva de calibración correcta de la sonda 9040, aceptando que su comportamiento no ha sido alterado en estos años. Puesto que hasta el momento ni CGS ni Century han dado explicación al fallo en el sistema de calibración se-

guido, ni han proporcionado un sistema alternativo, se ha adoptado una solución parcial y temporal, ya que por los otros errores detectados era de todas formas necesaria la repetición de los cálculos.

4.1 SONDA DE CONDUCTIVIDAD.

En esta zona de trabajo, se viene utilizando sistemáticamente, sobre todo en los períodos entre campañas, otra sonda que mide la conductividad, ya reducida a 25°C, de forma discontinua, es decir, en puntos discretos de un sondeo.

Para la calibración de esta sonda se han utilizado las mismas soluciones patrón de ClNa que para la sonda 9040, siendo los resultados para las realizadas en abril y noviembre de 1991 los del siguiente cuadro:

Tabla C
CALIBRACIONES DE LA SONDA DE CONDUCTIVIDAD

ClNa		valores a 25°C										
(C1)	(R1)	(C2)	(R2)	(C3)	(R3)	Cm	Rm	dr	Ct	Rt	er	
g/l	ab91	ab91		no91								
0.5	1138	8.78		892	11.21	1015	9.85	1.36	1000	10	0.15	
0.8	1778	5.62		1690	5.92	1734	5.77	0.15	1563	6.4	0.63	
1	2240	4.46	2070	4.83	1990	5.02	2100	4.76	0.3	1923	5.2	0.43
1.25	2780	3.59		2500	4.00	2780	3.79	0.2				
2.5	5210	1.92		4990	2.00	5100	1.96	0.04	4545	2.2	0.24	
3	6140	1.63	5640	1.77	6060	1.65	5946	1.68	0.1	5555	1.8	0.12
3.3	6820	1.46			1.46	6820	1.46					
4	8000	1.25		7900	1.26	7950	1.25	0.05	7092	1.41	0.16	
5	9960	1.00	8970	1.11	9690	1.03	9540	1.04	0.04	8333	1.2	0.16
7	13080	0.76		13050	0.76	13065	0.76	0.00	12500	0.8	0.04	
8	14790	0.67		14560	0.68	14675	0.68	0.00	13888	0.72	0.04	
10	17850	0.56	16180	0.61	17920	0.56	17317	0.57	0.04	17544	0.57	0.00
11	19700	0.51		19610	0.51	19655	0.51	0.00				
12	20900	0.48		21100	0.47	21000	0.47	0.00	20833	0.48	0.01	
15	25600	0.39		25800	0.39	25700	0.39	0.00	26316	0.38	0.01	
17	29100	0.34		29100	0.34	29100	0.34	0.00	29412	0.34	0.00	
20	33330	0.30	28900	0.35	33500	0.29	33415	0.31	0.04	33333	0.30	0.01
30			48700	0.20	48700	0.20	48700	0.20	0.00	47619	0.21	0.01

las columnas (Ci) son conductividades en microSiemens/cm.

las columnas (Ri) son resistividades en ohm m (inverso de Cx10000).

Grafico 8. CONDUCTIVIDAD-RESISTIVIDAD

$$R_m = aC_m \quad a = 10398.7 \quad b = -1.004$$

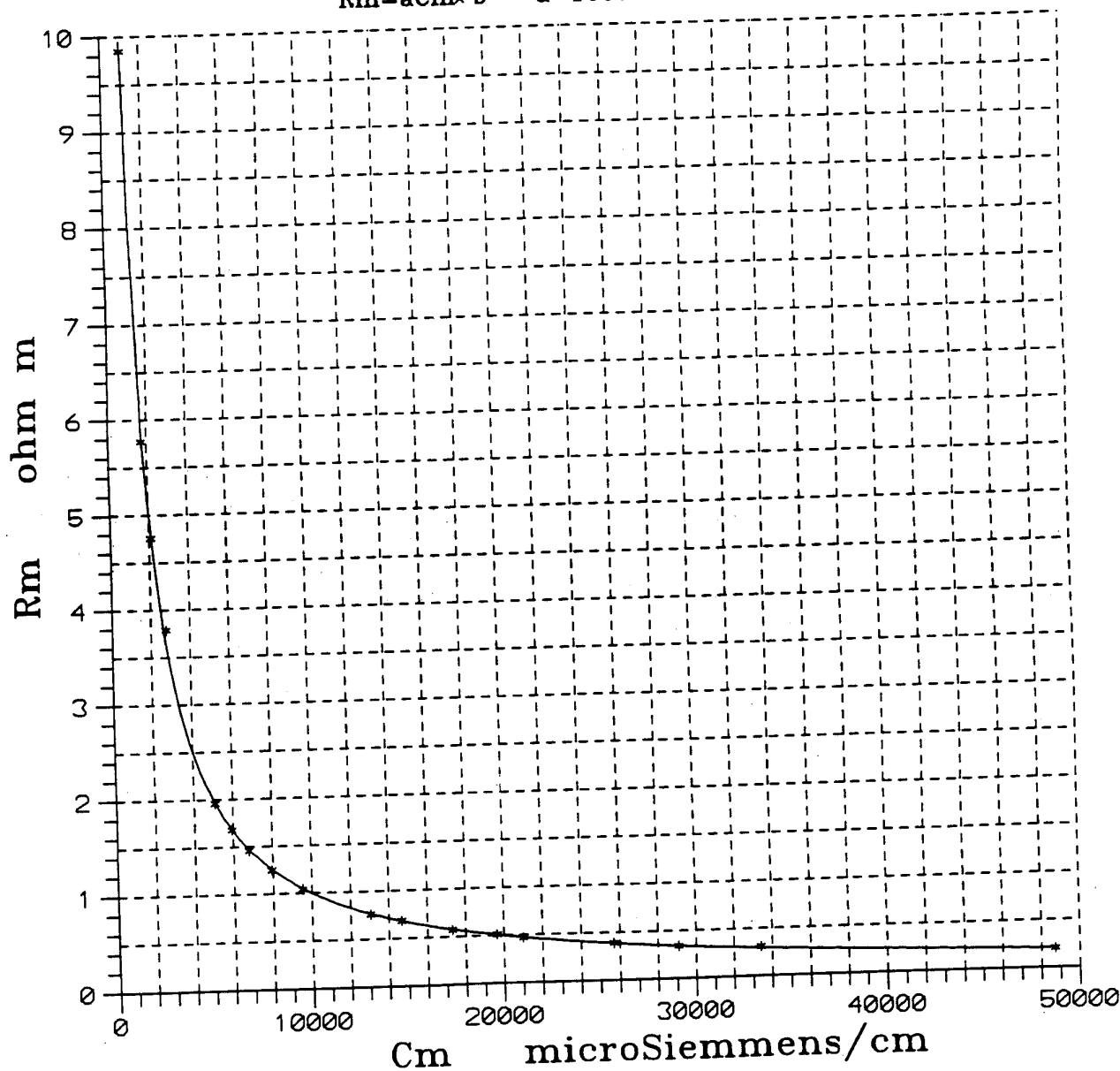
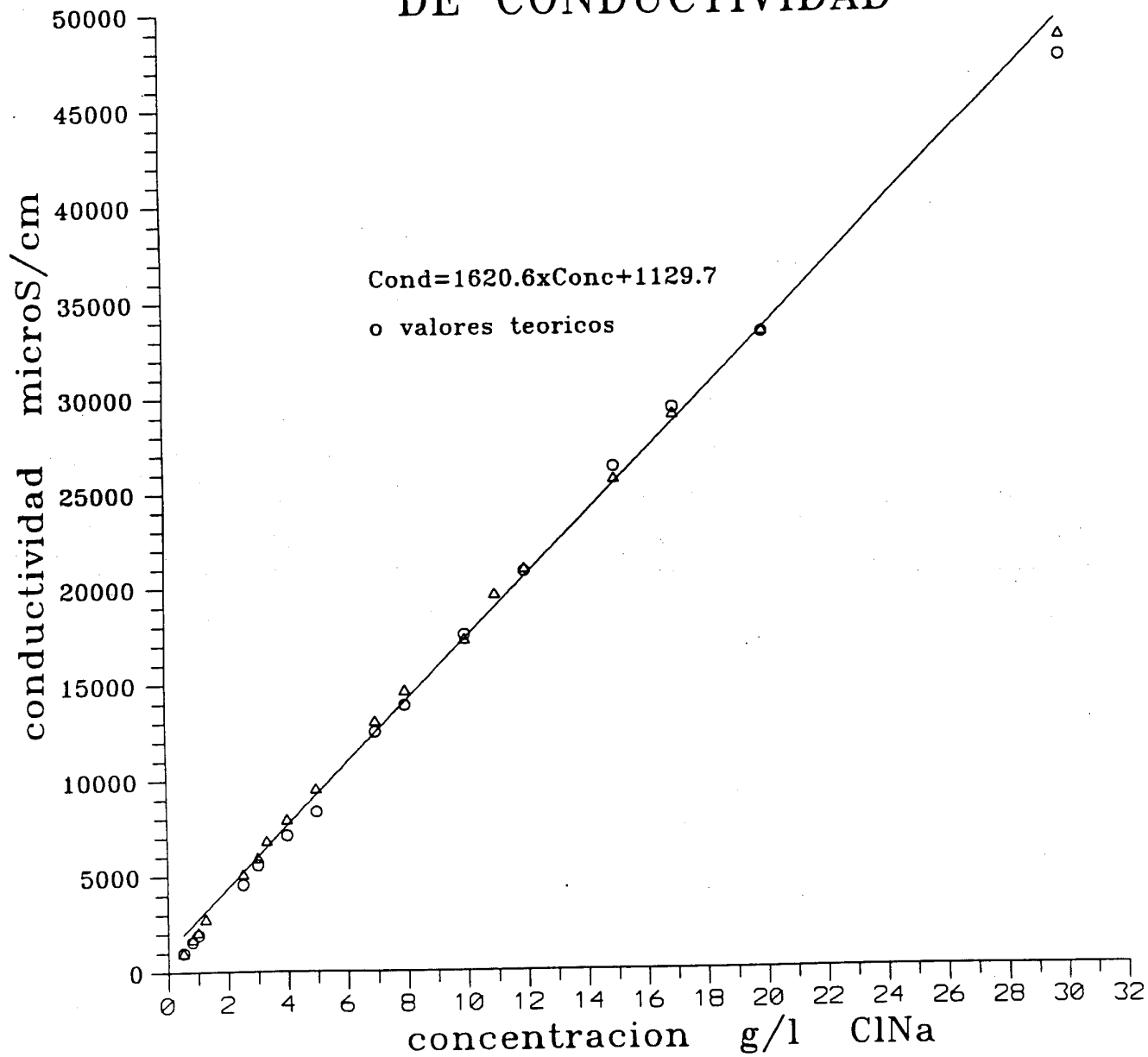


Grafico 9. CALIBRACION SONDA DE CONDUCTIVIDAD



las columnas Cm y Rm son los valores medios de Ci y Ri.

la columna dr son las mayores desviaciones de Ri respecto a la media Rm.

la columna Rt son las resistividades teóricas.

la columna Ct son las conductividades teóricas (inverso de Rtx10000).

la columna er son las diferencias entre Rm y Rt.

En el gráfico 8 se han trazado los valores Cm-Rm, como verificación.

En el gráfico 9 se expresa la calibración para los valores médios Cm, ajustándose a una recta de expresión:

$$C = 1620.6 S + 1129.7$$

donde C es la conductividad en microSiemens/cm y S la concentración en g/l.

Se representan también los valores de conductividad teórica Ct. Las diferencias entre los valores obtenidos por la sonda y los teóricos, reflejados además de forma numérica en la tabla D, están dentro de los ordenes normales en este tipo de mediciones.

Tabla D

ClNa |valores a 25°C

	Cm	Ct	Cm-Ct
g/l	mS/cm	mS/cm	mS/cm
0.5	1015	1000	15
0.8	1734	1563	171
1	2100	1923	177
1.25	2780		
2.5	5100	4545	555
3	5946	5555	391
3.3	6820		
4	7950	7092	858
5	9540	8333	1207
7	13065	12500	565
8	14675	13888	787
10	17317	17544	227
11	19655		
12	21000	20833	167
15	25700	26316	616
17	29100	29412	312
20	33415	33333	82
30	48700	47619	1081

Para mejor comparación con la sonda 9040, se han obtenido los valores en unidades de resistividad, expresándose la relación Rm-Rt en el gráfico 10 y la calibración en función de Rm en el gráfico 11.

Las desviaciones dr respecto de los valores medios en ohm m son:

- igual a 0.00 ohm m, para más de 7 g/l.
- entre 0.04 y 0.1 ohm m, para el rango 7-2.5 g/l.
- igual o inferior a 0.3 ohm m, para 3-0.5 g/l.
- de hasta 1.2 ohm m, para menos de 0.5 g/l.

Grafico 10. SONDA DE CONDUCTIVIDAD

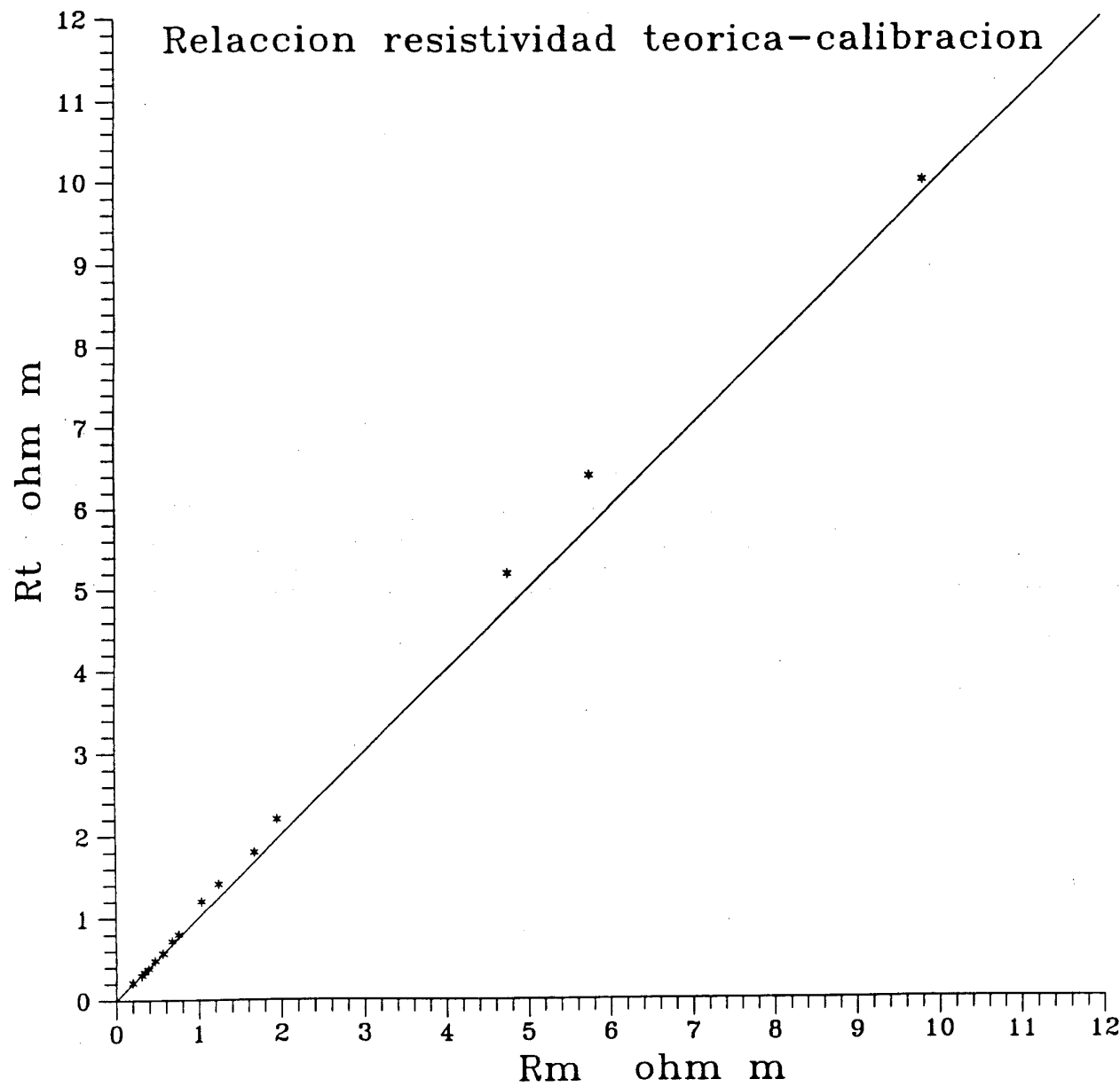
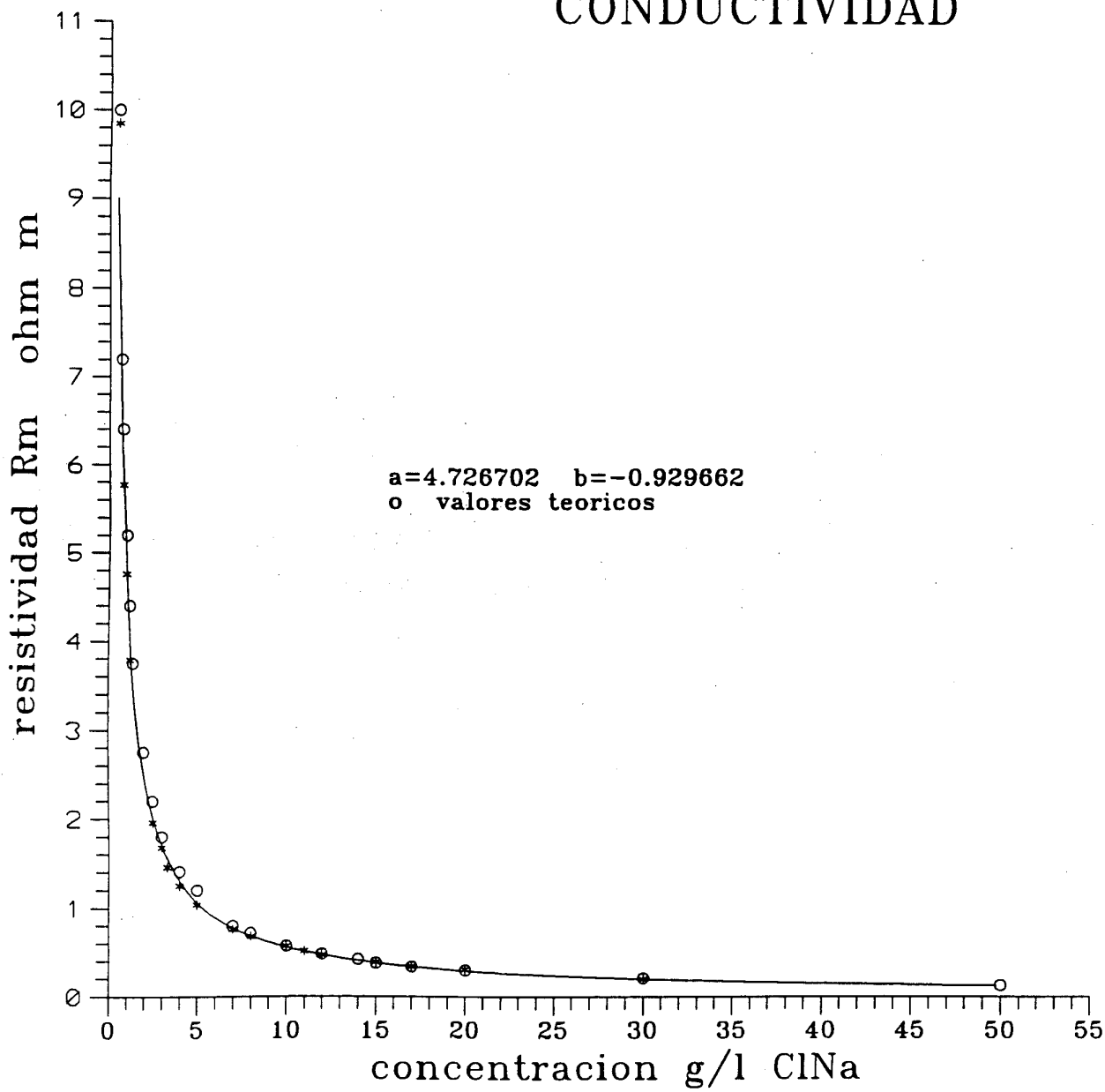


Grafico 11. CALIBRACION SONDA DE CONDUCTIVIDAD



lo que representan el doble de precisión respecto de las mediciones realizadas con la sonda 9040; sin embargo, lo mas importante es que los valores obtenidos se ajustan en mayor grado a los teóricos (columna er de tabla C y gráfico 11) : salvo para concentraciones inferiores a 1 g/l, existe una diferencia entre los valores de calibración y los teóricos, inferior a 0.1 ohm m., e incluso nulas para mas de 10 g/l.

El ajuste de una función del tipo $R=aC^b$ a los valores R_m del cuadro anterior da :

$$a = 4.26702 \quad b = -0.929662$$

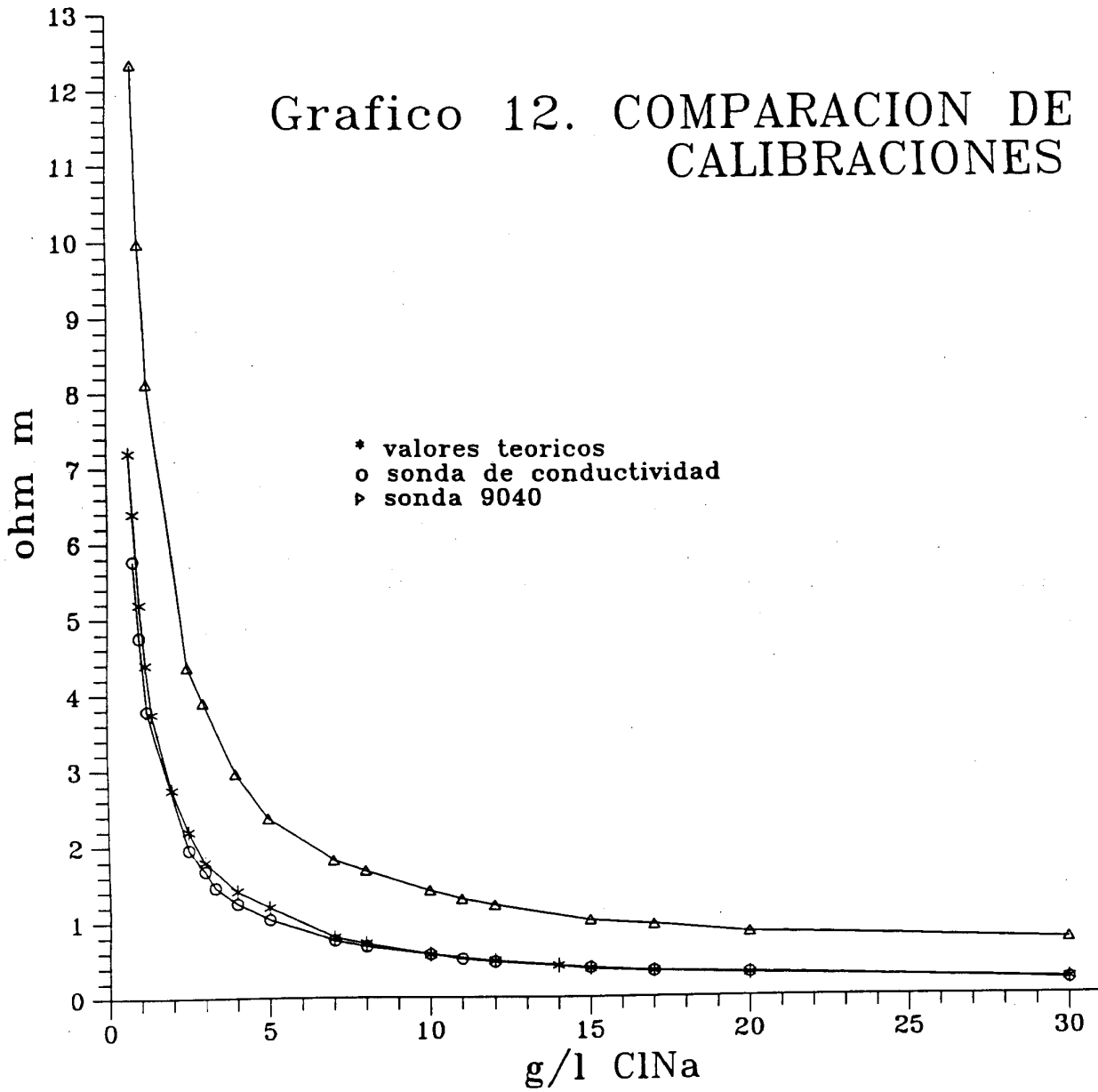
frente a los valores "teóricos" de $a = 4.99$ $b = -0.92$ y los de la sonda 9040 de $a = 9.685$ $b = -0.821$

En el gráfico 12, se representan los valores teóricos, junto con las calibraciones de la sonda de conductividad (convertidos a ohm m), y de la sonda 9040.

Así pues, esta sonda de conductividad mide valores mucho más próximos a los reales, siendo sus lecturas directamente convertibles en unidades de concentración por su curva de calibración y no siendo indispensable pasar por la curva "teórica" para obtener conductividades reales.

Esta sonda mide además la temperatura, utilizándola mediante circuitos internos para dar las lecturas de resistividad homogeneizadas a 25°C. Dado el buen ajuste de los valores de resistividad, puede aceptarse que el sensor de temperatura también funciona aceptablemente (al menos en el momento de estas calibraciones), ya que si no fuera así, los resultados de la conversión presentarían mayores desviaciones.

Grafico 12. COMPARACION DE CALIBRACIONES



4.2 COMPARACION DE MEDICIONES EN DOS SONDEOS.

El día 24 de abril 1991, se efectuaron mediciones con ambas sondas en los mismos sondeos:

sondeo	hora	sonda
224RM	10	9040
224RM	12	conduc.
A10	8	conduc.
A10	11	9040

En los cuadros siguientes, E y F, se presentan los valores:

- (1) profundidad desde la superficie.
- (2) temperatura medida por la sonda de conductividad.
- (3) conductividad en microSiemens/cm.
- (4) resistividad (por conversión de la conductividad mediante $10000/C$).
- (5) salinidad en g/l mediante la curva de calibración de la sonda de conductividad.
- (6) resistividad leída por la sonda 9040, corregida a $25^{\circ} C$.
- (7) salinidad segun los valores (6) con la curva de conversión teó- rica.
- (8) salinidad segun los valores (6) con la curva de calibración de la sonda 9040 en la campaña de abril de 1991.

Tabla E

LECTURAS DE LAS SONDAS DE CONDUCTIVIDAD Y 9040 EN SONDEO A10

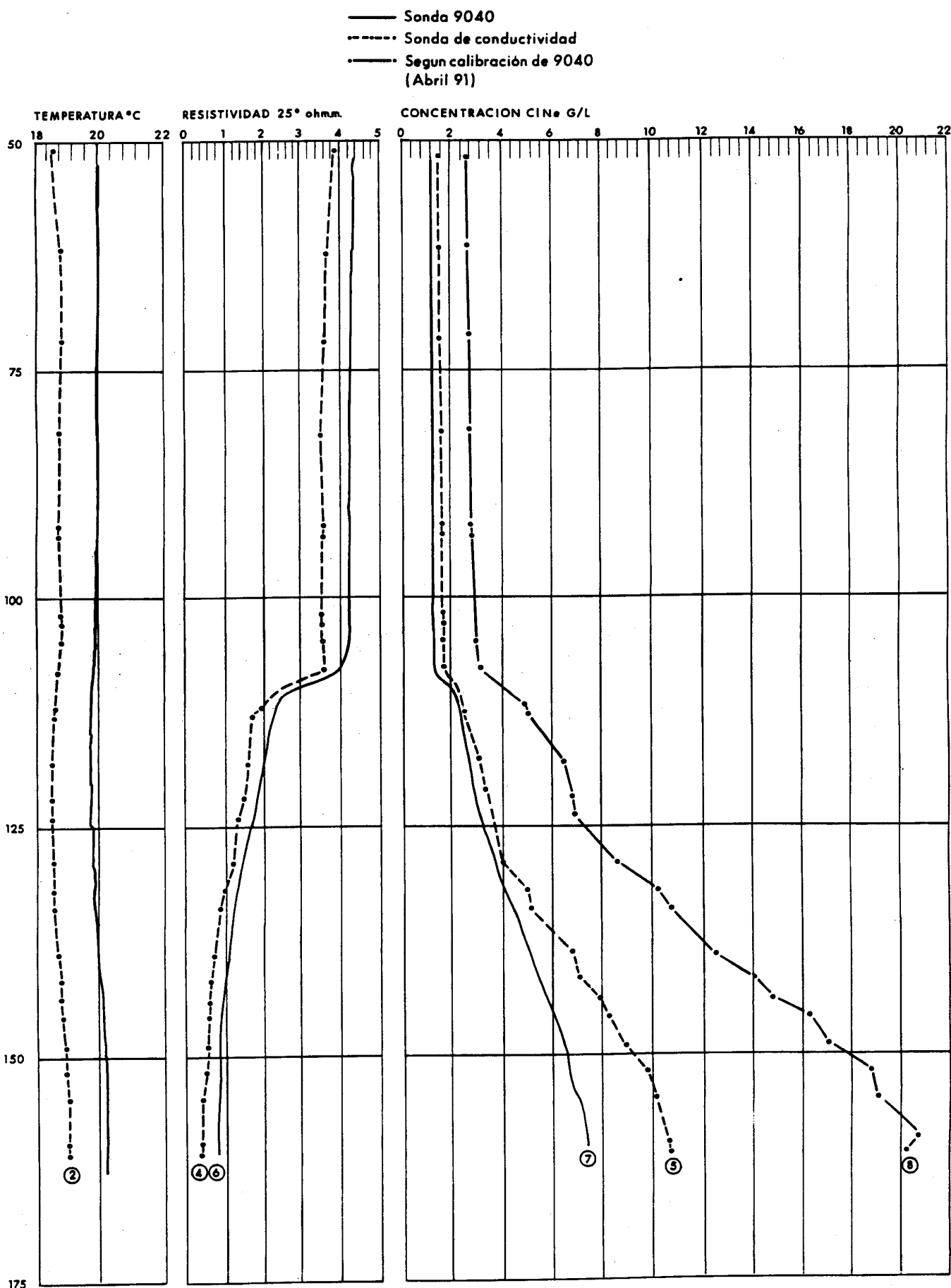
.....sonda conductividad.....			9040.....			
(1)	(2)	(3)	(4)	(5)	(6)	(7)	(8)
<u>prof.</u>	<u>temp.</u>	<u>cond.</u>	<u>res.</u>	<u>sal</u>	<u>res.</u>	<u>sal</u>	<u>sal</u>
72	17.9	4950	2.02	2.6	2.53	2.09	4.93
82	17.9	4970	2.01	2.6	2.54	2.08	4.91
92	18	5000	2	2.7	2.51	2.1	4.98
93	18	5010	1.99	2.7	2.5	2.11	5
102	18	5210	1.92	2.8	2.385	2.22	5.29
103	18	5220	1.92	2.8	2.375	2.23	5.32
112	18	5450	1.83	2.9	2.3	2.31	5.53
122	17.9	5610	1.78	3	2.2	2.43	5.83
124	17.9	5640	1.77	3	2.19	2.44	5.86
134	17.9	5890	1.7	3.2	2.11	2.54	6.13
139	17.9	5900	1.69	3.2	2.08	2.58	6.24
142	17.9	5910	1.69	3.2	2.065	2.6	6.29
152	17.8	6380	1.57	3.5	1.85	2.93	7.18
155	17.8	6420	1.56	3.5	1.8	3.01	7.42
165	17.7	7560	1.32	4.2	1.525	3.61	9.05
175	17.6	9830	1.02	5.7	1.285	4.34	11.11
185	17.6	10620	0.94	6.2	1.18	4.76	12.31
196	17.6	11880	0.84	7.1	1.105	5.11	13.32
206	17.5	12770	0.78	7.7	1.045	5.43	14.24
216	17.5	13390	0.75	8.1	1	5.69	15.02
227	17.5	14240	0.7	8.7	0.96	5.95	15.77
237	17.6	14880	0.67	9.1	0.925	6.19	16.49
247	17.6	16080	0.62	10	0.88	6.54	17.51
268	17.6	17580	0.57	11	0.83	6.96	18.78
278	17.6	18170	0.55	11.5	0.81	7.15	19.34

Tabla F

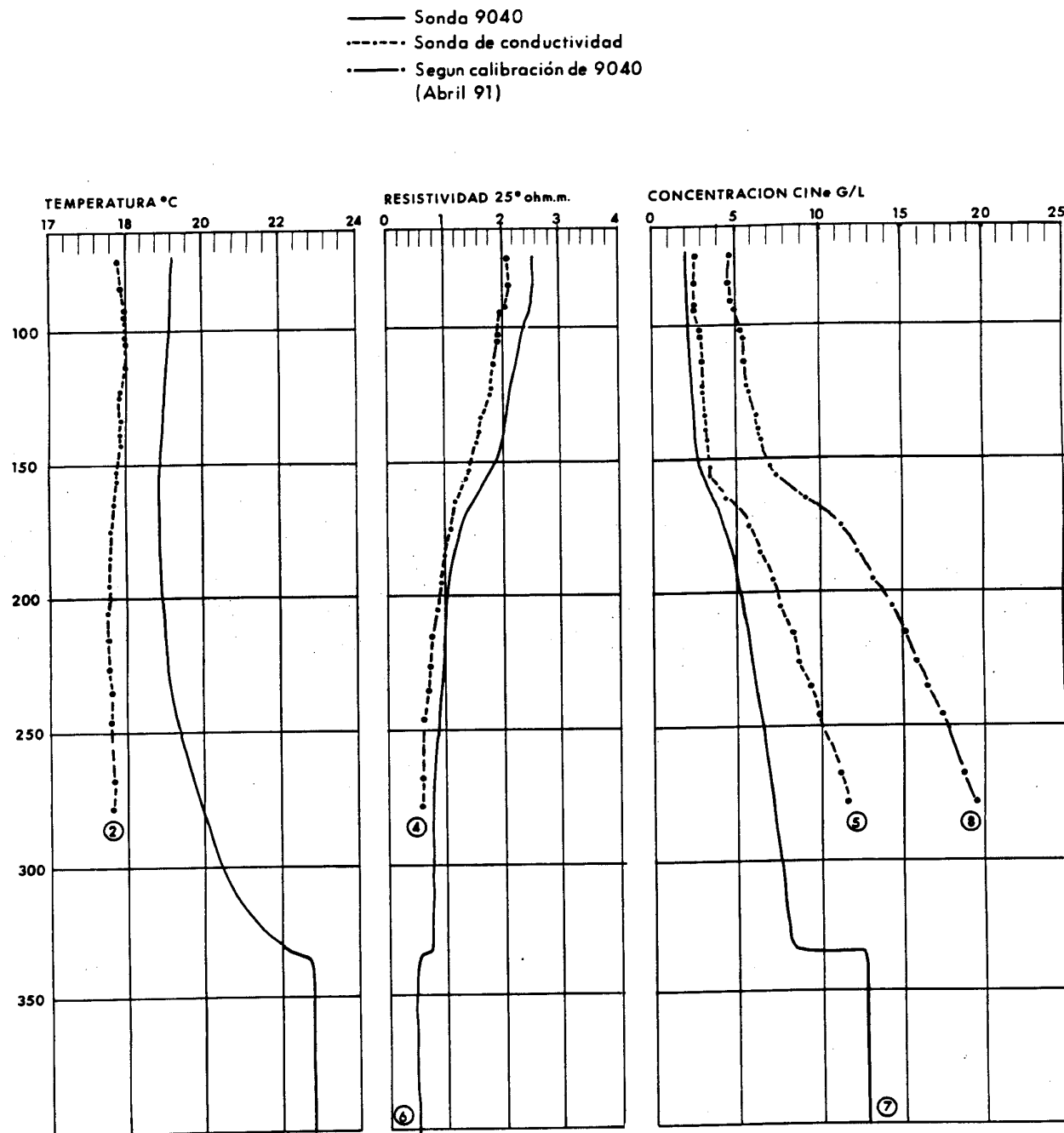
LECTURAS DE LAS SONDAS DE CONDUCTIVIDAD Y 9040 EN EL SONDEO 224RM

.....sonda conductividad.....			9040.....			
(1)	(2)	(3)	(4)	(5)	(6)	(7)	(8)
prof.	temp.	cond.	res.	sal	res.	sal	sal
51	18.6	2600	3.84	1.3	4.315	1.17	2.60
62	18.8	2750	3.64	1.3	4.285	1.18	2.62
72	18.8	2760	3.62	1.4	4.25	1.19	2.65
82	18.7	2780	3.6	1.4	4.23	1.2	2.67
92	18.7	2780	3.6	1.4	4.245	1.19	2.65
93	18.7	2780	3.6	1.4	4.25	1.19	2.65
102	18.7	2780	3.6	1.4	4.225	1.2	2.66
103	18.7	2780	3.6	1.4	4.215	1.2	2.67
105	18.7	2780	3.6	1.4	4.175	1.21	2.70
108	18.6	2780	3.6	1.4	3.92	1.3	2.91
112	18.5	4960	2.01	2.6	2.28	2.33	5.59
113	18.5	5120	1.95	2.7	2.245	2.37	5.67
118	18.4	5620	1.78	3	1.97	2.73	6.66
122	18.4	6200	1.61	3.4	1.81	3	7.37
124	18.4	6540	1.53	3.6	1.735	3.14	7.72
129	18.5	7840	1.27	4.4	1.455	3.79	9.54
132	18.5	8770	1.14	5	1.34	4.15	10.57
134	18.5	9630	1.04	5.6	1.255	4.45	11.49
139	18.6	11770	0.85	7	1.1	5.13	13.39
142	18.7	12630	0.79	7.6	1.03	5.51	14.49
144	18.7	13520	0.74	8.2	0.955	5.98	15.87
146	18.7	14280	0.7	8.7	0.91	6.3	16.82
149	18.8	15400	0.65	9.5	0.86	6.7	17.99
152	18.8	16320	0.61	10.1	0.835	6.92	18.82
155	18.9	16750	0.59	10.5	0.805	7.2	19.67
160	18.9	18320	0.54	11.6	0.76	7.66	21.08
161	18.9	18450	0.54	11.7	0.78	7.7	20.43

COMPARACION DE REGISTROS EN EL SONDEO 224 RM



COMPARACION DE REGISTROS EN EL SONDEO A 10



En los gráficos 13 y 14 se representan los valores leídos y calculados con las dos sondas, en los dos sondeos, correspondiéndose la numeración de las curvas con la de las columnas de las tablas E y F. Se observan las siguientes anomalías:

1/ las lecturas de temperatura son muy diferentes en ambas sondas, siendo las de la sonda 9040 mas de un grado superiores a las de la sonda de conductividad.

Mientras que en el sondeo 224RM las diferencias de temperatura entre sondas, son casi constantes y del orden de 1.2°C , en el sondeo A10 las diferencias oscilan entre 1 y 2.1°C . Una diferencia de 1°C supone un error, al hacer la conversión de resistividad a 25°C del orden de:

0.01 ohm m para resistividades de 0.5 ohm m
0.02 1
0.06..... 3
0.10..... 5
0.30..... 10

Así, p.e., al inicio del sondeo 224RM, mientras que con la sonda de conductividad se miden 18.6°C , con una resistividad a 25°C de 3.84 ohm m , en la sonda 9040 se leen 4.8 ohm m a 20°C , dando por tanto 4.3 ohm m a 25°C . Aceptando la hipótesis de que las lecturas de temperatura de la sonda de conductividad son más correctas (es decir, que el valor de 4.8 ohm m corresponda a 18.6°C), se hubiera obtenido un valor de 4.1 ohm m a 25°C , lo que pondría los resultados de resistividad de ambas sondas más en consonancia.

Hay que tener además en cuenta que quizá el intervalo de tiempo entre la introducción de una y otra sonda en los sondeos, no fue suficiente para recuperar una estabilidad térmica del sondeo; por otra parte puede producirse también cierto grado de imprecisión en la adjudicación de las lecturas al mismo punto, ya que a los valo-

res de profundidad de la sonda de conductividad se les aplica una corrección por longitud de cable.

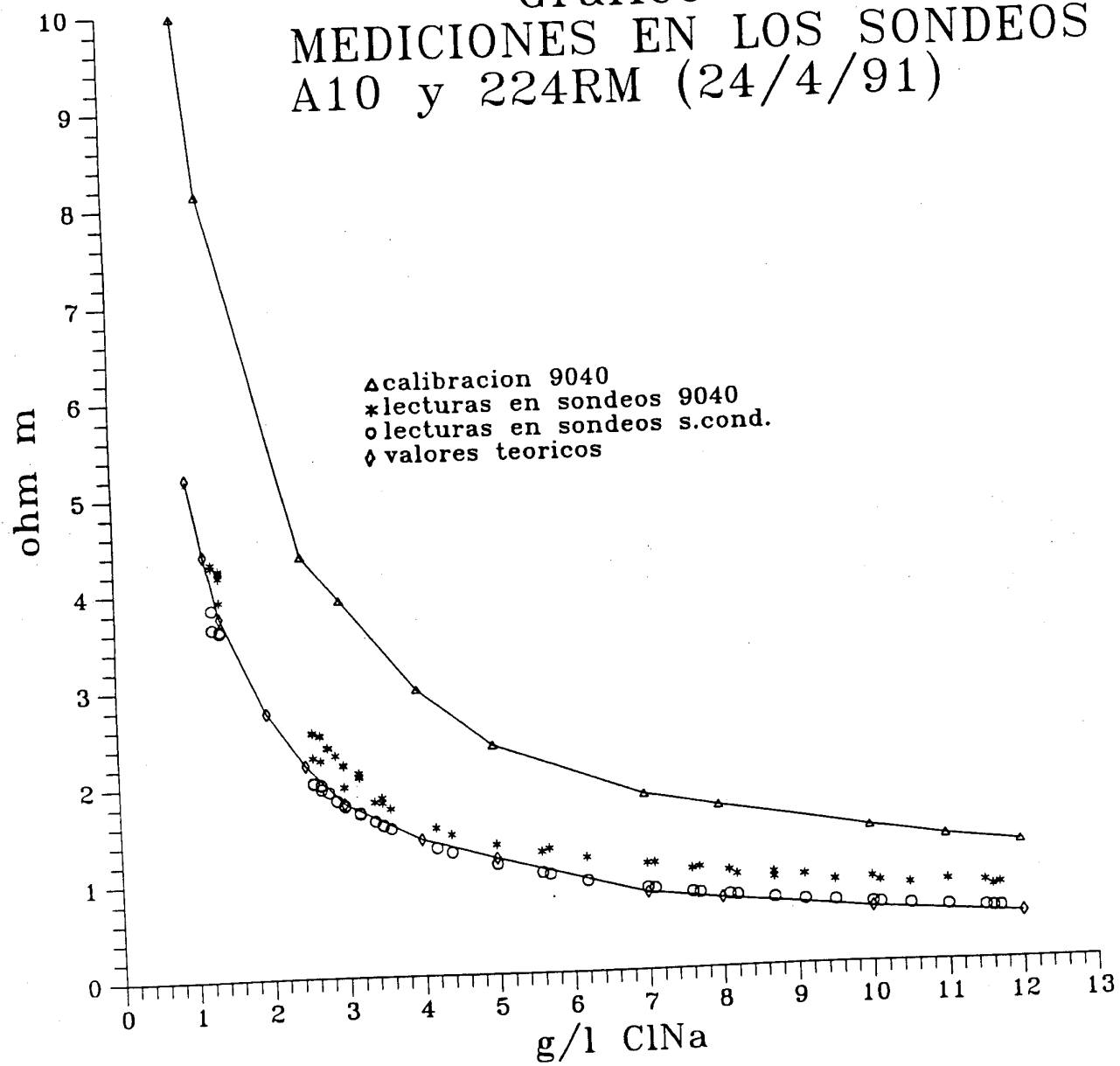
2/ En el gráfico 15 se recoge la curva de correspondencia teórica entre resistividad y concentración, la curva de calibración de la sonda 9040 y las lecturas de resistividad de la sonda 9040 en función de las salinidades halladas por la sonda de conductividad en los sondeos.

Si la calibración de la sonda 9040 fuera correcta, a pesar de su peculiar desviación respecto de los valores teóricos, para las concentraciones halladas con la sonda de conductividad, las resistividades leídas deberían haber sido muy diferentes: p.e. para una concentración de 1.3 g/l, según la curva de calibración de esta sonda debería haberse leído más de 10 ohm m, y sin embargo se ha leído 4.8. Es decir, esta sonda da valores distintos para las mismas concentraciones equivalentes de ClNa cuando mide en el sondeo y cuando se calibra en superficie con el método descrito en el párrafo 3.2.2.

Desde el punto de vista de medición de parámetros eléctricos, resulta de esta comparación, que ambas sondas tienen un comportamiento mucho más próximo de lo que cabría deducir de sus dispares curvas de calibración, pudiendo producirse un error en la conversión a valores a 25°C por la diferencia de temperaturas leídas por una y otra sonda.

La conclusión es que el sistema de calibración seguido, no es válido para la sonda 9040 de Century, no teniendo las curvas de calibración obtenidas más utilidad que la verificación de estabilidad en el funcionamiento de la sonda, pero no pudiendo emplearse para conversión de resistividades a concentraciones.

Grafico 15
MEDICIONES EN LOS SONDEOS
A10 y 224RM (24/4/91)



4.3 SOLUCION ADOPTADA PARA LA CONVERSION A SALINIDAD.

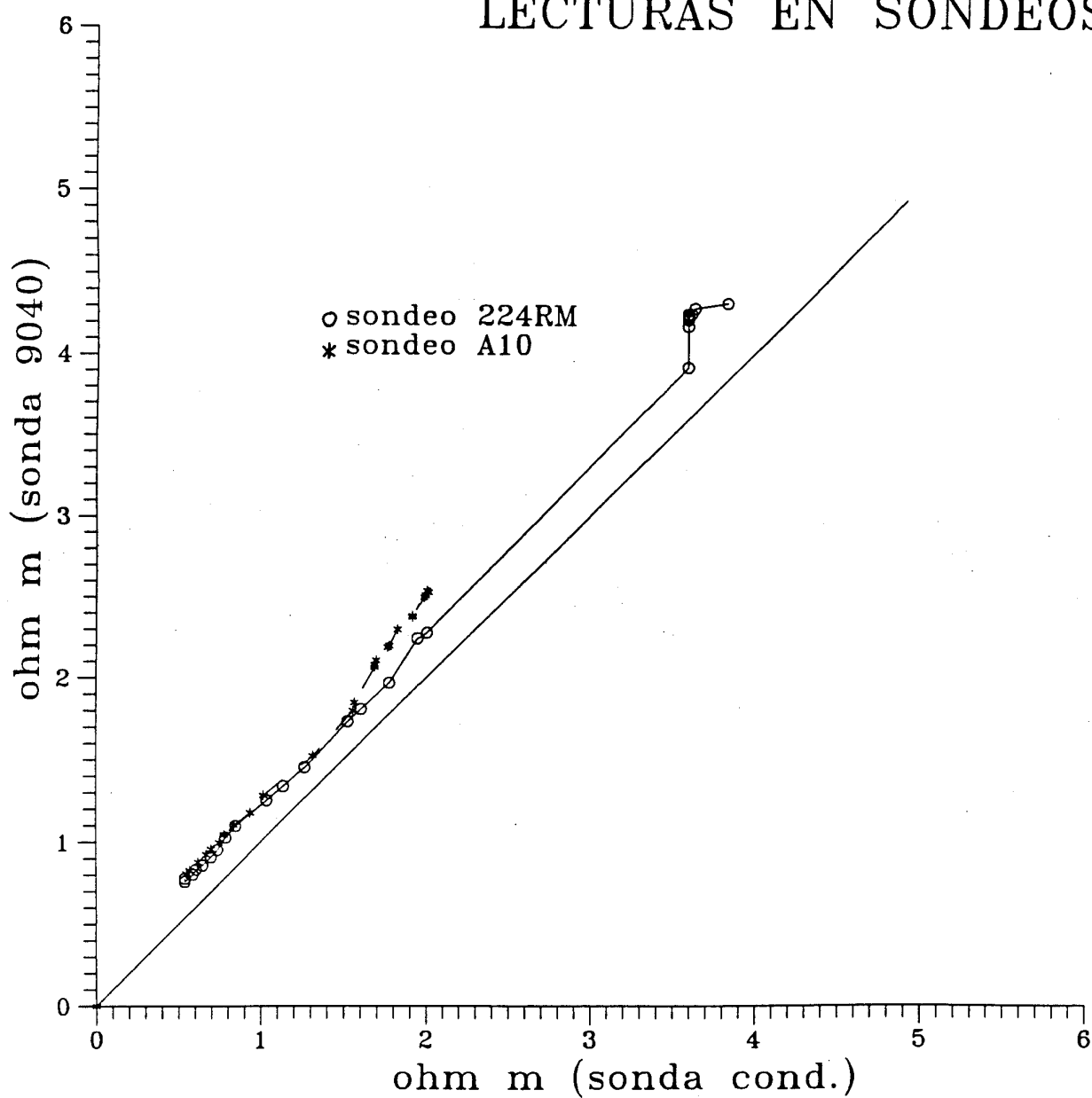
La diferencia de temperaturas registradas entre la sonda 9040 y la sonda de conductividad, puede ser debida a que la sonda 9040 marca un exceso de temperatura, aunque esto no sido comprobado mediante calibración externa. Esta posibilidad se basa en que los valores de la sonda de conductividad, que se obtienen ya convertidos a 25°C partiendo de la temperatura medida por la sonda, encajan mejor con los valores teóricos, que los valores de resistividad medidos por la sonda 9040. En cualquier caso, el error en el registro de la temperatura no es factible de corrección retroactiva, ya que no puede repetirse una medida válida para noviembre de 1991; sin embargo, al contemplarse en este Proyecto de testificación el análisis de la modificación de valores con el tiempo, es preciso que las mediciones realizadas en diferentes épocas sean comparables.

El fallo localizado en el sistema de calibración externa de resistividad de la sonda 9040 invalida todos los cálculos de concentraciones basados en dicha calibración, necesitándose conocer la auténtica calibración de esta sonda, que no ha sido hasta el momento facilitada por el contratista CGS.

Podría pensarse en adoptar los valores de resistividad leídos en los sondeos, frente a las concentraciones obtenidas por la sonda de conductividad, como un sistema de calibración de la sonda 9040. Sin embargo, al representar los valores de resistividad a 25°C para ambas sondas, en los sondeos 224Rm y A10 (gráfico 16), puede apreciarse una discrepancia de correlación entre ambos sondeos, sobre todo a partir de 1.5 ohm m, por lo que estas observaciones no las consideramos suficientemente concluyentes como para calcular una curva de calibración basándonos en ellas.

Así pues, se ha adoptado la siguiente solución de compromiso para hacer comparables, aunque no sean valores absolutos, las diagrafías realizadas:

Grafico 16 CORRESPONDENCIA DE LECTURAS EN SONDEOS



- * aceptar los registros de resistividad realizados por la sonda 9040.
- * se mantiene la duda respecto de la validez de los registros de temperatura, pero ante la imposibilidad de otra solución, se utilizarán para conversión de las resistividades a su valor a 25°C.
- * ante la no disponibilidad de una curva de calibración resistividad-concentraciones, válida para la sonda 9040, y visto que la desviación de los valores medidos en los sondeos, respecto de los teóricos, es inferior a la mostrada por su aparente calibración, se ha utilizado la curva de valores teóricos para la conversión.

Se han repetido por tanto todos los cálculos, utilizando para ello el programa ACL, con las siguientes ecuaciones:

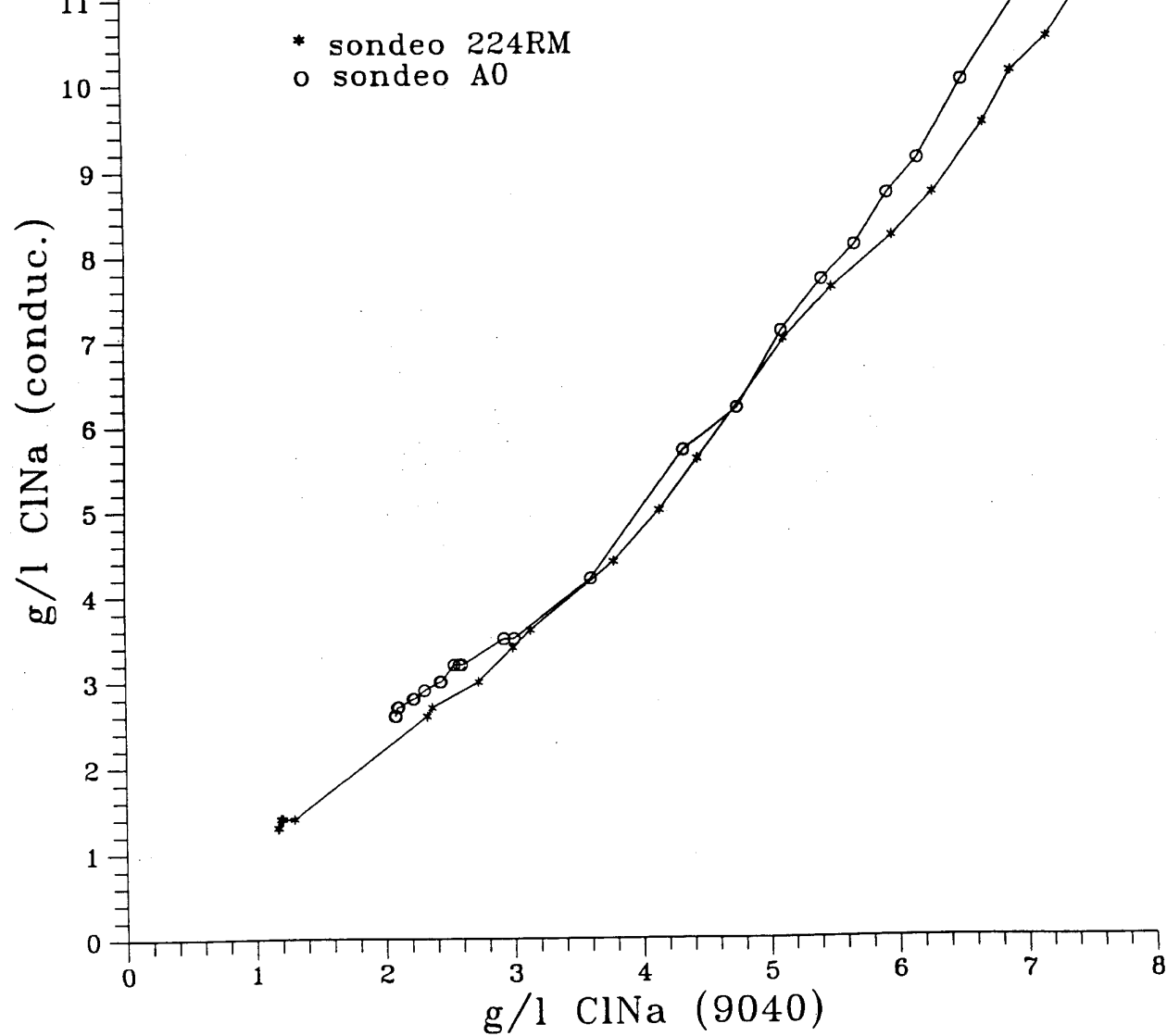
$$R25 = Rx * (Tx + 21.5) / 46.5$$

$$C = \text{EXP}((\text{LN}(R25) - \text{LN}(4.99187)) / (-0.924542))$$

Esta solución, al no ofrecer valores absolutos de concentraciones, no hace comparables directamente los valores de salinidad obtenidos por las diferentes sondas empleadas, aunque si los de la misma sonda en función del tiempo, siendo las diferencias más notables cuanto mayor es la concentración, como se aprecia en el gráfico 17, donde se representan la correspondencia entre las salinidades obtenidas en los mismo puntos por la sonda de conductividad mediante su curva de calibración y por la sonda 9040 con la curva de correspondencia teórica.

Se aprecia también, al igual que ya dijimos en el gráfico 16, una diferencia de comportamiento entre sondeos, cuya causa se desconoce y puede ser una mezcla de factores.

Grafico 17 RELACION DE SALINIDAD ENTRE SONDAS



Ajustando al conjunto de los valores (gráfico 18) una recta

$$Y=aX+b$$

siendo Y las concentraciones segun la curva de conductividad y X según la sonda 9040, se obtiene los valores

$$a = 1.573 \quad b = -0.823$$

que de forma global indica que mientras que para una concentración de 1 g/l ambas sondas son casi equivalentes, una determinación de 10 g/l en la sonda 9040 significa 15 g/l medidos por la sonda de conductividad.

No obstante, en el gráfico 19 se ha representado una correlación entre las salinidades medidas por la sonda de conductividad y las resistividades leídas por la sonda 9040 en los puntos de los sondeos A10 y 224RM correspondientes a esas concentraciones.

Las funciones de ajuste, del tipo $R=aC^b$ para uno y otro sondeo son:

$$A10 \quad a=5.189954 \quad b=-0.782258$$

$$224RM \quad a=5.133472 \quad b=-0.816029$$

apreciándose que el ajuste para el sondeo 224RM, en el que se detectan las concentraciones más bajas, es deficiente.

La diferencia con los valores teóricos es mayor para las concentraciones altas.

Grafico 18 CONVERSION DE SALINIDAD ENTRE SONDAS

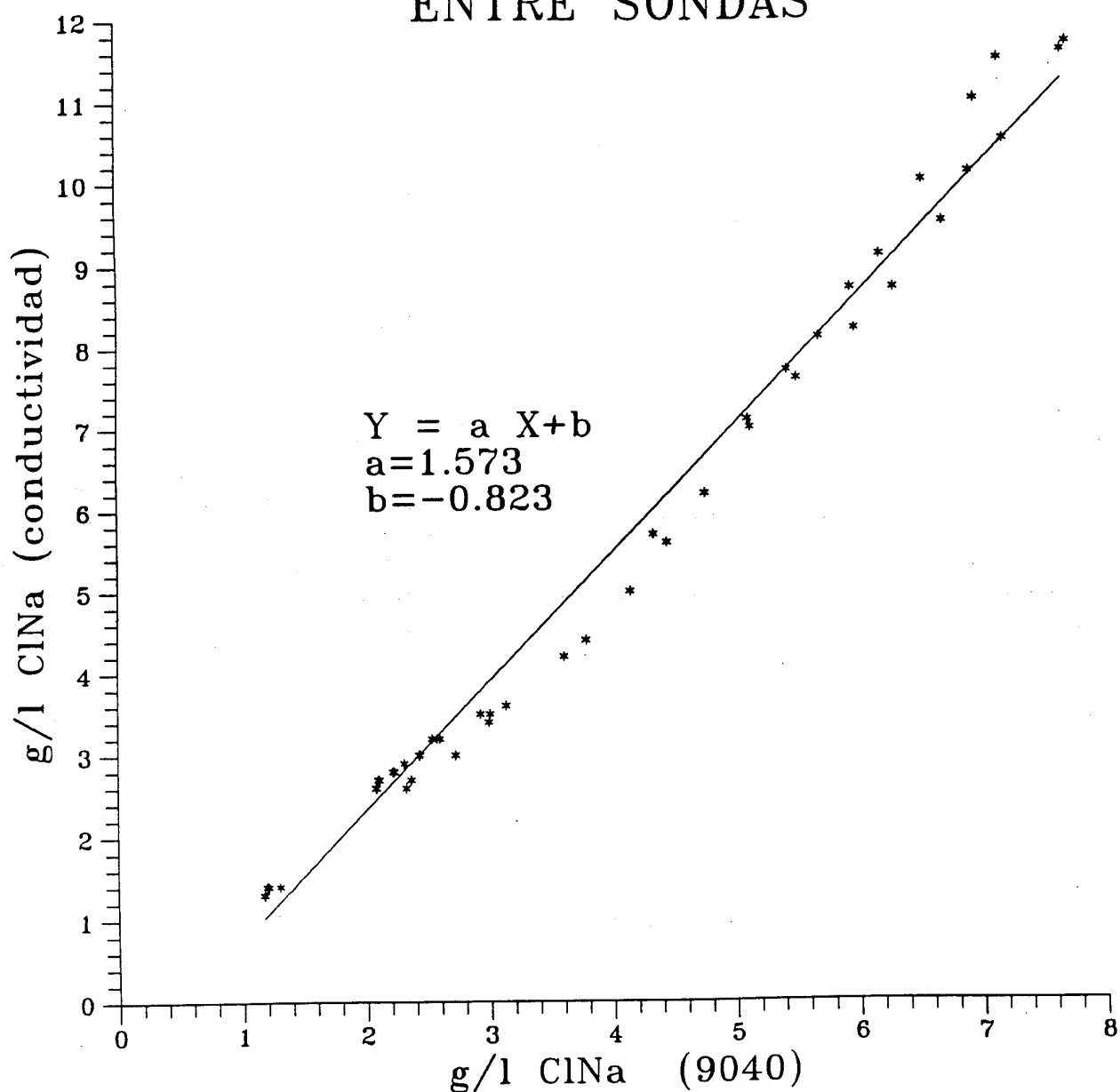
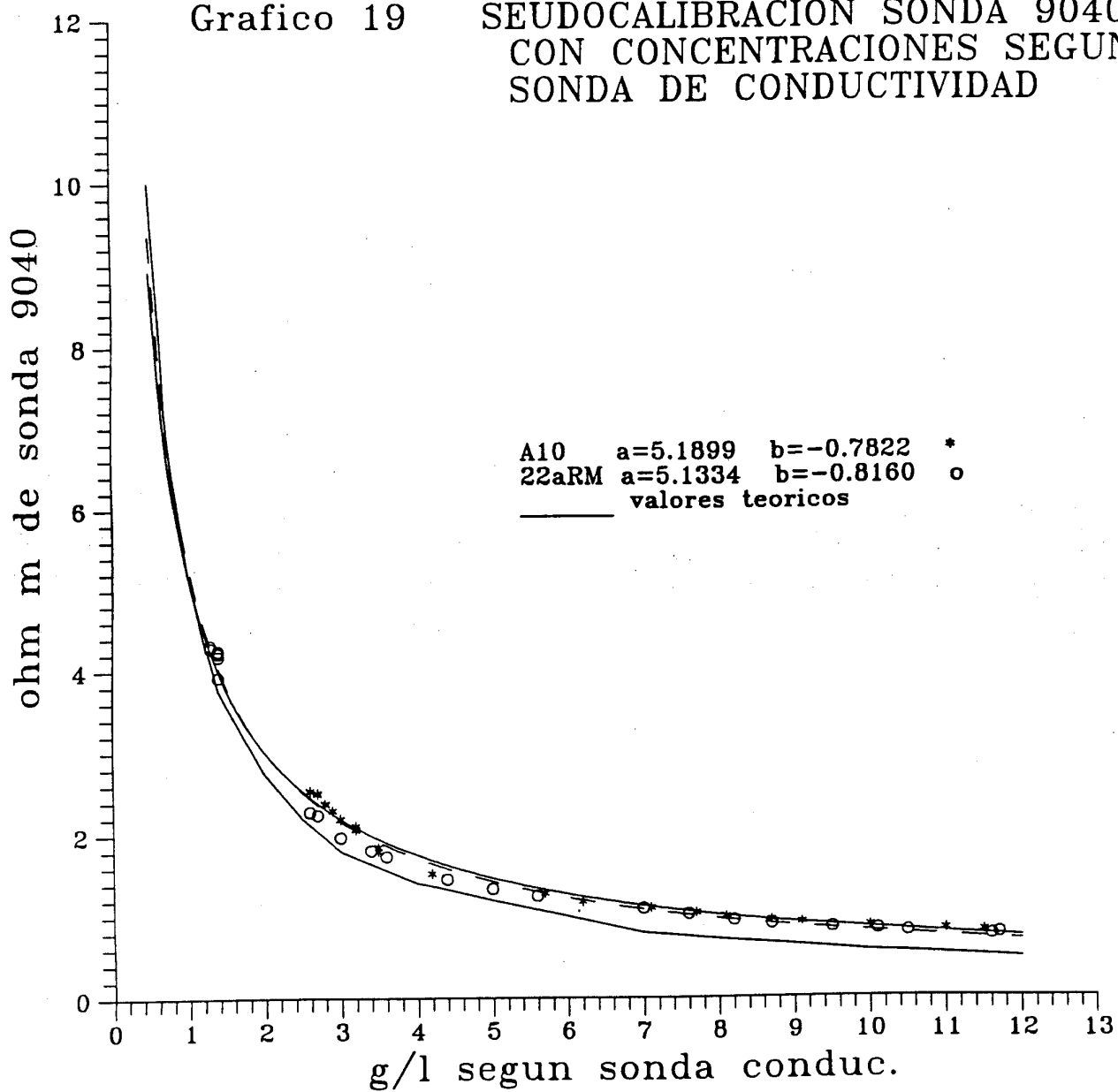


Grafico 19

SEUDOCALIBRACION SONDA 9040
CON CONCENTRACIONES SEGUN
SONDA DE CONDUCTIVIDAD

5. PRECISION DE LAS SONDAS Y CALCULOS.

Recopilando los cálculos y estimaciones de errores deducidos en los párrafos anteriores, se puede concluir:

a) ERROR METROLOGICO INTRINSECO:

Con independencia de la exactitud en la calibración tanto interna como externa de los sensores de las sondas, para la correcta utilización de los datos, es imprescindible conocer la precisión intrínseca de las mediciones. Los únicos datos facilitados sobre la sonda 9040 de Century son :

- medición de temperatura en el rango de 0 a 65°C.
- resistividad del fluíido medida por un dispositivo de cuatro electrodos, en el rango de 0.01 a 100 ohm m.

sin ninguna indicación sobre su precisión o margen de error.

Por tanto, el error propiamente instrumental o intrínseco, es desconocido, por no haber sido facilitado por el fabricante de la sonda Century. Puede suponerse no inferior a:

resistividad.....0.01 ohm m
temperatura.....0.01 °C

Este supuesto error de temperatura, no tendría ninguna repercusión práctica en los resultados finales de este Proyecto.

En cuanto a la resistividad, dada la ley exponencial de la relación entre resistividad y concentración de iones salinos, un error constante en resistividad se traduce en un error variable en la determinación de la concentración. La repercusión es además diferente según se tome lectura-error y lectura+error.

Para una ley del tipo $R = 5.19 C^{-1/0.95}$, las desviaciones producidas por $\pm 0.01 \text{ ohm m}$, serian en g/l:

concentración	0.5	1	2	5	12	
	-----	-----	-----	-----	-----	----- g/l
desviación	0.001	0.01	0.05	0.4	0.5	

b) ERRORES EXPERIMENTALES

Respecto a la medición de resistividad, basándonos en los datos empíricos de las sucesivas calibraciones realizadas, en la hipótesis de que las concentraciones patrón utilizadas en todas ellas hallan sido identicas, se obtiene un error en g/l:

concentración	0.5	3	8	
	-----	-----	-----	----- g/l
error ohm m	3	>0.3	0.1-0.2	< 0.03

desviación g/l	0.2	0.3	0.7-1.4	0.1-1.3
----------------	-----	-----	---------	---------

aunque esto puede ser una consecuencia de la influencia de las concentraciones: pequeñas diferencias en las soluciones patrón empleadas en una y otra ocasión, producen mayores diferencias de lecturas de resistividad cuanto más baja es la salinidad.

c) ERRORES DE CALCULO

El error en la conversión de resistividades medidas a una temperatura, a su valor a 25°C, debido a la utilización de una ecuación aproximada, vimos que era del orden de :

concentración	2	
	-----	----- g/l
error ohm m	0.1	0.01

La adopción de unos u otros coeficientes en el ajuste de la curva de calibración, produce también desviaciones del orden de 0.1 g/l. En conjunto, por estos criterios de cálculo, pueden provocarse desviaciones del orden de :

concentración	2	8	
	----- ----- -----		g/l
desviación g/l	<0.1	0.2	>0.3

d) ERROR DE FUNCIONAMIENTO DE LA SONDA

El posible error de 1°C en el funcionamiento de la sonda 9040, repercute en la conversión de resistividades a 25°C en:

resistividad	0.5	1	3	5	10	
	----- ----- ----- ----- ----- ---	ohm m				
error en ohm m	0.01	0.02	0.06	0.1	0.3	

error en g/l	0.5	0.4	0.1	0.03	0.02	
--------------	-----	-----	-----	------	------	--

Este error proporciona siempre concentraciones menores que las reales.

Por el error deducido experimentalmente, junto con el debido al sistema de cálculo, las concentraciones finalmente expuestas en este trabajo deben entenderse, de forma global, con un error del orden de:

concentración g/l	3	
	----- -----	
error g/l	0.3	0.5-1.5

La utilización de una curva de calibración incorrecta, puede producir errores incontrolables, como se aprecia en los gráficos 13 y 14 con la utilización de la curva de calibración hallada por el sistema descrito en 3.2.2. Para una misma resistividad registrada, las concentraciones calculadas pueden resultar o muy superiores a las reales (caso de la curva de "calibración" de la sonda 9040) o inferiores (caso de emplear con esta sonda la curva teórica).

Con el sistema aquí adoptado, a las concentraciones expuestas habría que aumentarlas del orden del 50% para obtener concentraciones más parecidas a las absolutas o reales (ver gráfico 18 y curvas 7 y 5 de los gráficos 13 y 14). Las desviaciones serían mucho mayores de seguir empleando la aparente calibración de la sonda 9040 (ver curvas 8 de los gráficos 13 y 14).

En cualquier caso, los valores de resistividad a 25°C siempre podrán compararse entre sí, y convertirlos a salinidad correcta si se dispone de la calibración adecuada.

6. PRESENTACION DE RESULTADOS.

6.1 REPRESENTACION EN PAPEL.

En el gráfico 20 se sintetiza el proceso de datos seguido en los informes presentados por CGS y el adoptado en este trabajo. Como ya indicamos anteriormente, de los informes anteriores sólo resultan válidas las diagrafías de los valores directamente medidos en campo, pero no las que sean resultados de digitalización en mesa y de cálculo.

Por ello, se ha procedido a representar en formato A4 todos los registros de cada sondeo, tanto los medidos como los calculados en este informe, para cada campaña. Ante la diferencia de longitudes de registro y de rango de oscilación de los valores medidos en cada sondeo, el empleo de una escala de representación uniforme para todos ellos, tanto en vertical como en horizontal, no resulta adecuado para hacer resaltar las desviaciones encontradas. Se presentan por tanto una copia de todos los registros a la misma escala horizontal, para facilitar su comparación entre sondeos, y otra copia en escala variable de sondeo a sondeo, a fin de resaltar las desviaciones.

Puesto que en los valores representados se aprecia la existencia de algunas desviaciones anómalas, a fin de evitar interpretaciones no adecuadas, se hacen algunas observaciones sobre los ruidos encontrados en los registros, estando las profundidades indicadas tomadas de forma aproximada de las mismas representaciones en papel A4 (los valores exactos pueden obtenerse de los ficheros digitales). Todos estos ruidos se observan igualmente en los registros originales de campo, no debiéndose por tanto a fallos en el proceso de digitalización manual ni de cálculo (salvo que se indique lo contrario).

INFORMES CGS

Gráfico 20

Campaña	Nov.89	Abr.90	Oct.90	Abri.91	Nov.91	Abr.92
Testificador	1	2	3	4	5	6
Digitalizacion	COMPU-LOG I					
	automática					
Calculos	parcial y manual					
	Calculo de C por calibracion en cada Campana					
Registros presentados	r,t,dt rr	r,t,dt rc,rr	r,t rc,rr,c	r,t rc,rr,c	r,t rc,rr,c	r,t rc,rr,c gn

INFORME ITGE

Digitalizacion	NUEVA DIGITALIZACION	
Calculos todo por ACL	RECALCULO DE RC RECALCULO DE C (por calibracion teorica)	
Registros presentados	r,t rc,C en formato DIN A4 con dos escalas diferentes	r,t rc,C rC,C rC,C gn

Las observaciones que siguen están hechas sobre los registros representados en escala variable para cada sondeo (ANEXO IV). En algunos casos no se trata propiamente de ruido sino de oscilaciones metrológicas normales, por la precisión de los sensores, que se ven amplificadas por utilizar una escala de representación horizontal demasiado detallada. En otras ocasiones son claramente ruidos de tipo instrumental, por su carácter casi instantáneo (bruscos aumentos de amplitud o "chispas") o por darse en toda la longitud de un registro (oscilaciones de menor amplitud, pero continuas); sin embargo, cuando un ruido se produce en una misma parte de un sondeo, todas las veces que éste se ha testificado, lo más probable es que sea debido a alguna causa adjudicable al sondeo (estado de la entubación, zonas de aporte de acuíferos, etc). Finalmente, en ocasiones se observa que es sólo en una determinada campaña en la que se ha producido un tipo de ruido, lo que es claramente índice de un funcionamiento no correcto de la sonda, con resultados no obstante válidos si el ruido está dentro de límites tolerables.

Todos los ruidos en los registros medidos, se trasladan a los registros calculados o de resistividad a 25°C y contracción, donde resultarán más o menos observables según la escala utilizada.

Campaña D1 (Noviembre de 1989)

Se observan ruidos en los registros:

- A11 en temperatura, entre 130 y 240 m.
- B5 en resistividad, por efecto de escala horizontal exagerada.
- B10 en resistividad sobre los 105 m.
- M en resistividad, por efecto de escala horizontal exagerada.
- N en temperatura y en resistividad por efecto de escala.
- 224RM en resistividad entre 105-110 m.
- 47VC ruidoso en temperatura, por efecto de escala horizontal.
- 63FE en resistividad, aumentado por efecto de escala.

Campaña D2 (abril 1990)

- A10 ruido en resistividad, sobre los 335 m.
- A11 ruido de resistividad entre 100 y 115 m. Posible salto por digitalización a 220 m en temperatura, sin trascendencia.
- B5 ruido en resistividad, amplificado por efecto de escala horizontal.
- B10 disminución de temperatura entre 230-235 m, también observable en la campaña D1.
- 14VC error de digitalización (salto) en resistividad a los 140 m, sin trascendencia, aunque se observe en las concentraciones por efecto de escala horizontal.
- 53VC el descenso de temperatura al final no se observa en otras campañas.
- 56VC ruido en temperatura, por efecto de escala horizontal.
- 59VC ruido en temperatura, quizá por efecto de registro en ascenso (columna térmica no equilibrada), aumentado por efecto de escala.
- 63FE ruido en temperatura, quizá por registro en ascenso, aumentado por efecto de escala, entre 110 y 113.5 m..
- 485BJ ruido en temperatura al inicio del registro. Ruido en resistividad y temperatura entre los 180 y 210 m.
- 486BJ ruido en resistividad entre 115 y 120 m.

Campaña D3 (octubre 1990):

- A9 aumento de la resistividad al final del registro, que se traduce en una brusca disminución de concentración, observable en todas las campañas.
- A10 algo ruidoso en temperatura durante todo el registro.
- B10 ruido en resistividad entre 105-110 m, existente en todas las campañas.
- 224RM solo hay registro de resistividad.

- 14VC ruidoso en temperatura entre 155 y 175 m.
- 41VC el registro empieza a 76 m, pero el de temperatura comienza a los 93 m.
- 53VC ruido en resistividad entre 76-77 m.
- 485BJ ruido en temperatura entre 70-90 m, como en campaña D2.

Campaña D4 (abril 1991)

A partir de esta campaña, se han utilizado los registros digitalizados en el terreno por el propio instrumento de testificación, por los que todos los ruidos observables pertenecen a los registros reales.

Lo mas notable de estos registros es la diferencia entre los tramos registrados para cada parámetro: mientras que el registro de resistividad empieza cerca de 2 m antes que el de temperatura, acaba sólo un metro antes. Estos efectos son producidos por la edición de los ficheros, que no se han cortado exclusivamente en sus porciones omunes como en otras campañas.

Se presentan algunos ligeros ruidos de oscilaciones muy rápidas en los valores registrados, aunque en esta campaña son de poca amplitud:

- A8 ruido y anomalías en temperatura a 245 m (efecto exagerado por la escala horizontal)
- A9 ruidos de temperatura muy puntuales, de aspecto cíclico (cada unos 20-25 m)
- A10 ruido en resistividad a partir de 400 m. Posible registro en ascenso.
- B9 escala horizontal de concentraciones muy exagerada.
- B10 anómalo en temperatura al fin del registro.
- N ruido en resistividad, que se manifiesta fuertemente en la concentración por efecto de escala.

- 253RM ruido a los 193 m en resistividad.
- 41VC ruido en temperatura, entre 145 y 165 m.
- 50VC ruido en resistividad a los 81.5 m. Descenso de temperatura al final del registro.
- 53VC ruido en temperatura a los 93 m.
- 485BJ ruido en resistividad entre 195 y 205 m; ruidoso el inicio de la temperatura.
- 486BJ el registro de temperatura es completamente distinto al obtenido en el resto de las campañas.

Campaña D5 (noviembre 1991)

Los registros de temperatura de esta campaña son especialmente anómalos, aunque aceptables para el cálculo de conversión, salvo en los tramos que se indican. La sonda sufrió una avería en el detector de gamma natural durante esta campaña, interrumpiéndose los trabajos a partir de ese momento.

- A4 ruidos en temperatura y valores anormalmente bajos respecto otras campañas. Registro de temperatura no válido en los primeros 65 m.
- A8 ruido en resistividad a 163 m y muy anómalo en temperatura.
- A10 muchos ruidos de rápida oscilación en temperatura y resistividad.
- M ruido en temperatura a los 60 m.
- N ruido de resistividad a 38 m y en temperatura de 44 a 48 m.
- 253RM ruido en inicio de temperatura, con valores más elevados que en el resto de las campañas.
- 14VC ruido en resistividad a 97 m y en temperatura a 142, 147 y 183 m, con comportamiento de temperatura muy diferente a otras campañas.
- 37VC ruido en resistividad a 92.5 m y en temperatura a 95 m, exagerado por la escala empleada.
- 41VC inicio normal y ruidos de rápida oscilación en temperatura

a 115 m.

- 42VC extraño principio del registro de temperatura, hasta 78 m.
- 47VC ruidos de temperatura durante todo el registro.
- 50VC muy ruidoso en temperatura hasta los 88 m.
- 53VC inicio anormal de registro y ruidos en temperatura durante todo el registro.
- 56VC ruidos en temperatura durante todo el registro.
- 59VC ruidos en temperatura durante todo el registro, aumentados por efecto de la escala horizontal.
- 112VC ruido en temperatura a los 99 y 102 m, con extraño comienzo del registro, superando los 23 °C.

Campaña D6 (abril 1992)

Presenta las mismas características de ruidos aislados que las campañas D4 y D5.

- A4 ruido en temperatura desde el inicio a los 30 m.
- B9 ruidoso en resistividad a 240 m y a 595 m.
- M es ruidoso en temperatura a los 24 m.
- 6RM ruidoso en temperatura de 122 a 132.5 m.
- 240RM ruido muy intenso en temperatura a 114 m.
- 244RM ruido en resistividad a 52 y 126 m.
- 252RM ruido en temperatura a los 159 m.
- 37VC ruido en resistividad a los 90 m.
- 41VC ruido en temperatura de 78 a 81 m.
- 42VC ruido en temperatura a los 89 m.
- 47VC ruido en temperatura a 74, 78-79 m.
- 53VC ruido en temperatura de 95 a 105 m.
- 54VC ruido en temperatura a los 79 m.
- 59VC ruido en temperatura a los 83.5 m.
- 117VC ruidoso en temperatura a los 150-165 m y toda la resistividad.
- 485BJ ruido en temperatura y resistividad al inicio.

- 506BJ ruido en resistividad de 30 a 75 m.

En general, todos los registros presentan ruidos esporádicos, o los debidos a la sensibilidad de los detectores; el que resulten o no visibles depende de la escala de representación empleada.

En la comparación entre los registros de las diferentes campañas, se aprecian algunas anomalías que destacan especialmente:

- * 50VC : la interfase sobre los 75 m sólo resulta observable en las campañas 1, 5 y 6.
- * 59VC : se aprecia una anormal evolución tanto de resistividad como de temperatura con el tiempo.
- * 485BJ : característico ruido entre 70 y 90 m que se presenta en todas las campañas.
- * 240RM : anormal evolución de resistividad con el tiempo.
- * 244RM : anormal evolución de resistividad con el tiempo.

El tipo de ruido o anomalía que resulta más frecuente, es en el registro de temperatura, sobre todo para las campañas 5 y 6, tras la rotura de la sonda y su reparación en abril 1991.

En el ANEXO III se presentan todos los registros, clasificados por sondeos, con escalas horizontales homogéneas para cada parámetro.

En el ANEXO IV, se presentan todos los registros, clasificados por sondeos, con escalas horizontales variables de sondeo a sondeo y entre campañas, a fin de resaltar más las variaciones (aunque también queda más resaltado el ruido).

En el ANEXO V se presentan los registros de gamma natural.

6.2 FICHEROS DIGITALES

De cada registro medido y calculado se ha preparado un fichero en ASCII, con las siguientes características:

NOMENCLATURA: nombre_sondeo_parámetro.campaña
ejemplo A11_RF.AR1

es el fichero del registro de resistividad del fluido del sondeo A11, de noviembre 1989.

Las siglas de parámetros son:

RF resistividad del fluido.
TEM temperatura (TE si el nombre excede de 8 caracteres).
RC resistividad corregida a 25°C.
CN concentración de ClNa en g/l.

en la extensión campaña se utiliza: ARnº, indicándose la campaña por un número de 1 a 6.

Estos ficheros contienen en cada registro los valores:

Z V

siendo Z la profundidad de registro a partir de la superficie del suelo, con signo negativo, y V el valor del parámetro medido.

Además de los ficheros en ASCII, se proporcionan los ficheros en formato ACL, (Analytical CompuLog). Para cada sondeo y campaña hay un fichero "cabecera", en código ascii, denominado

Dx-nombre.HDR (ejemplo : D1-A11.HDR)

donde x es el número de campaña y nombre es el del sondeo.

Este fichero contiene una información básica sobre cada sondeo, del tipo:

AGUADULCE	224-RM			
0	-49.11507	120	1	1

SUPERFICIE DEL TERRENO

COMPANIA GENERAL DE SONDEOS (C.G.S.)

Compania: I.T.G.E.	Provincia: ALMERIA
Localidad: AGUADULCE	Y: 4.074.875
Coordenadas: X: 538.275	Altitud-Z (m.s.n.m.): 51,75
Profundidad: -162	
Fecha de Realizacion: 17-NOVIEMBRE-1989	

DATOS TECNICOS

Diametro del Pozo: 30	Camion: 2782
Resist. del Lodo: 0.0000E+00	Log PN: 203-1084 K1.6
Elev. del Collar: 0.0	Plot PN: 203-1084 K1.6
N. Sonda/N. Serie: 9040B/260	N. Aplicacion: 5

ESCALA DE LAS PROFUNDIDADES EN EL LOG: 1/200

metres

1	
-29.64854	
0	
4.....	numero de logs asociados a esta cabecera

RESIST. FLUIDO (ohm-m)

.3.....	extension del registro de Resistividad
0	
Y	
-52.31321	profundidad inicial
1097	numero de puntos registrados
.1	intervalo en metros entre puntos
0	15

TEMPERATURA (grado cent)

.6.....	extension del registro de temperatura
0	
Y	
-52.35846	
1095	
.1	
18	26

RESISTIVIDAD 25 GRADOS

Calc. Interval: -52.3 to -169.1151

LG(3)=LG(1)*(LG(2)+21.5)/46.5..... ecuacion empleada en el calculo

.4..... extension del registro de R25

0

Y

-52.3

1094

.1

0

15

CONCENTRACION G/L

Calc. Interval: -52.3 to -169.1151

LG(4)=EXP((LN(LG(3))-LN(4.99187))/(-0.924542))..... ecuacion de calculo

.5..... extension del registro de concentracion

0

Y

-52.3

1093

.1

0

40

A cada fichero cabecera Dx-nombre.HDR se encuentran asociados los ficheros de codificación binaria del tipo

Dx-nombre.nº (ejemplo : D1-A11.3)

donde la extensión es un número cualquiera entre el 1 y el 20, sin codificación uniforme para todos los sondeos, quedando indicado en cada fichero de cabecera a qué parámetro pertenece la extensión adjudicada. El contenido de estos ficheros son los valores Z y V de cada parámetro medido o calculado. Sólo pueden recuperarse utilizando el programa ACL.

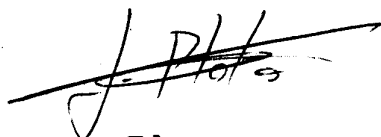
En ocasiones están presentes en estos ficheros los valores de cualquier otro de los parámetros medidos por la sonda. Sólo deben utilizarse los de la resistividad medida, temperatura, los calculados (resistividad a 25°C y concentraciones), y los de incremento de temperatura cuando existan. Los registros de gamma natural utiliza-

dos son fundamentalmente los pertenecientes a la campaña 6 (abril de 1992) y D5.

En el ANEXO I se proporciona una relación o listado de los nombres de todos los ficheros digitales proporcionados en disquete, tanto en formato ASCII, como ACL.

En el ANEXO II se proporciona una relación de los ficheros de datos que contienen los valores empleados en las tablas y gráficos de este informe.

Madrid, enero 1994



Fdo.

Juan Luis Plata Torres

Fdo.

Patricia Dominguez Prats

ANEXO I

INDICE DE FICHEROS DIGITALES

FICHEROS ASCII DE LA CAMPAÑA D1 NOVIEMBRE 1989

224RM_CN AR1	28298	24/06/93	8:58
224RM_RC AR1	28329	24/06/93	8:58
224RM_RF AR1	28188	24/06/93	8:54
224RM_TE AR1	28358	24/06/93	8:57
240RM_CN AR1	3966	28/03/93	13:26
240RM_RC AR1	3939	28/03/93	13:27
240RM_RF AR1	6458	28/03/93	13:26
240RM_TE AR1	3995	28/03/93	13:27
253RM_CN AR1	21871	21/03/93	9:02
253RM_RC AR1	21879	21/03/93	9:02
253RM_RF AR1	22053	21/03/93	9:01
253RM_TE AR1	21917	21/03/93	9:01
47VC_CN AR1	6610	21/03/93	9:04
47VC_RC AR1	6645	21/03/93	9:04
47VC_RF AR1	6655	21/03/93	9:03
47VC_TEM AR1	6711	21/03/93	9:03
50VC_CN AR1	6706	21/03/93	9:06
50VC_RC AR1	6723	21/03/93	9:06
50VC_RF AR1	6740	21/03/93	9:05
50VC_TEM AR1	6781	21/03/93	9:05
53VC_CN AR1	9329	21/03/93	9:08
53VC_RC AR1	9353	21/03/93	9:08
53VC_RF AR1	9381	21/03/93	9:07
53VC_TEM AR1	9235	21/03/93	9:07
56VC_CN AR1	9699	21/03/93	9:11
56VC_RC AR1	9705	21/03/93	9:10
56VC_RF AR1	9235	21/03/93	9:10
56VC_TEM AR1	9834	21/03/93	9:10
59VC_CN AR1	4527	21/03/93	9:12
59VC_RC AR1	4543	21/03/93	9:12
59VC_RF AR1	4590	21/03/93	9:11
59VC_TEM AR1	4661	21/03/93	9:12
63FE_CN AR1	3574	21/03/93	9:20
63FE_RC AR1	3594	21/03/93	9:20
63FE_RF AR1	3647	21/03/93	9:18
63FE_TEM AR1	3627	21/03/93	9:19
A10_CN AR1	58933	2/04/93	6:15
A10_RC AR1	58921	2/04/93	6:14
A10_RF AR1	58934	2/04/93	6:13
A10_TEM AR1	59065	2/04/93	6:14
A11_CN AR1	39166	21/03/93	8:20
A11_RC AR1	39219	21/03/93	8:20
A11_RF AR1	39251	21/03/93	8:19
A11_TEM AR1	39407	21/03/93	8:19
A3_CN AR1	26082	21/03/93	7:45
A3_RC AR1	26139	21/03/93	7:44
A3_RF AR1	26181	21/03/93	7:42
A3_TEM AR1	26329	21/03/93	7:43

A4_CN	AR1	29296	21/03/93	7:51
A4_RC	AR1	29317	21/03/93	7:50
A4_RF	AR1	29307	21/03/93	7:49
A4_TEM	AR1	29480	21/03/93	7:50
A5_CN	AR1	1373	21/03/93	7:56
A5_RC	AR1	1398	21/03/93	7:55
A5_RF	AR1	1450	21/03/93	7:54
A5_TEM	AR1	2103	21/03/93	7:55
A8_CN	AR1	32216	28/03/93	13:29
A8_RC	AR1	32232	28/03/93	13:29
A8_RF	AR1	32285	28/03/93	13:28
A8_TEM	AR1	32926	28/03/93	13:28
A9_CN	AR1	39613	28/03/93	14:16
A9_RC	AR1	39637	28/03/93	14:16
A9_RF	AR1	79271	28/03/93	14:15
A9_TEM	AR1	79512	28/03/93	14:15
B10_CN	AR1	39858	21/03/93	8:39
B10_RC	AR1	39928	21/03/93	8:38
B10_RF	AR1	40206	21/03/93	8:38
B10_TEM	AR1	39963	21/03/93	8:38
B5_CN	AR1	22186	21/03/93	8:23
B5_RC	AR1	22216	21/03/93	8:22
B5_RF	AR1	22244	21/03/93	8:21
B5_TEM	AR1	21983	21/03/93	8:22
B9A_CN	AR1	6419	21/03/93	8:28
B9A_RC	AR1	6441	21/03/93	8:29
B9A_RF	AR1	6490	21/03/93	8:25
B9A_TEM	AR1	6424	21/03/93	8:26
B9B_CN	AR1	22733	21/03/93	8:36
B9B_RC	AR1	22780	21/03/93	8:35
B9B_RF	AR1	22818	21/03/93	8:32
B9B_TEM	AR1	22783	21/03/93	8:33
M_CN	AR1	11667	21/03/93	8:41
M_RC	AR1	11717	21/03/93	8:41
M_RF	AR1	11830	21/03/93	8:40
M_TEM	AR1	11765	21/03/93	8:40
N_CN	AR1	13313	21/03/93	8:43
N_RC	AR1	13333	21/03/93	8:43
N_RF	AR1	33427	21/03/93	8:42
N_TEM	AR1	13404	21/03/93	8:42

FICHEROS ASCII DE LA CAMPAÑA D2 ABRIL 1990

112VC_CN AR2	4821	21/03/93	12:28
112VC_RC AR2	4850	21/03/93	12:28
112VC_RF AR2	4954	21/03/93	12:26
112VC_TE AR2	4862	21/03/93	12:27
14VC_CN AR2	13513	21/03/93	11:48
14VC_RC AR2	13562	21/03/93	11:48
14VC_RF AR2	27077	21/03/93	11:47
14VC_TEM AR2	13551	21/03/93	11:47
224RM_CN AR2	28423	21/03/93	11:40
224RM_RC AR2	28464	21/03/93	11:40
224RM_RF AR2	28309	21/03/93	11:39
224RM_TE AR2	28222	21/03/93	11:39
240RM_CN AR2	4014	21/03/93	11:43
240RM_RC AR2	4066	21/03/93	11:43
240RM_RF AR2	4097	21/03/93	11:42
240RM_TE AR2	4091	21/03/93	11:42
41VC_CN AR2	16008	28/03/93	13:15
41VC_RC AR2	15984	28/03/93	13:15
41VC_RF AR2	16037	28/03/93	12:56
41VC_TEM AR2	16458	28/03/93	13:14
42VC_CN AR2	11206	21/03/93	11:53
42VC_RC AR2	11243	21/03/93	11:53
42VC_RF AR2	11368	21/03/93	11:52
42VC_TEM AR2	11344	21/03/93	11:52
458BJ_CN AR2	9100	21/03/93	12:38
458BJ_RC AR2	9114	21/03/93	12:37
458BJ_RF AR2	9165	21/03/93	12:36
458BJ_TE AR2	9237	21/03/93	12:36
47VC_CN AR2	6659	21/03/93	11:55
47VC_RC AR2	6699	21/03/93	11:55
47VC_RF AR2	6761	21/03/93	11:58
47VC_TEM AR2	6728	21/03/93	12:00
485BJ_CN AR2	41248	28/03/93	12:51
485BJ_RC AR2	41311	28/03/93	12:51
485BJ_RF AR2	82751	28/03/93	12:49
485BJ_TE AR2	40994	28/03/93	12:50
486BJ_CN AR2	23946	2/04/93	6:12
486BJ_RC AR2	23941	2/04/93	6:12
486BJ_RF AR2	23905	2/04/93	6:11
486BJ_TE AR2	24093	2/04/93	6:11
50VC_CN AR2	6785	21/03/93	12:07
50VC_RC AR2	6843	21/03/93	12:06
50VC_RF AR2	6862	21/03/93	12:05
50VC_TEM AR2	6965	21/03/93	12:06
53VC_CN AR2	9678	21/03/93	12:10
53VC_RC AR2	9735	21/03/93	12:10
53VC_RF AR2	9737	21/03/93	12:09
53VC_TEM AR2	9798	21/03/93	12:10
56VC_CN AR2	4655	21/03/93	12:17

56VC_RC	AR2	4685	21/03/93	12:16
56VC_RF	AR2	4703	21/03/93	12:15
56VC_TEM	AR2	4762	21/03/93	12:15
59VC_CN	AR2	4947	21/03/93	12:23
59VC_RC	AR2	4989	21/03/93	12:22
59VC_RF	AR2	5029	21/03/93	12:20
59VC_TEM	AR2	5185	21/03/93	12:21
63FE_CN	AR2	825	21/03/93	12:35
63FE_RC	AR2	854	21/03/93	12:33
63FE_RF	AR2	1012	21/03/93	12:30
63FE_TEM	AR2	1427	21/03/93	12:31
A10_CN	AR2	112960	21/03/93	11:20
A10_RC	AR2	113034	21/03/93	11:20
A10_RF	AR2	111221	21/03/93	11:19
A10_TEM	AR2	112963	21/03/93	11:19
A11_CN	AR2	39280	21/03/93	11:22
A11_RC	AR2	39331	21/03/93	11:22
A11_RF	AR2	39369	21/03/93	11:21
A11_TEM	AR2	39311	21/03/93	11:22
A3_CN	AR2	1243	21/03/93	11:11
A3_RC	AR2	1263	21/03/93	11:10
A3_RF	AR2	1320	21/03/93	11:09
A3_TEM	AR2	1298	21/03/93	11:10
A4_CN	AR2	2562	21/03/93	11:13
A4_RC	AR2	2637	21/03/93	11:13
A4_RF	AR2	14589	21/03/93	11:12
A4_TEM	AR2	14561	21/03/93	11:12
A8_CN	AR2	31882	2/04/93	6:10
A8_RC	AR2	31928	2/04/93	6:10
A8_RF	AR2	32423	2/04/93	6:09
A8_TEM	AR2	31935	2/04/93	6:09
A9_CN	AR2	30449	21/03/93	11:18
A9_RC	AR2	30484	21/03/93	11:17
A9_RF	AR2	30582	21/03/93	11:16
A9_TEM	AR2	30534	21/03/93	11:17
B10_CN	AR2	19783	28/03/93	12:48
B10_RC	AR2	19827	28/03/93	12:47
B10_RF	AR2	39687	28/03/93	12:46
B10_TEM	AR2	39942	28/03/93	12:47
B5_CN	AR2	10863	21/03/93	11:26
B5_RC	AR2	10928	21/03/93	11:27
B5_RF	AR2	11152	21/03/93	11:24
B5_TEM	AR2	10960	21/03/93	11:25

FICHEROS ASCII DE LA CAMPAÑA D3 OCTUBRE 1990

112VC_CN AR3	4492	21/03/93	15:03
112VC_RC AR3	4517	21/03/93	15:02
112VC_RF AR3	4612	21/03/93	15:01
112VC_TE AR3	4531	21/03/93	15:01
117VC_CN AR3	27519	21/03/93	15:06
117VC_RC AR3	27582	21/03/93	15:06
117VC_RF AR3	27564	21/03/93	15:05
117VC_TE AR3	27594	21/03/93	15:07
14VC_CN AR3	13440	21/03/93	14:34
14VC_RC AR3	13464	21/03/93	14:33
14VC_RF AR3	13518	21/03/93	14:32
14VC_TEM AR3	13499	21/03/93	14:32
224RM_RF AR3	26904	3/10/93	9:06
253RM_CN AR3	10876	21/03/93	14:21
253RM_RC AR3	10958	21/03/93	14:20
253RM_RF AR3	9796	21/03/93	14:15
253RM_TE AR3	11012	21/03/93	14:18
41VC_CN AR3	13135	28/03/93	11:43
41VC_RC AR3	13206	28/03/93	11:43
41VC_RF AR3	13396	28/03/93	11:42
41VC_TEM AR3	13292	28/03/93	11:42
42VC_CN AR3	10799	21/03/93	14:39
42VC_RC AR3	10845	21/03/93	14:38
42VC_RF AR3	10841	21/03/93	14:38
42VC_TEM AR3	10877	21/03/93	14:38
458BJ_CN AR3	7899	28/03/93	11:47
458BJ_RC AR3	7946	28/03/93	11:47
458BJ_RF AR3	8102	28/03/93	11:46
458BJ_TE AR3	7981	28/03/93	11:46
46VC_CN AR3	9374	21/03/93	14:43
46VC_RC AR3	9427	21/03/93	14:42
46VC_RF AR3	18977	21/03/93	14:40
46VC_TEM AR3	9560	21/03/93	14:41
47VC_CN AR3	32472	26/03/93	3:37
47VC_RC AR3	32519	26/03/93	3:36
47VC_RF AR3	32806	26/03/93	3:35
47VC_TEM AR3	32560	26/03/93	3:36
485BJ_CN AR3	41317	28/03/93	11:40
485BJ_RC AR3	41536	28/03/93	11:40
485BJ_RF AR3	41520	28/03/93	11:39
485BJ_TE AR3	41609	28/03/93	11:39
486BJ_CN AR3	11881	21/03/93	16:12
486BJ_RC AR3	11899	21/03/93	16:11
486BJ_RF AR3	11842	21/03/93	16:10
486BJ_TE AR3	23846	21/03/93	16:11
50VC_CN AR3	6682	21/03/93	14:47
50VC_RC AR3	33489	21/03/93	14:46
50VC_RF AR3	6738	21/03/93	14:44
50VC_TEM AR3	33541	21/03/93	14:48

53VC_CN	AR3	47223	21/03/93	14:52
53VC_RC	AR3	47243	21/03/93	14:50
53VC_RF	AR3	47373	21/03/93	14:49
53VC_TEM	AR3	47328	21/03/93	14:50
56VC_CN	AR3	9881	28/03/93	12:02
56VC_RC	AR3	49654	28/03/93	12:02
56VC_RF	AR3	10043	28/03/93	12:01
56VC_TEM	AR3	49668	28/03/93	12:02
59VC_CN	AR3	23247	21/03/93	14:56
59VC_RC	AR3	23275	21/03/93	14:56
59VC_RF	AR3	23311	21/03/93	14:53
59VC_TEM	AR3	23312	21/03/93	14:55
70FE_CN	AR3	7486	21/03/93	15:14
70FE_RC	AR3	7508	21/03/93	15:15
70FE_RF	AR3	15107	21/03/93	15:13
70FE_TEM	AR3	7570	21/03/93	15:14
A10_CN	AR3	117784	2/04/93	6:18
A10_RC	AR3	117805	2/04/93	6:17
A10_RF	AR3	117928	2/04/93	6:16
A10_TEM	AR3	117954	2/04/93	6:17
A11_CN	AR3	38970	21/03/93	13:59
A11_RC	AR3	38876	21/03/93	13:58
A11_RF	AR3	38807	21/03/93	13:57
A11_TEM	AR3	37335	21/03/93	13:58
A3_CN	AR3	1917	21/03/93	13:26
A3_RC	AR3	1944	21/03/93	13:25
A3_RF	AR3	2022	21/03/93	13:24
A3_TEM	AR3	1938	21/03/93	13:25
A4_CN	AR3	14447	21/03/93	13:28
A4_RC	AR3	14498	21/03/93	13:27
A4_RF	AR3	14521	21/03/93	13:27
A4_TEM	AR3	14529	21/03/93	13:27
A5_CN	AR3	5017	21/03/93	13:30
A5_RC	AR3	5045	21/03/93	13:30
A5_RF	AR3	5100	21/03/93	13:29
A5_TEM	AR3	5130	21/03/93	13:29
A8_CN	AR3	31325	21/03/93	13:34
A8_RC	AR3	31417	21/03/93	13:34
A8_RF	AR3	31402	21/03/93	13:33
A8_TEM	AR3	32142	21/03/93	13:33
A9_CN	AR3	39340	21/03/93	13:49
A9_LN	AR3	79010	21/03/93	13:46
A9_RC	AR3	39404	21/03/93	13:48
A9_TEM	AR3	39134	21/03/93	13:47
B10_CN	AR3	19150	2/04/93	6:20
B10_RC	AR3	19165	2/04/93	6:20
B10_RF	AR3	37712	2/04/93	6:19
B10_TEM	AR3	19192	2/04/93	6:19
B5_CN	AR3	10949	21/03/93	14:09
B5_RC	AR3	10973	21/03/93	14:08
B5_RF	AR3	11070	21/03/93	14:06
B5_TEM	AR3	10992	21/03/93	14:06

M_CN	AR3	11518	14/02/94	16:09
M_RC	AR3	11543	21/03/93	14:13
M_RF	AR3	23199	21/03/93	14:12
M_TEM	AR3	11520	21/03/93	14:12

FICHEROS ASCII DE LA CAMPAÑA D4 ABRIL 1991

112VC_CN AR4	2878	21/03/93	19:44
112VC_RC AR4	2929	21/03/93	19:43
112VC_RF AR4	3021	21/03/93	19:43
112VC_TE AR4	3263	21/03/93	19:43
117VC_CN AR4	31791	21/03/93	19:46
117VC_RC AR4	31853	21/03/93	19:46
117VC_RF AR4	32000	21/03/93	19:45
117VC_TE AR4	32167	21/03/93	19:46
14VC_CN AR4	16546	21/03/93	18:42
14VC_RC AR4	16555	21/03/93	18:41
14VC_RF AR4	16557	21/03/93	18:40
14VC_TEM AR4	16909	21/03/93	18:41
224RM_CN AR4	17597	21/03/93	18:21
224RM_RC AR4	17652	21/03/93	18:20
224RM_RF AR4	17739	21/03/93	18:19
224RM_TE AR4	18005	21/03/93	18:20
240RM_CN AR4	2024	21/03/93	18:24
240RM_RC AR4	2049	21/03/93	18:23
240RM_RF AR4	2061	21/03/93	18:22
240RM_TE AR4	2329	21/03/93	18:23
244RM_CN AR4	14065	21/03/93	18:33
244RM_RC AR4	14106	21/03/93	18:33
244RM_RF AR4	14067	21/03/93	18:27
244RM_TE AR4	14461	21/03/93	18:31
253RM_CN AR4	14056	21/03/93	18:39
253RM_RC AR4	14075	21/03/93	18:38
253RM_RF AR4	14080	21/03/93	18:35
253RM_TE AR4	14618	21/03/93	18:37
37VC_CN AR4	2879	21/03/93	18:45
37VC_RC AR4	2926	21/03/93	18:45
37VC_RF AR4	2948	21/03/93	18:44
37VC_TEM AR4	3265	21/03/93	18:44
41VC_CN AR4	19582	21/03/93	18:49
41VC_RC AR4	19599	21/03/93	18:49
41VC_RF AR4	19558	21/03/93	18:48
41VC_TEM AR4	19930	21/03/93	18:48
42VC_CN AR4	6810	21/03/93	18:52
42VC_RC AR4	6834	21/03/93	18:51
42VC_RF AR4	6949	21/03/93	18:50
42VC_TEM AR4	7167	21/03/93	18:51
458BJ_CN AR4	5004	21/03/93	20:12
458BJ_RC AR4	5028	21/03/93	20:11
458BJ_RF AR4	5063	21/03/93	20:11
458BJ_TE AR4	5325	21/03/93	20:11
47VC_CN AR4	4063	21/03/93	18:53
47VC_RC AR4	4092	21/03/93	18:54
47VC_RF AR4	4103	21/03/93	18:53
47VC_TEM AR4	4478	21/03/93	18:53

485BJ_CN	AR4	50023	21/03/93	20:15
485BJ_RC	AR4	50051	21/03/93	20:14
485BJ_RF	AR4	51231	21/03/93	20:13
485BJ_TE	AR4	50261	21/03/93	20:14
486BJ_CN	AR4	14145	21/03/93	20:34
486BJ_RC	AR4	14161	21/03/93	20:33
486BJ_RF	AR4	14154	21/03/93	20:31
486BJ_TE	AR4	14480	21/03/93	20:32
506BJ_CN	AR4	32105	21/03/93	20:44
506BJ_RC	AR4	31970	21/03/93	20:43
506BJ_RF	AR4	31996	21/03/93	20:36
506BJ_TE	AR4	32351	21/03/93	20:43
50VC_CN	AR4	4295	21/03/93	19:13
50VC_RC	AR4	4357	21/03/93	19:13
50VC_RF	AR4	4369	21/03/93	19:00
50VC_TEM	AR4	4712	21/03/93	19:12
53VC_CN	AR4	6001	21/03/93	19:19
53VC_RC	AR4	6024	21/03/93	19:19
53VC_RF	AR4	6190	21/03/93	19:18
53VC_TEM	AR4	6369	21/03/93	19:19
54VC_CN	AR4	6052	21/03/93	19:28
54VC_RC	AR4	6081	21/03/93	19:26
54VC_RF	AR4	6167	21/03/93	19:24
54VC_TEM	AR4	6464	21/03/93	19:26
56VC_CN	AR4	6390	21/03/93	19:35
56VC_RC	AR4	6424	21/03/93	19:34
56VC_RF	AR4	6445	21/03/93	19:33
56VC_TEM	AR4	6761	21/03/93	19:34
59VC_CN	AR4	3029	21/03/93	19:39
59VC_RC	AR4	3058	21/03/93	19:39
59VC_RF	AR4	3176	21/03/93	19:38
59VC_TEM	AR4	3394	21/03/93	19:38
A10_CN	AR4	70765	21/03/93	17:17
A10_RC	AR4	70811	21/03/93	17:17
A10_RF	AR4	70636	21/03/93	17:16
A10_TEM	AR4	71190	21/03/93	17:16
A11_CN	AR4	48994	21/03/93	17:19
A11_RC	AR4	48935	21/03/93	17:19
A11_RF	AR4	49067	21/03/93	17:18
A11_TEM	AR4	48681	21/03/93	17:19
A3_CN	AR4	1060	21/03/93	16:36
A3_RC	AR4	1087	21/03/93	16:36
A3_RF	AR4	1415	21/03/93	16:32
A3_TEM	AR4	1419	21/03/93	16:35
A4_CN	AR4	17772	21/03/93	16:57
A4_RC	AR4	17822	21/03/93	16:46
A4_RF	AR4	17803	21/03/93	16:45
A4_TEM	AR4	18095	21/03/93	16:45
A5_CN	AR4	594	21/03/93	17:03
A5_RC	AR4	622	21/03/93	17:02
A5_RF	AR4	690	21/03/93	17:01
A5_TEM	AR4	958	21/03/93	17:01

A8_CN	AR4	19411	21/03/93	17:08
A8_RC	AR4	19446	21/03/93	17:06
A8_RF	AR4	19664	21/03/93	17:04
A8_TEM	AR4	19755	21/03/93	17:06
A9_CN	AR4	30329	21/03/93	17:15
A9_RC	AR4	30354	21/03/93	17:14
A9_RF	AR4	30514	21/03/93	17:13
A9_TEM	AR4	30662	21/03/93	17:14
B10_CN	AR4	24057	22/11/93	17:31
B10_RC	AR4	24107	22/11/93	17:31
B10_RF	AR4	24091	22/11/93	17:30
B10_TEM	AR4	24486	22/11/93	17:30
B5_CN	AR4	13634	21/03/93	17:22
B5_RC	AR4	13671	21/03/93	17:22
B5_RF	AR4	13590	21/03/93	17:21
B5_TEM	AR4	14026	21/03/93	17:21
B9A_CN	AR4	7952	21/03/93	17:26
B9A_RC	AR4	7966	21/03/93	17:25
B9A_RF	AR4	8212	21/03/93	17:24
B9A_TEM	AR4	8336	21/03/93	17:25
B9B_CN	AR4	27599	21/03/93	17:31
B9B_RC	AR4	27611	21/03/93	17:30
B9B_RF	AR4	27594	21/03/93	17:29
B9B_TEM	AR4	27907	21/03/93	17:30
M_CN	AR4	7076	21/03/93	17:48
M_RC	AR4	7092	21/03/93	17:48
M_RF	AR4	7149	21/03/93	17:47
M_TEM	AR4	7432	21/03/93	17:47
N_CN	AR4	7800	21/03/93	17:50
N_RC	AR4	7821	21/03/93	17:50
N_RF	AR4	7853	21/03/93	17:49
N_TEM	AR4	8186	21/03/93	17:49

FICHEROS ASCII DE LA CAMPAÑA D5 NOVIEMBRE 1991

112VC_CN AR5	3187	21/03/93	23:27
112VC_RC AR5	3234	21/03/93	23:27
112VC_RF AR5	3218	21/03/93	23:26
112VC_TE AR5	3628	21/03/93	23:26
14VC_CN AR5	17049	21/03/93	23:00
14VC_RC AR5	17103	21/03/93	22:59
14VC_RF AR5	16939	21/03/93	22:58
14VC_TEM AR5	17334	21/03/93	22:59
224RM_CN AR5	16476	21/03/93	22:29
224RM_RC AR5	16523	21/03/93	22:28
224RM_RF AR5	16418	21/03/93	22:27
224RM_TE AR5	16741	21/03/93	22:28
240RM_CN AR5	1842	21/03/93	22:35
240RM_RC AR5	1867	21/03/93	22:32
240RM_RF AR5	1874	21/03/93	22:30
240RM_TE AR5	2358	21/03/93	22:31
244RM_CN AR5	14105	21/03/93	22:37
244RM_RC AR5	14149	21/03/93	22:37
244RM_RF AR5	14102	21/03/93	22:36
244RM_TE AR5	14395	21/03/93	22:37
253RM_CN AR5	13704	21/03/93	22:52
253RM_RC AR5	13745	21/03/93	22:51
253RM_RF AR5	13580	21/03/93	22:41
253RM_TE AR5	14155	21/03/93	22:50
37VC_CN AR5	3562	21/03/93	23:05
37VC_RC AR5	3626	21/03/93	23:05
37VC_RF AR5	3711	21/03/93	23:03
37VC_TEM AR5	3642	21/03/93	23:04
41VC_CN AR5	9095	21/03/93	23:08
41VC_RC AR5	9142	21/03/93	23:07
41VC_RF AR5	9048	21/03/93	23:06
41VC_TEM AR5	9171	21/03/93	23:07
42VC_CN AR5	6845	21/03/93	23:15
42VC_RC AR5	6887	21/03/93	23:12
42VC_RF AR5	6868	21/03/93	23:11
42VC_TEM AR5	7013	21/03/93	23:12
47VC_CN AR5	3728	21/03/93	23:18
47VC_RC AR5	3779	21/03/93	23:17
47VC_RF AR5	3861	21/03/93	23:16
47VC_TEM AR5	4094	21/03/93	23:16
50VC_CN AR5	4101	24/06/93	9:04
50VC_RC AR5	4141	24/06/93	9:03
50VC_RF AR5	4107	24/06/93	9:02
50VC_TEM AR5	4455	24/06/93	9:03
53VC_CN AR5	6039	21/03/93	23:21
53VC_RC AR5	6062	21/03/93	23:20
53VC_RF AR5	6086	21/03/93	23:19
53VC_TEM AR5	6385	21/03/93	23:20

54VC_CN	AR5	6327	25/06/93	13:01
54VC_RC	AR5	6344	25/06/93	13:01
54VC_RF	AR5	6322	25/06/93	13:00
54VC_TEM	AR5	6625	25/06/93	13:00
56VC_CN	AR5	6217	25/06/93	12:59
56VC_RC	AR5	6257	25/06/93	12:57
56VC_RF	AR5	6131	25/06/93	12:54
56VC_TEM	AR5	6608	25/06/93	12:56
59VC_CN	AR5	3130	21/03/93	23:25
59VC_RC	AR5	3160	21/03/93	23:24
59VC_RF	AR5	3191	21/03/93	23:23
59VC_TEM	AR5	3472	21/03/93	23:24
A10_CN	AR5	70851	21/03/93	22:02
A10_RC	AR5	70935	21/03/93	22:01
A10_RF	AR5	69856	21/03/93	22:00
A10_TEM	AR5	70939	21/03/93	22:01
A11_CN	AR5	49630	21/03/93	22:13
A11_RC	AR5	49667	21/03/93	22:13
A11_RF	AR5	49015	21/03/93	22:06
A11_TEM	AR5	49723	21/03/93	22:07
A3_CN	AR5	1240	21/03/93	21:45
A3_RC	AR5	1291	21/03/93	21:45
A3_RF	AR5	1336	21/03/93	21:27
A3_TEM	AR5	1320	21/03/93	21:44
A4_CN	AR5	17965	21/03/93	21:47
A4_RC	AR5	17972	21/03/93	21:47
A4_RF	AR5	17994	21/03/93	21:46
A4_TEM	AR5	18225	21/03/93	21:47
A5_CN	AR5	595	21/03/93	21:54
A5_RC	AR5	643	21/03/93	21:51
A5_RF	AR5	699	21/03/93	21:51
A5_TEM	AR5	984	21/03/93	21:51
A8_CN	AR5	19970	21/03/93	21:57
A8_RC	AR5	20000	21/03/93	21:57
A8_RF	AR5	19936	21/03/93	21:56
A8_TEM	AR5	20235	21/03/93	21:56
A9_CN	AR5	38021	21/03/93	21:59
A9_RC	AR5	38069	21/03/93	21:59
A9_RF	AR5	37843	21/03/93	21:58
A9_TEM	AR5	38200	21/03/93	21:58
M_CN	AR5	7217	30/03/93	19:50
M_RC	AR5	7268	21/03/93	22:15
M_RF	AR5	7243	21/03/93	22:14
M_TEM	AR5	7593	21/03/93	22:14
N_CN	AR5	7975	21/03/93	22:20
N_RC	AR5	8005	21/03/93	22:21
N_RF	AR5	8014	21/03/93	22:17
N_TEM	AR5	8276	21/03/93	22:17

FICHEROS ASCII DE LA CAMPAÑA D6 ABRIL 1992

112VC_CN AR6	3023	22/03/93	19:38
112VC_RC AR6	3061	22/03/93	19:34
112VC_RF AR6	3052	22/03/93	19:32
112VC_TE AR6	3414	22/03/93	19:33
117VC_CN AR6	33355	25/03/93	15:51
117VC_RC AR6	33392	25/03/93	15:50
117VC_RF AR6	33642	25/03/93	15:49
117VC_TE AR6	33577	25/03/93	15:50
14VC_CN AR6	16881	22/03/93	18:38
14VC_RC AR6	16918	22/03/93	18:42
14VC_RF AR6	16821	22/03/93	18:39
14VC_TEM AR6	17229	22/03/93	18:36
224RM_CN AR6	16146	22/03/93	10:45
224RM_RC AR6	16154	22/03/93	10:44
224RM_RF AR6	16080	22/03/93	10:43
224RM_TE AR6	16419	22/03/93	10:44
240RM_CN AR6	2022	22/03/93	10:47
240RM_RC AR6	2049	22/03/93	10:46
240RM_RF AR6	2095	22/03/93	10:46
240RM_TE AR6	2485	22/03/93	10:48
244RM_CN AR6	14447	25/03/93	15:49
244RM_RC AR6	14497	25/03/93	15:48
244RM_RF AR6	14405	25/03/93	15:47
244RM_TE AR6	14875	25/03/93	15:48
252RM_CN AR6	4842	22/03/93	10:52
252RM_RC AR6	4883	22/03/93	10:52
252RM_RF AR6	4858	22/03/93	10:51
252RM_TE AR6	5385	22/03/93	10:51
253RM_CN AR6	13452	22/03/93	10:56
253RM_RC AR6	13488	22/03/93	10:56
253RM_RF AR6	13392	22/03/93	10:55
253RM_TE AR6	13802	22/03/93	10:56
37VC_CN AR6	2972	22/03/93	18:45
37VC_RC AR6	3035	22/03/93	18:44
37VC_RF AR6	3357	22/03/93	18:43
37VC_TEM AR6	3343	22/03/93	18:44
41VC_CN AR6	6649	22/03/93	18:47
41VC_RC AR6	6701	22/03/93	18:47
41VC_RF AR6	6760	22/03/93	18:46
41VC_TEM AR6	7069	22/03/93	18:47
42VC_CN AR6	6653	22/03/93	18:49
42VC_RC AR6	6682	22/03/93	18:49
42VC_RF AR6	6694	22/03/93	18:48
42VC_TEM AR6	6647	22/03/93	18:49
47VC_CN AR6	3938	22/03/93	18:54
47VC_RC AR6	3958	22/03/93	18:53
47VC_RF AR6	3979	22/03/93	18:51
47VC_TEM AR6	4219	22/03/93	18:52

485BJ_CN	AR6	41332	25/03/93	15:59
485BJ_RC	AR6	41390	25/03/93	15:58
485BJ_RF	AR6	41453	25/03/93	15:57
485BJ_TE	AR6	41560	25/03/93	15:57
486BJ_CN	AR6	12585	25/03/93	16:01
486BJ_RC	AR6	12631	25/03/93	16:01
486BJ_RF	AR6	12716	25/03/93	16:00
486BJ_TE	AR6	12878	25/03/93	16:00
506BJ_CN	AR6	25925	25/03/93	16:04
506BJ_RC	AR6	25983	25/03/93	16:04
506BJ_RF	AR6	26008	25/03/93	16:03
506BJ_TE	AR6	26309	25/03/93	16:03
50VC_CN	AR6	4134	22/03/93	19:05
50VC_RC	AR6	4166	22/03/93	19:04
50VC_RF	AR6	4183	22/03/93	18:56
50VC_TEM	AR6	4509	22/03/93	19:04
53VC_CN	AR6	5950	22/03/93	19:09
53VC_RC	AR6	5978	22/03/93	19:09
53VC_RF	AR6	5964	22/03/93	19:08
53VC_TEM	AR6	6444	22/03/93	19:08
54VC_CN	AR6	6373	22/03/93	19:17
54VC_RC	AR6	6402	22/03/93	19:17
54VC_RF	AR6	6416	22/03/93	19:16
54VC_TEM	AR6	6684	22/03/93	19:16
56VC_CN	AR6	6205	22/03/93	19:28
56VC_RC	AR6	6248	22/03/93	19:27
56VC_RF	AR6	6247	22/03/93	19:23
56VC_TEM	AR6	6628	22/03/93	19:26
59VC_CN	AR6	3157	22/03/93	19:30
59VC_RC	AR6	3189	22/03/93	19:30
59VC_RF	AR6	3252	22/03/93	19:28
59VC_TEM	AR6	3648	22/03/93	19:29
6RM_CN	AR6	2588	22/03/93	10:42
6RM_RC	AR6	2640	22/03/93	10:39
6RM_RF	AR6	2973	22/03/93	10:38
6RM_TEM	AR6	2673	22/03/93	10:38
A10_CN	AR6	70635	25/06/93	13:11
A10_RC	AR6	70657	25/06/93	13:10
A10_RF	AR6	69997	18/05/93	11:48
A10_TEM	AR6	70739	25/06/93	13:06
A11_CN	AR6	48936	22/03/93	10:28
A11_RC	AR6	48993	22/03/93	10:28
A11_RF	AR6	48303	22/03/93	10:27
A11_TEM	AR6	49132	22/03/93	10:27
A4_CN	AR6	17850	22/03/93	4:26
A4_RC	AR6	17877	22/03/93	4:25
A4_RF	AR6	17664	22/03/93	4:24
A4_TEM	AR6	18332	22/03/93	4:24
A8_CN	AR6	15382	22/03/93	4:31
A8_RC	AR6	15399	22/03/93	4:28
A8_RF	AR6	15514	22/03/93	4:26
A8_TEM	AR6	15688	22/03/93	4:28

A9_CN	AR6	35619	22/03/93	10:25
A9_RC	AR6	35696	22/03/93	10:25
A9_RF	AR6	35640	22/03/93	4:32
A9_TEM	AR6	35904	22/03/93	10:24
B10_CN	AR6	196508	1/07/93	11:31
B10_RC	AR6	195875	1/07/93	11:30
B10_RF	AR6	167441	1/07/93	11:28
B10_TEM	AR6	173821	1/07/93	11:29
B5_CN	AR6	11026	25/03/93	15:42
B5_RC	AR6	11055	25/03/93	15:42
B5_RF	AR6	11082	25/03/93	15:41
B5_TEM	AR6	11060	25/03/93	15:41
B9A_CN	AR6	6418	25/03/93	15:44
B9A_RC	AR6	6437	25/03/93	15:44
B9A_RF	AR6	6453	25/03/93	15:43
B9A_TEM	AR6	6467	25/03/93	15:43
B9B_CN	AR6	21825	25/03/93	15:46
B9B_RC	AR6	21821	25/03/93	15:45
B9B_RF	AR6	21961	25/03/93	15:45
B9B_TEM	AR6	22002	25/03/93	15:45
M_CN	AR6	6995	22/03/93	10:31
M_RC	AR6	7047	22/03/93	10:30
M_RF	AR6	7089	22/03/93	10:29
M_TEM	AR6	7641	22/03/93	10:30
N_CN	AR6	8087	22/03/93	10:33
N_RC	AR6	8108	22/03/93	10:33
N_RF	AR6	8016	22/03/93	10:32
N_TEM	AR6	8411	22/03/93	10:32

FICHEROS ASCII DE GAMMA NATURAL

112VC_GN	AR6	3467	25/03/93	22:05
117VC_GN	AR6	33552	25/03/93	20:52
14VC_GN	AR6	17438	25/03/93	21:58
224RM_GN	AR6	16779	25/03/93	21:56
240RM_GN	AR6	2523	25/03/93	21:57
244RM_GN	AR6	14960	25/03/93	20:51
252RM_GN	AR6	5419	25/03/93	21:57
253RM_GN	AR6	13985	25/03/93	21:58
37VC_GN	AR6	3387	25/03/93	21:59
41VC_GN	AR6	6982	25/03/93	22:00
42VC_GN	AR6	7034	25/03/93	22:00
47VC_GN	AR6	4264	25/03/93	22:01
485BJ_GN	AR6	41595	25/03/93	20:53
486BJ_GN	AR6	12936	25/03/93	20:54
506BJ_GN	AR6	32434	25/03/93	20:55
50VC_GN	AR6	4589	25/03/93	22:02
53VC_GN	AR6	6487	25/03/93	22:02
54VC_GN	AR6	6758	25/03/93	22:03
56VC_GN	AR6	6628	25/03/93	22:03
59VC_GN	AR6	3693	25/03/93	22:04
6RM_GN	AR6	2772	25/03/93	21:56
A10_GN	AR6	70558	25/03/93	21:53
A11_GN	AR6	49359	25/03/93	21:54
A3_GN	AR5	1346	25/03/93	21:06
A4_GN	AR6	18396	25/03/93	21:51
A5_GN	AR5	1007	25/03/93	21:07
A8_GN	AR6	15791	25/03/93	21:52
A9_GN	AR6	35941	25/03/93	21:52
B10_GN	AR4	23957	15/02/94	9:39
B5_GN	AR6	14165	25/03/93	20:47
B9A_GN	AR6	6520	25/03/93	20:50
B9B_GN	AR6	22051	25/03/93	20:51
M_GN	AR6	7703	25/03/93	21:55
N_GN	AR6	8438	25/03/93	21:55

FICHEROS ACL DE LA CAMPAÑA D1 NOVIEMBRE 1989

D1-224RM 3	4400	4/04/93	11:15
D1-224RM 4	4400	4/04/93	11:15
D1-224RM 5	4400	4/04/93	11:15
D1-224RM 6	4400	4/04/93	11:15
D1-224RM HDR	1378	23/02/94	13:54
D1-240RM 5	640	4/04/93	10:36
D1-240RM 7	1000	4/04/93	10:36
D1-240RM 8	640	4/04/93	10:36
D1-240RM 9	640	4/04/93	10:36
D1-240RM HDR	1553	23/02/94	17:43
D1-253RM 1	3400	4/04/93	10:41
D1-253RM 2	3400	4/04/93	10:41
D1-253RM 4	3400	4/04/93	10:41
D1-253RM 5	3400	4/04/93	10:41
D1-253RM HDR	2199	23/02/94	17:46
D1-47VC 3	1040	4/04/93	11:13
D1-47VC 4	1040	4/04/93	11:13
D1-47VC 5	1040	4/04/93	11:13
D1-47VC 6	1040	4/04/93	11:13
D1-47VC HDR	2111	23/02/94	17:48
D1-50VC 1	1080	4/04/93	10:44
D1-50VC 2	1040	4/04/93	10:44
D1-50VC 3	1040	4/04/93	10:44
D1-50VC 4	1080	4/04/93	10:44
D1-50VC HDR	2208	23/02/94	17:50
D1-53VC 1	1480	4/04/93	10:46
D1-53VC 2	1440	4/04/93	10:46
D1-53VC 3	1480	4/04/93	10:46
D1-53VC 4	1480	4/04/93	10:46
D1-53VC HDR	2202	23/02/94	17:52
D1-56VC 3	1520	4/04/93	10:49
D1-56VC 4	1520	4/04/93	10:49
D1-56VC 5	1520	4/04/93	10:49
D1-56VC 6	1520	4/04/93	10:49
D1-56VC HDR	2104	23/02/94	17:54
D1-59VC 3	720	4/04/93	10:52
D1-59VC 4	720	4/04/93	10:52
D1-59VC 5	720	4/04/93	10:52
D1-59VC 6	720	4/04/93	10:52
D1-59VC HDR	1369	23/02/94	17:57
D1-63FE 3	560	4/04/93	11:06
D1-63FE 4	600	4/04/93	11:06
D1-63FE 5	560	4/04/93	11:06
D1-63FE 6	560	4/04/93	11:06
D1-63FE HDR	1380	23/02/94	17:58
D1-A10 3	9120	4/04/93	11:19
D1-A10 4	9120	4/04/93	11:19
D1-A10 5	9120	4/04/93	11:18

D1-A10	6	9160	4/04/93	11:19
D1-A10	HDR	2641	23/02/94	18:00
D1-A11	3	6080	4/04/93	11:09
D1-A11	4	6080	4/04/93	11:09
D1-A11	5	6080	4/04/93	11:09
D1-A11	6	6080	4/04/93	11:09
D1-A11	HDR	2115	23/02/94	18:01
D1-A3	3	4080	4/04/93	10:11
D1-A3	4	4040	4/04/93	10:11
D1-A3	5	4040	4/04/93	10:11
D1-A3	6	4080	4/04/93	10:11
D1-A3	HDR	2112	23/02/94	18:02
D1-A4	3	4560	4/04/93	10:13
D1-A4	4	4560	4/04/93	10:13
D1-A4	5	4560	4/04/93	10:13
D1-A4	6	4560	4/04/93	10:14
D1-A4	HDR	2104	23/02/94	18:03
D1-A5	3	240	4/04/93	10:20
D1-A5	4	240	4/04/93	10:20
D1-A5	5	360	4/04/93	10:20
D1-A5	6	240	4/04/93	10:20
D1-A5	HDR	1370	23/02/94	18:04
D1-A8	10	5000	4/04/93	10:24
D1-A8	6	5080	4/04/93	10:24
D1-A8	8	5000	4/04/93	10:24
D1-A8	9	5000	4/04/93	10:24
D1-A8	HDR	2067	23/02/94	18:06
D1-A9	1	12280	4/04/93	10:07
D1-A9	5	12280	5/04/93	20:24
D1-A9	6	6160	5/04/93	20:24
D1-A9	7	6120	5/04/93	20:24
D1-A9	HDR	2259	23/02/94	18:06
D1-B10	1	6200	4/04/93	11:22
D1-B10	2	6200	4/04/93	11:22
D1-B10	3	6160	4/04/93	11:22
D1-B10	4	6200	4/04/93	11:22
D1-B10	HDR	2210	23/02/94	18:07
D1-B5	3	3440	4/04/93	10:27
D1-B5	4	3440	4/04/93	10:27
D1-B5	5	3440	4/04/93	10:27
D1-B5	6	3440	4/04/93	10:27
D1-B5	HDR	2123	23/02/94	18:08
D1-B9A	3	1000	4/04/93	10:30
D1-B9A	4	1000	4/04/93	10:30
D1-B9A	5	1000	4/04/93	10:30
D1-B9A	6	1000	4/04/93	10:30
D1-B9A	HDR	2128	23/02/94	18:09
D1-B9B	3	3560	4/04/93	10:33
D1-B9B	4	3520	4/04/93	10:33
D1-B9B	5	3520	4/04/93	10:33
D1-B9B	6	3560	4/04/93	10:33
D1-B9B	HDR	2130	23/02/94	18:10

D1-M	1	1840	4/04/93	11:33
D1-M	2	1840	4/04/93	11:33
D1-M	3	1840	4/04/93	11:33
D1-M	4	1840	4/04/93	11:33
D1-M	HDR	2263	23/02/94	18:11
D1-N	2	2080	5/04/93	20:26
D1-N	3	5200	4/04/93	10:02
D1-N	4	2080	5/04/93	20:26
D1-N	5	2080	5/04/93	20:26
D1-N	HDR	2110	23/02/94	18:12

FICHEROS ACL DE LA CAMPAÑA D2 ABRIL 1990

D2-112VC 1	760	4/04/93	12:31
D2-112VC 2	800	4/04/93	12:31
D2-112VC 3	760	4/04/93	12:31
D2-112VC 4	760	4/04/93	12:31
D2-112VC HDR	2302	23/02/94	18:20
D2-14VC 3	4200	4/04/93	12:22
D2-14VC 4	2120	4/04/93	12:22
D2-14VC 5	2120	4/04/93	12:22
D2-14VC 6	2120	4/04/93	12:22
D2-14VC HDR	2111	23/02/94	18:21
D2-224RM 3	4400	4/04/93	12:16
D2-224RM 4	4400	4/04/93	12:16
D2-224RM 6	4400	4/04/93	12:16
D2-224RM 7	4440	4/04/93	12:16
D2-224RM HDR	1515	23/02/94	18:22
D2-240RM 1	640	4/04/93	12:53
D2-240RM 2	640	4/04/93	12:53
D2-240RM 3	640	4/04/93	12:53
D2-240RM 4	640	4/04/93	12:53
D2-240RM HDR	2213	23/02/94	18:23
D2-41VC 5	2560	4/04/93	12:58
D2-41VC 7	2480	4/04/93	12:58
D2-41VC 8	2480	4/04/93	12:58
D2-41VC 9	2480	4/04/93	12:58
D2-41VC HDR	2101	23/02/94	18:24
D2-42VC 1	1760	4/04/93	13:02
D2-42VC 2	1760	4/04/93	13:02
D2-42VC 3	1760	4/04/93	13:02
D2-42VC 4	1760	4/04/93	13:02
D2-42VC HDR	2236	23/02/94	18:25
D2-458BJ 3	1440	4/04/93	13:37
D2-458BJ 4	1440	4/04/93	13:37
D2-458BJ 5	1440	4/04/93	13:37
D2-458BJ 6	1440	4/04/93	13:37
D2-458BJ HDR	1522	23/02/94	18:27
D2-47VC 3	1040	4/04/93	13:42
D2-47VC 4	1080	4/04/93	13:42
D2-47VC 5	1040	4/04/93	13:42
D2-47VC 6	1040	4/04/93	13:42
D2-47VC HDR	1367	23/02/94	18:28
D2-485BJ 5	6400	4/04/93	12:27
D2-485BJ 6	12800	4/04/93	12:27
D2-485BJ 8	6400	4/04/93	12:27
D2-485BJ 9	6400	4/04/93	12:28
D2-485BJ HDR	2163	23/02/94	18:29
D2-486BJ 6	3720	4/04/93	15:05
D2-486BJ 7	3720	4/04/93	15:05
D2-486BJ 8	3720	4/04/93	15:05

D2-486BJ	9	3720	4/04/93	15:05
D2-486BJ	HDR	2229	23/02/94	18:30
D2-50VC	3	1080	4/04/93	13:06
D2-50VC	4	1080	4/04/93	13:06
D2-50VC	5	1080	4/04/93	13:06
D2-50VC	6	1080	4/04/93	13:06
D2-50VC	HDR	1369	23/02/94	18:30
D2-53VC	3	1520	4/04/93	11:41
D2-53VC	4	1520	4/04/93	11:41
D2-53VC	5	1520	4/04/93	11:41
D2-53VC	6	1520	4/04/93	11:42
D2-53VC	HDR	1365	23/02/94	18:31
D2-56VC	1	760	4/04/93	14:45
D2-56VC	2	760	4/04/93	14:45
D2-56VC	3	760	4/04/93	14:45
D2-56VC	4	720	4/04/93	14:45
D2-56VC	HDR	2213	23/02/94	18:32
D2-59VC	3	800	4/04/93	13:59
D2-59VC	4	800	4/04/93	13:59
D2-59VC	5	800	4/04/93	13:59
D2-59VC	6	800	4/04/93	13:59
D2-59VC	HDR	1368	23/02/94	18:33
D2-63FE	1	160	4/04/93	14:57
D2-63FE	2	240	4/04/93	14:57
D2-63FE	3	160	4/04/93	14:57
D2-63FE	4	160	4/04/93	14:57
D2-63FE	HDR	2196	23/02/94	18:33
D2-A10	4	17480	4/04/93	12:08
D2-A10	5	17200	4/04/93	12:08
D2-A10	6	17480	4/04/93	12:08
D2-A10	7	17440	4/04/93	12:08
D2-A10	HDR	1515	23/02/94	18:34
D2-A11	3	6080	4/04/93	14:20
D2-A11	4	6080	4/04/93	14:20
D2-A11	5	6080	4/04/93	14:20
D2-A11	6	6080	4/04/93	14:20
D2-A11	HDR	2117	23/02/94	18:34
D2-A3	1	240	4/04/93	15:01
D2-A3	2	200	4/04/93	15:01
D2-A3	3	200	4/04/93	15:01
D2-A3	4	200	4/04/93	15:01
D2-A3	HDR	2311	23/02/94	18:35
D2-A4	3	2280	4/04/93	14:33
D2-A4	4	2280	4/04/93	14:33
D2-A4	5	2240	4/04/93	14:33
D2-A4	6	2280	4/04/93	14:33
D2-A4	HDR	2326	23/02/94	18:35
D2-A8	6	4960	4/04/93	11:57
D2-A8	7	5040	4/04/93	11:56
D2-A8	8	4960	4/04/93	11:57
D2-A8	9	4960	4/04/93	11:57
D2-A8	HDR	1603	23/02/94	18:36

D2-A9	3	4760	4/04/93	14:52
D2-A9	4	4720	4/04/93	14:52
D2-A9	5	4720	4/04/93	14:52
D2-A9	6	4720	4/04/93	14:52
D2-A9	HDR	2118	23/02/94	18:36
D2-B10	6	6200	4/04/93	11:49
D2-B10	7	6160	4/04/93	11:49
D2-B10	8	3080	4/04/93	11:49
D2-B10	9	3080	4/04/93	11:49
D2-B10	HDR	2124	23/02/94	18:37
D2-B5	3	1720	4/04/93	14:27
D2-B5	4	1760	4/04/93	14:27
D2-B5	5	1720	4/04/93	14:27
D2-B5	6	1680	4/04/93	14:27
D2-B5	HDR	2112	23/02/94	18:37

FICHEROS ACL DE LA CAMPAÑA D3 OCTUBRE 1990

D3-112VC 3	720	4/04/93	18:34
D3-112VC 4	720	4/04/93	18:34
D3-112VC 5	720	4/04/93	18:34
D3-112VC 6	720	4/04/93	18:34
D3-112VC HDR	1441	23/02/94	18:41
D3-117VC 3	4280	4/04/93	17:39
D3-117VC 4	4280	4/04/93	17:39
D3-117VC 5	4280	4/04/93	17:39
D3-117VC 6	4280	4/04/93	17:39
D3-117VC HDR	2120	23/02/94	18:41
D3-14VC 3	2120	4/04/93	17:03
D3-14VC 4	2080	4/04/93	17:03
D3-14VC 5	2080	4/04/93	17:03
D3-14VC 6	2120	4/04/93	17:03
D3-14VC HDR	2118	23/02/94	18:43
D3-253RM 3	1720	4/04/93	15:32
D3-253RM 4	1720	4/04/93	15:31
D3-253RM 5	1720	4/04/93	15:31
D3-253RM 6	1720	4/04/93	15:32
D3-253RM HDR	2119	23/02/94	18:43
D3-41VC 5	2080	4/04/93	17:18
D3-41VC 6	2080	4/04/93	17:18
D3-41VC 8	2040	4/04/93	17:18
D3-41VC 9	2040	4/04/93	17:18
D3-41VC HDR	2016	23/02/94	18:44
D3-42VC 4	1680	4/04/93	15:47
D3-42VC 5	1680	4/04/93	15:47
D3-42VC 6	1680	4/04/93	15:47
D3-42VC 9	1680	4/04/93	15:47
D3-42VC HDR	1414	23/02/94	18:45
D3-458BJ 5	1280	4/04/93	18:39
D3-458BJ 7	1280	4/04/93	18:39
D3-458BJ 8	1240	4/04/93	18:39
D3-458BJ 9	1240	4/04/93	18:39
D3-458BJ HDR	1485	23/02/94	18:45
D3-46VC 3	2960	4/04/93	17:33
D3-46VC 4	1480	4/04/93	17:33
D3-46VC 5	1480	4/04/93	17:33
D3-46VC 6	1480	4/04/93	17:33
D3-46VC HDR	2118	23/02/94	18:46
D3-47VC 3	5040	4/04/93	18:25
D3-47VC 4	5040	4/04/93	18:25
D3-47VC 7	5080	4/04/93	18:25
D3-47VC 8	5040	4/04/93	18:25
D3-47VC HDR	1444	23/02/94	18:47
D3-485BJ 5	6440	4/04/93	17:44
D3-485BJ 6	6440	4/04/93	17:44
D3-485BJ 8	6440	4/04/93	17:44

D3-485BJ	9	6440	4/04/93	17:44
D3-485BJ	HDR	2390	23/02/94	18:47
D3-486BJ	3	1840	4/04/93	17:48
D3-486BJ	4	1880	4/04/93	17:47
D3-486BJ	5	3720	4/04/93	17:48
D3-486BJ	6	1840	4/04/93	17:48
D3-486BJ	HDR	2127	23/02/94	18:48
D3-50VC	4	5200	4/04/93	18:00
D3-50VC	5	1040	4/04/93	18:00
D3-50VC	6	5200	4/04/93	18:00
D3-50VC	7	1040	4/04/93	18:00
D3-50VC	HDR	1586	23/02/94	18:48
D3-53VC	3	7360	4/04/93	18:18
D3-53VC	4	7320	4/04/93	18:18
D3-53VC	5	7320	4/04/93	18:18
D3-53VC	6	7320	4/04/93	18:18
D3-53VC	HDR	1455	23/02/94	18:49
D3-56VC	4	7680	4/04/93	18:13
D3-56VC	5	1560	4/04/93	18:13
D3-56VC	6	7680	4/04/93	18:13
D3-56VC	7	1560	4/04/93	18:13
D3-56VC	HDR	1606	23/02/94	18:49
D3-59VC	3	3600	4/04/93	18:29
D3-59VC	4	3600	4/04/93	18:29
D3-59VC	5	3640	4/04/93	18:29
D3-59VC	6	3600	4/04/93	18:30
D3-59VC	HDR	1440	23/02/94	18:50
D3-70FE	3	2360	4/04/93	17:52
D3-70FE	4	1160	4/04/93	17:52
D3-70FE	5	1160	4/04/93	17:52
D3-70FE	6	1200	4/04/93	17:52
D3-70FE	HDR	2115	23/02/94	18:51
D3-A10	5	18200	4/04/93	16:47
D3-A10	6	18240	4/04/93	16:47
D3-A10	8	18200	4/04/93	16:47
D3-A10	9	18200	4/04/93	16:47
D3-A10	HDR	2058	23/02/94	18:51
D3-A11	3	6040	4/04/93	15:37
D3-A11	4	6040	4/04/93	15:37
D3-A11	5	6040	4/04/93	15:37
D3-A11	6	6040	4/04/93	15:37
D3-A11	HDR	2125	23/02/94	18:52
D3-A3	3	320	4/04/93	17:56
D3-A3	4	320	4/04/93	17:56
D3-A3	5	320	4/04/93	17:56
D3-A3	6	320	4/04/93	17:56
D3-A3	HDR	1437	23/02/94	18:52
D3-A4	3	2280	4/04/93	16:52
D3-A4	4	2240	4/04/93	16:52
D3-A4	5	2240	4/04/93	16:52
D3-A4	6	2280	4/04/93	16:52
D3-A4	HDR	2106	23/02/94	18:52

D3-A5	3	800	4/04/93	18:07
D3-A5	4	800	4/04/93	18:07
D3-A5	5	800	4/04/93	18:07
D3-A5	6	800	4/04/93	18:07
D3-A5	HDR	1441	23/02/94	18:53
D3-A8	3	4880	4/04/93	15:56
D3-A8	4	4880	4/04/93	15:56
D3-A8	5	4880	4/04/93	15:56
D3-A8	6	5000	4/04/93	15:56
D3-A8	HDR	2128	23/02/94	18:53
D3-A9	3	6120	4/04/93	16:02
D3-A9	4	12200	4/04/93	16:02
D3-A9	5	6080	4/04/93	16:02
D3-A9	8	6120	4/04/93	16:02
D3-A9	HDR	2227	23/02/94	18:54
D3-B10	3	2960	4/04/93	16:58
D3-B10	4	2960	4/04/93	16:58
D3-B10	6	2960	4/04/93	16:58
D3-B10	7	5920	4/04/93	16:58
D3-B10	HDR	2308	23/02/94	18:54
D3-B5	2	1720	4/04/93	15:28
D3-B5	3	1720	4/04/93	15:28
D3-B5	4	1720	4/04/93	15:28
D3-B5	5	1720	4/04/93	15:28
D3-B5	HDR	2120	23/02/94	18:55
D3-M	4	1800	5/04/93	23:12
D3-M	5	3600	5/04/93	23:12
D3-M	6	1800	5/04/93	23:12
D3-M	8	1800	5/04/93	23:12
D3-M	HDR	1572	23/02/94	18:55

FICHEROS ACL DE LA CAMPAÑA D4 ABRIL 1991

D4-112VC 1	520	4/04/93	18:59
D4-112VC 2	520	4/04/93	18:59
D4-112VC 3	480	4/04/93	18:59
D4-112VC 4	480	4/04/93	18:59
D4-112VC HDR	2750	4/04/93	18:59
D4-117VC 1	4960	4/04/93	19:04
D4-117VC 2	5000	4/04/93	19:04
D4-117VC 3	4920	4/04/93	19:04
D4-117VC 4	4920	4/04/93	19:04
D4-117VC HDR	2748	24/02/94	10:15
D4-14VC 1	2640	4/04/93	18:55
D4-14VC 2	2640	4/04/93	18:55
D4-14VC 3	2560	4/04/93	18:55
D4-14VC 4	2560	4/04/93	18:55
D4-14VC HDR	2819	24/02/94	10:15
D4-224RM 1	2800	4/04/93	19:28
D4-224RM 2	2760	4/04/93	19:28
D4-224RM 3	2760	4/04/93	19:28
D4-224RM 4	2720	4/04/93	19:28
D4-224RM HDR	1415	24/02/94	10:16
D4-240RM 1	400	4/04/93	19:18
D4-240RM 2	400	4/04/93	19:18
D4-240RM 3	320	4/04/93	19:18
D4-240RM 4	320	4/04/93	19:18
D4-240RM HDR	2745	24/02/94	10:16
D4-244RM 1	2280	4/04/93	19:16
D4-244RM 2	2280	4/04/93	19:16
D4-244RM 3	2200	4/04/93	19:16
D4-244RM 4	2200	4/04/93	19:16
D4-244RM HDR	2719	24/02/94	10:17
D4-253RM 1	2280	4/04/93	19:22
D4-253RM 2	2280	4/04/93	19:22
D4-253RM 3	2200	4/04/93	19:22
D4-253RM 4	2200	4/04/93	19:22
D4-253RM HDR	2746	24/02/94	10:18
D4-37VC 1	560	4/04/93	19:33
D4-37VC 2	520	4/04/93	19:33
D4-37VC 3	480	4/04/93	19:33
D4-37VC 4	480	4/04/93	19:33
D4-37VC HDR	2759	24/02/94	10:19
D4-41VC 1	3080	4/04/93	19:41
D4-41VC 2	3120	4/04/93	19:42
D4-41VC 3	3040	4/04/93	19:42
D4-41VC 4	3040	4/04/93	19:42
D4-41VC HDR	2744	24/02/94	10:19
D4-42VC 1	1120	4/04/93	19:57
D4-42VC 2	1120	4/04/93	19:57
D4-42VC 3	1080	4/04/93	19:57

D4-42VC	4	1080	4/04/93	19:57
D4-42VC	HDR	2749	4/04/93	19:57
D4-458BJ	1	840	4/04/93	19:39
D4-458BJ	2	840	4/04/93	19:39
D4-458BJ	3	800	4/04/93	19:39
D4-458BJ	4	800	4/04/93	19:39
D4-458BJ	HDR	2793	24/02/94	10:20
D4-47VC	1	720	4/04/93	19:45
D4-47VC	2	720	4/04/93	19:45
D4-47VC	3	640	4/04/93	19:45
D4-47VC	4	640	4/04/93	19:45
D4-47VC	HDR	1702	24/02/94	10:39
D4-485BJ	1	8120	4/04/93	19:49
D4-485BJ	2	8040	4/04/93	19:50
D4-485BJ	3	7760	4/04/93	19:50
D4-485BJ	4	7760	4/04/93	19:50
D4-485BJ	HDR	2722	4/04/93	19:49
D4-486BJ	1	2280	4/04/93	19:36
D4-486BJ	2	2240	4/04/93	19:36
D4-486BJ	3	2200	4/04/93	19:36
D4-486BJ	4	2200	4/04/93	19:36
D4-486BJ	HDR	2798	24/02/94	10:22
D4-506BJ	1	5040	5/04/93	1:00
D4-506BJ	2	5000	5/04/93	1:00
D4-506BJ	3	5000	5/04/93	1:00
D4-506BJ	4	5000	5/04/93	1:00
D4-506BJ	HDR	2745	24/02/94	10:22
D4-50VC	1	720	5/04/93	2:47
D4-50VC	2	760	5/04/93	2:47
D4-50VC	3	680	5/04/93	2:47
D4-50VC	4	680	5/04/93	2:47
D4-50VC	HDR	2750	5/04/93	2:47
D4-53VC	1	1000	5/04/93	0:41
D4-53VC	2	1000	5/04/93	0:41
D4-53VC	3	960	5/04/93	0:41
D4-53VC	4	960	5/04/93	0:41
D4-53VC	HDR	2789	24/02/94	10:23
D4-54VC	1	1040	5/04/93	1:30
D4-54VC	2	1040	5/04/93	1:30
D4-54VC	3	960	5/04/93	1:30
D4-54VC	4	960	5/04/93	1:30
D4-54VC	HDR	2741	24/02/94	10:24
D4-56VC	1	1040	5/04/93	0:50
D4-56VC	2	1080	5/04/93	0:50
D4-56VC	3	1000	5/04/93	0:50
D4-56VC	4	1000	5/04/93	0:50
D4-56VC	HDR	1695	24/02/94	10:24
D4-59VC	1	520	5/04/93	0:47
D4-59VC	2	560	5/04/93	0:47
D4-59VC	3	480	5/04/93	0:47
D4-59VC	4	480	5/04/93	0:47
D4-59VC	HDR	1693	24/02/94	10:25

D4-A10	1	10960	4/04/93	23:00
D4-A10	2	11000	4/04/93	23:00
D4-A10	3	10960	4/04/93	23:00
D4-A10	4	10960	4/04/93	23:00
D4-A10	HDR	2586	24/02/94	10:25
D4-A11	6	6120	4/04/93	21:46
D4-A11	7	6160	4/04/93	21:46
D4-A11	8	6080	4/04/93	21:46
D4-A11	9	6080	4/04/93	21:46
D4-A11	HDR	1653	24/02/94	10:25
D4-A3	1	240	4/04/93	22:48
D4-A3	2	240	4/04/93	22:48
D4-A3	3	200	4/04/93	22:48
D4-A3	4	200	4/04/93	22:48
D4-A3	HDR	2669	24/02/94	10:26
D4-A4	1	2840	4/04/93	21:51
D4-A4	2	2800	4/04/93	21:51
D4-A4	3	2800	4/04/93	21:51
D4-A4	4	2760	4/04/93	21:51
D4-A4	HDR	1602	24/02/94	10:27
D4-A5	1	160	4/04/93	22:37
D4-A5	2	160	4/04/93	22:37
D4-A5	3	120	4/04/93	22:37
D4-A5	4	120	4/04/93	22:37
D4-A5	HDR	2678	24/02/94	10:27
D4-A8	1	3040	4/04/93	22:54
D4-A8	2	3080	4/04/93	22:54
D4-A8	3	3040	4/04/93	22:54
D4-A8	4	3000	4/04/93	22:54
D4-A8	HDR	2654	24/02/94	10:28
D4-A9	1	4760	4/04/93	21:37
D4-A9	2	4760	4/04/93	21:37
D4-A9	3	4720	4/04/93	21:38
D4-A9	4	4720	4/04/93	21:38
D4-A9	HDR	2663	24/02/94	10:28
D4-B10	1	3800	7/04/93	19:30
D4-B10	2	3840	7/04/93	19:30
D4-B10	4	3760	7/04/93	19:30
D4-B10	5	3720	7/04/93	19:30
D4-B10	HDR	2932	24/02/94	10:44
D4-B5	1	2200	4/04/93	23:28
D4-B5	2	2200	4/04/93	23:28
D4-B5	3	2120	4/04/93	23:28
D4-B5	4	2120	4/04/93	23:28
D4-B5	HDR	2660	24/02/94	10:29
D4-B9A	1	1320	5/04/93	0:10
D4-B9A	2	1320	5/04/93	0:10
D4-B9A	3	1240	5/04/93	0:10
D4-B9A	4	1240	5/04/93	0:11
D4-B9A	HDR	2754	5/04/93	0:10
D4-B9B	1	4360	5/04/93	0:20
D4-B9B	2	4320	5/04/93	0:20

D4-B9B	3	4280	5/04/93	0:20
D4-B9B	4	4280	5/04/93	0:20
D4-B9B	HDR	2762	5/04/93	0:19
D4-M	1	1160	5/04/93	0:33
D4-M	2	1160	5/04/93	0:33
D4-M	3	1120	5/04/93	0:33
D4-M	4	1120	5/04/93	0:33
D4-M	HDR	1693	24/02/94	10:30
D4-N	1	1280	5/04/93	0:36
D4-N	2	1280	5/04/93	0:37
D4-N	3	1240	5/04/93	0:37
D4-N	4	1240	5/04/93	0:37
D4-N	HDR	2725	24/02/94	10:30

FICHEROS ACL DE LA CAMPAÑA D5 NOVIEMBRE 1991

D5-112VC 1	600	5/04/93	12:27
D5-112VC 2	600	5/04/93	12:27
D5-112VC 4	560	5/04/93	12:27
D5-112VC 7	600	5/04/93	12:27
D5-112VC 8	520	5/04/93	12:27
D5-112VC 9	520	5/04/93	12:27
D5-112VC HDR	2909	14/03/94	12:26
D5-14VC 1	2720	5/04/93	12:34
D5-14VC 2	2720	5/04/93	12:34
D5-14VC 4	2680	5/04/93	12:34
D5-14VC 7	2720	5/04/93	12:34
D5-14VC 8	2640	5/04/93	12:34
D5-14VC 9	2640	5/04/93	12:34
D5-14VC HDR	2910	14/03/94	13:49
D5-224RM 1	2640	5/04/93	9:35
D5-224RM 2	2640	5/04/93	9:35
D5-224RM 4	2600	5/04/93	9:35
D5-224RM 7	2640	5/04/93	9:35
D5-224RM 8	2560	5/04/93	9:35
D5-224RM 9	2560	5/04/93	9:35
D5-224RM HDR	2933	14/03/94	13:53
D5-240RM 1	400	5/04/93	9:28
D5-240RM 2	400	5/04/93	9:28
D5-240RM 4	400	5/04/93	9:28
D5-240RM 7	400	5/04/93	9:28
D5-240RM 8	320	5/04/93	9:28
D5-240RM 9	320	5/04/93	9:28
D5-240RM HDR	2991	14/03/94	13:52
D5-244RM 1	2240	5/04/93	9:19
D5-244RM 2	2240	5/04/93	9:19
D5-244RM 4	2240	5/04/93	9:19
D5-244RM 7	2240	5/04/93	9:19
D5-244RM 8	2200	5/04/93	9:19
D5-244RM 9	2200	5/04/93	9:19
D5-244RM HDR	2969	14/03/94	13:54
D5-253RM 1	2240	5/04/93	9:53
D5-253RM 2	2240	5/04/93	9:53
D5-253RM 4	2200	5/04/93	9:53
D5-253RM 7	2240	5/04/93	9:54
D5-253RM 8	2160	5/04/93	9:54
D5-253RM 9	2120	5/04/93	9:54
D5-253RM HDR	2838	14/03/94	13:55
D5-37VC 1	600	5/04/93	17:07
D5-37VC 2	640	5/04/93	17:07
D5-37VC 4	600	5/04/93	17:07
D5-37VC 7	640	5/04/93	17:07
D5-37VC 8	560	5/04/93	17:07
D5-37VC 9	560	5/04/93	17:07

D5-37VC	HDR	2906	14/03/94	13:56
D5-41VC	1	1440	5/04/93	17:17
D5-41VC	2	1480	5/04/93	17:17
D5-41VC	4	1440	5/04/93	17:17
D5-41VC	7	1480	5/04/93	17:17
D5-41VC	8	1440	5/04/93	17:17
D5-41VC	9	1440	5/04/93	17:17
D5-41VC	HDR	2823	14/03/94	13:37
D5-42VC	1	1120	5/04/93	17:21
D5-42VC	2	1160	5/04/93	17:21
D5-42VC	4	1120	5/04/93	17:21
D5-42VC	7	1160	5/04/93	17:21
D5-42VC	8	1080	5/04/93	17:21
D5-42VC	9	1080	5/04/93	17:21
D5-42VC	HDR	2904	14/03/94	13:39
D5-47VC	1	640	5/04/93	17:25
D5-47VC	2	640	5/04/93	17:25
D5-47VC	4	640	5/04/93	17:25
D5-47VC	7	640	5/04/93	17:25
D5-47VC	8	600	5/04/93	17:25
D5-47VC	9	600	5/04/93	17:25
D5-47VC	HDR	2922	14/03/94	13:40
D5-50VC	1	720	5/04/93	9:23
D5-50VC	2	720	5/04/93	9:23
D5-50VC	4	720	5/04/93	9:23
D5-50VC	7	720	5/04/93	9:23
D5-50VC	8	640	5/04/93	9:23
D5-50VC	9	640	5/04/93	9:23
D5-50VC	HDR	2984	14/03/94	13:57
D5-53VC	1	1000	5/04/93	12:59
D5-53VC	2	1000	5/04/93	12:59
D5-53VC	4	1000	5/04/93	12:59
D5-53VC	7	1000	5/04/93	12:59
D5-53VC	8	960	5/04/93	12:59
D5-53VC	9	960	5/04/93	12:59
D5-53VC	HDR	2886	14/03/94	13:58
D5-54VC	1	1000	5/04/93	17:27
D5-54VC	2	1040	5/04/93	17:27
D5-54VC	4	1000	5/04/93	17:27
D5-54VC	5	1000	5/04/93	17:27
D5-54VC	HDR	2392	24/02/94	11:06
D5-56VC	1	1040	5/04/93	17:35
D5-56VC	2	1000	5/04/93	17:35
D5-56VC	3	1000	5/04/93	17:35
D5-56VC	4	960	5/04/93	17:35
D5-56VC	HDR	2254	24/02/94	11:06
D5-59VC	1	560	5/04/93	12:51
D5-59VC	2	560	5/04/93	12:51
D5-59VC	4	560	5/04/93	12:51
D5-59VC	7	560	5/04/93	12:51
D5-59VC	8	520	5/04/93	12:51
D5-59VC	9	520	5/04/93	12:51

D5-59VC	HDR	3028	14/03/94	13:58
D5-A10	1	11000	5/04/93	16:27
D5-A10	2	11040	5/04/93	16:27
D5-A10	4	10960	5/04/93	16:27
D5-A10	7	11040	5/04/93	16:27
D5-A10	8	10960	5/04/93	16:28
D5-A10	9	10960	5/04/93	16:28
D5-A10	HDR	2914	14/03/94	13:59
D5-A11	1	7760	5/04/93	13:40
D5-A11	2	7760	5/04/93	13:40
D5-A11	4	7720	5/04/93	13:40
D5-A11	7	7800	5/04/93	13:41
D5-A11	8	7680	5/04/93	13:41
D5-A11	9	7680	5/04/93	13:41
D5-A11	HDR	2935	14/03/94	11:50
D5-A3	1	240	5/04/93	16:33
D5-A3	2	240	5/04/93	16:33
D5-A3	4	240	5/04/93	16:33
D5-A3	7	240	5/04/93	16:33
D5-A3	8	200	5/04/93	16:33
D5-A3	9	200	5/04/93	16:33
D5-A3	HDR	2916	14/03/94	14:00
D5-A4	1	2840	5/04/93	13:06
D5-A4	2	2840	5/04/93	13:06
D5-A4	4	2840	5/04/93	13:06
D5-A4	7	2840	5/04/93	13:06
D5-A4	8	2800	5/04/93	13:06
D5-A4	9	2800	5/04/93	13:06
D5-A4	HDR	2861	14/03/94	14:01
D5-A5	1	160	5/04/93	16:30
D5-A5	2	160	5/04/93	16:30
D5-A5	4	160	5/04/93	16:30
D5-A5	7	160	5/04/93	16:30
D5-A5	8	120	5/04/93	16:30
D5-A5	9	120	5/04/93	16:30
D5-A5	HDR	2981	14/03/94	14:02
D5-A8	1	3160	5/04/93	13:32
D5-A8	2	3160	5/04/93	13:33
D5-A8	4	3160	5/04/93	13:33
D5-A8	7	3160	5/04/93	13:33
D5-A8	8	3120	5/04/93	13:33
D5-A8	9	3120	5/04/93	13:33
D5-A8	HDR	2836	14/03/94	14:03
D5-A9	1	5920	5/04/93	16:36
D5-A9	2	5960	5/04/93	16:36
D5-A9	4	5920	5/04/93	16:37
D5-A9	7	5960	5/04/93	16:37
D5-A9	8	5880	5/04/93	16:37
D5-A9	9	5880	5/04/93	16:37
D5-A9	HDR	2919	14/03/94	14:03
D5-M	1	1200	5/04/93	12:43
D5-M	2	1200	5/04/93	12:43

D5-M	4	1200	5/04/93	12:43
D5-M	7	1200	5/04/93	12:43
D5-M	8	1160	5/04/93	12:43
D5-M	9	1120	5/04/93	12:43
D5-M	HDR	2982	14/03/94	14:04
D5-N	1	1320	5/04/93	12:39
D5-N	2	1320	5/04/93	12:39
D5-N	4	1280	5/04/93	12:39
D5-N	7	1320	5/04/93	12:40
D5-N	8	1240	5/04/93	12:40
D5-N	9	1240	5/04/93	12:40
D5-N	HDR	2902	14/03/94	14:05

FICHEROS ACL DE LA CAMPAÑA D6 ABRIL 1992

D6-112VC 1	560	5/04/93	20:16
D6-112VC 10	480	5/04/93	20:16
D6-112VC 11	480	5/04/93	20:16
D6-112VC 2	560	5/04/93	20:16
D6-112VC 4	560	5/04/93	20:16
D6-112VC 7	560	5/04/93	20:16
D6-112VC 9	600	5/04/93	20:16
D6-112VC HDR	3268	14/03/94	15:21
D6-117VC 1	5240	5/04/93	20:41
D6-117VC 2	5200	5/04/93	20:41
D6-117VC 3	5160	5/04/93	20:41
D6-117VC 4	5160	5/04/93	20:41
D6-117VC HDR	2197	24/02/94	11:57
D6-14VC 1	2720	5/04/93	18:35
D6-14VC 10	2640	5/04/93	18:36
D6-14VC 11	2640	5/04/93	18:36
D6-14VC 2	2720	5/04/93	18:35
D6-14VC 4	2680	5/04/93	18:36
D6-14VC 7	2720	5/04/93	18:36
D6-14VC 9	2760	5/04/93	18:36
D6-14VC HDR	3268	14/03/94	14:06
D6-224RM 1	2600	5/04/93	18:20
D6-224RM 10	2520	5/04/93	18:20
D6-224RM 11	2520	5/04/93	18:20
D6-224RM 2	2600	5/04/93	18:20
D6-224RM 4	2600	5/04/93	18:20
D6-224RM 7	2600	5/04/93	18:20
D6-224RM 9	2640	5/04/93	18:20
D6-224RM HDR	3253	14/03/94	14:07
D6-240RM 1	400	5/04/93	18:26
D6-240RM 10	360	5/04/93	18:26
D6-240RM 11	320	5/04/93	18:26
D6-240RM 2	400	5/04/93	18:26
D6-240RM 4	400	5/04/93	18:26
D6-240RM 7	400	5/04/93	18:26
D6-240RM 9	440	5/04/93	18:26
D6-240RM HDR	3271	14/03/94	14:09
D6-244RM 1	2320	5/04/93	20:50
D6-244RM 2	2280	5/04/93	20:50
D6-244RM 3	2240	5/04/93	20:50
D6-244RM 4	2240	5/04/93	20:50
D6-244RM HDR	2205	24/02/94	11:58
D6-252RM 1	840	5/04/93	18:29
D6-252RM 10	760	5/04/93	18:29
D6-252RM 11	760	5/04/93	18:29
D6-252RM 2	840	5/04/93	18:29
D6-252RM 4	840	5/04/93	18:29
D6-252RM 7	840	5/04/93	18:29

D6-252RM 9	880	5/04/93	18:29
D6-252RM HDR	3277	14/03/94	14:10
D6-253RM 1	2200	5/04/93	18:32
D6-253RM 10	2120	5/04/93	18:32
D6-253RM 11	2080	5/04/93	18:32
D6-253RM 2	2200	5/04/93	18:32
D6-253RM 4	2160	5/04/93	18:32
D6-253RM 7	2200	5/04/93	18:32
D6-253RM 9	2200	5/04/93	18:32
D6-253RM HDR	3276	14/03/94	14:12
D6-37VC 1	560	5/04/93	18:38
D6-37VC 10	480	5/04/93	18:38
D6-37VC 11	480	5/04/93	18:39
D6-37VC 2	560	5/04/93	18:38
D6-37VC 4	520	5/04/93	18:38
D6-37VC 7	560	5/04/93	18:38
D6-37VC 9	600	5/04/93	18:38
D6-37VC HDR	3246	14/03/94	14:13
D6-41VC 1	1120	5/04/93	19:00
D6-41VC 10	1080	5/04/93	19:01
D6-41VC 11	1040	5/04/93	19:01
D6-41VC 2	1120	5/04/93	19:00
D6-41VC 4	1120	5/04/93	19:01
D6-41VC 7	1120	5/04/93	19:01
D6-41VC 9	1160	5/04/93	19:01
D6-41VC HDR	3347	14/03/94	15:24
D6-42VC 1	1120	5/04/93	19:04
D6-42VC 10	1040	5/04/93	19:05
D6-42VC 11	1040	5/04/93	19:05
D6-42VC 2	1120	5/04/93	19:04
D6-42VC 4	1120	5/04/93	19:04
D6-42VC 7	1120	5/04/93	19:05
D6-42VC 9	1160	5/04/93	19:05
D6-42VC HDR	3280	14/03/94	15:25
D6-47VC 1	680	5/04/93	19:21
D6-47VC 10	600	5/04/93	19:21
D6-47VC 2	680	5/04/93	19:21
D6-47VC 4	680	5/04/93	19:21
D6-47VC 7	680	5/04/93	19:21
D6-47VC 9	640	5/04/93	19:21
D6-47VC HDR	3001	14/03/94	16:42
D6-485BJ 1	6440	5/04/93	20:33
D6-485BJ 2	6440	5/04/93	20:33
D6-485BJ 3	6400	5/04/93	20:33
D6-485BJ 4	6400	5/04/93	20:33
D6-485BJ HDR	2275	24/02/94	11:59
D6-486BJ 1	2000	5/04/93	20:22
D6-486BJ 2	2040	5/04/93	20:22
D6-486BJ 3	1960	5/04/93	20:22
D6-486BJ 4	1960	5/04/93	20:22
D6-486BJ HDR	2201	24/02/94	11:59
D6-506BJ 1	4040	5/04/93	20:38

D6-506BJ	2	4080	5/04/93	20:38
D6-506BJ	3	4040	5/04/93	20:38
D6-506BJ	4	4040	5/04/93	20:38
D6-506BJ	HDR	2212	24/02/94	12:00
D6-50VC	1	720	5/04/93	19:30
D6-50VC	10	680	5/04/93	19:31
D6-50VC	11	640	5/04/93	19:31
D6-50VC	2	720	5/04/93	19:30
D6-50VC	4	720	5/04/93	19:30
D6-50VC	7	720	5/04/93	19:30
D6-50VC	9	760	5/04/93	19:31
D6-50VC	HDR	3286	14/03/94	16:44
D6-53VC	1	1040	5/04/93	19:34
D6-53VC	10	960	5/04/93	19:34
D6-53VC	11	920	5/04/93	19:34
D6-53VC	2	1040	5/04/93	19:34
D6-53VC	4	1000	5/04/93	19:34
D6-53VC	7	1040	5/04/93	19:34
D6-53VC	9	1080	5/04/93	19:34
D6-53VC	HDR	3264	14/03/94	16:45
D6-54VC	1	1080	5/04/93	19:37
D6-54VC	10	1000	5/04/93	19:37
D6-54VC	11	1000	5/04/93	19:37
D6-54VC	2	1080	5/04/93	19:37
D6-54VC	4	1040	5/04/93	19:37
D6-54VC	7	1080	5/04/93	19:37
D6-54VC	9	1120	5/04/93	19:37
D6-54VC	HDR	3278	14/03/94	16:46
D6-56VC	1	1040	5/04/93	20:02
D6-56VC	10	1000	5/04/93	20:03
D6-56VC	11	960	5/04/93	20:03
D6-56VC	2	1040	5/04/93	20:03
D6-56VC	4	1040	5/04/93	20:03
D6-56VC	7	1040	5/04/93	20:03
D6-56VC	9	1080	5/04/93	20:03
D6-56VC	HDR	3324	14/03/94	16:48
D6-59VC	1	600	5/04/93	20:12
D6-59VC	10	520	5/04/93	20:12
D6-59VC	11	520	5/04/93	20:12
D6-59VC	2	600	5/04/93	20:12
D6-59VC	4	600	5/04/93	20:12
D6-59VC	7	600	5/04/93	20:12
D6-59VC	9	640	5/04/93	20:12
D6-59VC	HDR	3259	14/03/94	16:49
D6-6RM	1	440	5/04/93	18:02
D6-6RM	10	440	5/04/93	18:02
D6-6RM	11	400	5/04/93	18:02
D6-6RM	2	480	5/04/93	18:02
D6-6RM	4	440	5/04/93	18:02
D6-6RM	7	480	5/04/93	18:02
D6-6RM	9	480	5/04/93	18:02
D6-6RM	HDR	3271	14/03/94	14:33

D6-A10	1	10960	5/04/93	21:14
D6-A10	2	11000	5/04/93	21:13
D6-A10	3	10920	5/04/93	21:14
D6-A10	4	10920	5/04/93	21:14
D6-A10	HDR	2268	24/02/94	12:01
D6-A11	1	7680	5/04/93	17:51
D6-A11	10	7600	5/04/93	17:52
D6-A11	11	7560	5/04/93	17:52
D6-A11	2	7680	5/04/93	17:51
D6-A11	4	7640	5/04/93	17:52
D6-A11	7	7680	5/04/93	17:52
D6-A11	9	7680	5/04/93	17:52
D6-A11	HDR	3276	14/03/94	14:34
D6-A4	1	2880	5/04/93	17:43
D6-A4	10	2800	5/04/93	17:44
D6-A4	11	2760	5/04/93	17:44
D6-A4	2	2880	5/04/93	17:43
D6-A4	4	2840	5/04/93	17:43
D6-A4	7	2880	5/04/93	17:43
D6-A4	9	2880	5/04/93	17:44
D6-A4	HDR	3095	14/03/94	14:38
D6-A8	1	2480	5/04/93	17:47
D6-A8	10	2400	5/04/93	17:47
D6-A8	11	2400	5/04/93	17:47
D6-A8	2	2480	5/04/93	17:47
D6-A8	4	2440	5/04/93	17:47
D6-A8	7	2480	5/04/93	17:47
D6-A8	9	2480	5/04/93	17:47
D6-A8	HDR	3264	14/03/94	14:39
D6-A9	1	5600	5/04/93	18:44
D6-A9	10	5560	5/04/93	18:44
D6-A9	11	5520	5/04/93	18:44
D6-A9	2	5600	5/04/93	18:44
D6-A9	4	5560	5/04/93	18:44
D6-A9	7	5600	5/04/93	18:44
D6-A9	9	5600	5/04/93	18:44
D6-A9	HDR	3339	14/03/94	14:41
D6-B10	4	30480	6/04/93	5:58
D6-B10	5	30480	6/04/93	5:59
D6-B10	6	30280	6/04/93	5:59
D6-B10	7	30280	6/04/93	5:59
D6-B10	HDR	2231	24/02/94	12:02
D6-B5	1	1720	5/04/93	21:02
D6-B5	2	1720	5/04/93	21:02
D6-B5	3	1720	5/04/93	21:02
D6-B5	4	1720	5/04/93	21:02
D6-B5	HDR	2204	24/02/94	12:02
D6-B9A	1	1000	5/04/93	20:54
D6-B9A	2	1000	5/04/93	20:54
D6-B9A	3	1000	5/04/93	20:54
D6-B9A	4	1000	5/04/93	20:54
D6-B9A	HDR	2214	24/02/94	12:03

D6-B9B	1	3400	5/04/93	20:58
D6-B9B	2	3400	5/04/93	20:58
D6-B9B	3	3400	5/04/93	20:58
D6-B9B	4	3400	5/04/93	20:58
D6-B9B	HDR	2215	24/02/94	12:03
D6-M	1	1200	5/04/93	17:56
D6-M	10	1120	5/04/93	17:56
D6-M	11	1080	5/04/93	17:56
D6-M	2	1200	5/04/93	17:56
D6-M	4	1200	5/04/93	17:56
D6-M	7	1200	5/04/93	17:56
D6-M	9	1240	5/04/93	17:56
D6-M	HDR	3251	14/03/94	14:42
D6-N	1	1320	5/04/93	17:58
D6-N	10	1280	5/04/93	17:59
D6-N	11	1280	5/04/93	17:59
D6-N	2	1320	5/04/93	17:58
D6-N	4	1320	5/04/93	17:58
D6-N	7	1320	5/04/93	17:59
D6-N	9	1360	5/04/93	17:59
D6-N	HDR	3262	14/03/94	14:47

ANEXO II

FICHEROS EMPLEADOS EN LOS GRAFICOS

Los gráficos de este Informe se han confeccionado mediante el programa GRAPHER, de Golden. Para ello se han preparado los adecuados ficheros de datos, que son los siguientes:

gráfico	ficheros
5.....	TEO1
6.....	TEO2
7.....	CALCGS, TEO1P
8.....	CALCON (C,B)
9.....	CALCON (A,C-A,D)
10.....	CALCON (B,E), RECTA
11.....	CALCON (A,B), TEO1
12.....	CALCON1 (A,B) ,TEO12,CGS11
15.....	224A10 (C,D-C,B),TEO15,CACG15
16.....	224 (B,D), A10 (B,D), RECTA16
17.....	224 (E,C), A10(E,C)
18.....	224A10 (E,C)
19.....	224 (C,D), A10 (C,D), TEO19

A continuación se dá un listado del contenido de estos ficheros, indicando la tabla y/o gráfico donde se ha utilizado, agrupados por contenidos:

- * valores teóricos de la resistividad.
- * calibraciones de la sonda 9040 de Century.
- * calibraciones de la sonda de conductividad.
- * lecturas de las sondas en los sondeos A10 y 224RM.

VALORES TEORICOS DE RESISTIVIDAD de Tabla A

ficheros: TEO1.DAT, TEO12, TEO15, TEO1P

g/l ohm m (1)

A	B	TEO15	TEO19	TEO12	TEO1P	TEO1
0.5	10					
0.7	7.2					
0.8	6.4					
1	5.2					
1.2	4.4					
1.4	3.75					
2	2.75					
2.5	2.2	TEO15	TEO19	TEO12	TEO1P	TEO1
3	1.8	GRAF15	GRAF19	GRAF12	GRAF7	GRAF5, 11
4	1.41					
5	1.2					
7	0.8					
8	0.72					
10	0.57					
12	0.48					
14	0.42					
15	0.38					
17	0.34					
20	0.3					
30	0.21					
50	0.13					

fichero: TEO2.DAT gráfico : 6

g/l	ohm m(2)
A	B
0.5	10
0.7	7.2
1	5
1.4	3.65
2	2.6
3	1.8
5	1.1
8	0.70
10	0.56
14	0.41
20	0.3
30	0.21
50	0.16

CALIBRACION DE LA SONDA CENTURY 9040 de Tabla B

Valores de resistividad media de las calibraciones, a 25°C

ficheros: CALCXS.DAT, CACG15, CGS11

<u>C1Na</u>	<u>m</u>
<u>g/l</u>	<u>ohm m</u>

A

B

0.5	18.42	-----	CALCXS (gráfico 7)
0.8	12.35	-----	
1	9.98	-----	
1.25	8.13	-----	
2.5	4.37	-----	
3	3.90	-----	
4	2.96	CACG15 (gráfico 15)	
5	2.37	-----	
7	1.82	-----	
8	1.68	-----	
10	1.41	-----	
11	1.30	-----	
12	1.22	-----	
15	1.02	-----	
17	0.96	-----	
20	0.85	-----	
30	0.74	-----	

CGS11
(gráfico 12)

CALIBRACIONES DE LA SONDA DE CONDUCTIVIDAD de Tabla C

fichero : CALCON.DAT

ClNa g/l	valores a 25°C			
	A C	B	D	E
0.5	1015	9.85	1000	10
0.8	1734	5.77	1563	6.4
1	2100	4.76	1923	5.2
1.25	2780	3.79		
2.5	5100	1.96	4545	2.2
3	5946	1.68	5555	1.8
3.3	6820	1.46		
4	7950	1.25	7092	1.41
5	9540	1.04	8333	1.2
7	13065	0.76	12500	0.8
8	14675	0.68	13888	0.72
10	17317	0.57	17544	0.57
11	19655	0.51		
12	21000	0.47	20833	0.48
15	25700	0.39	26316	0.38
17	29100	0.34	29412	0.34
20	33415	0.31	33333	0.30
30	48700	0.20	47619	0.21

gráficos:

8.....X=Cm	Y=Rm
9.....X=g/l	Y=Cm
9.....X=g/l	Y=Ct
10.....X=Rm	Y=Rt
11.....X=g/l	Y=Rm
12.....X=g/l	Y=Rm (fichero CALCON1.DAT, sin valor 0.5 g/l)

LECTURAS DE LAS SONDAS DE CONDUCTIVIDAD Y 9040 EN LOS SONDEOS A10
Y 224RM de Tablas E y F

fichero : A10.DAT

sonda conductividad.|....9040.....|
(3) (4) (5) (6) (7)
cond. res. sal res. sal
A B C D E
4950 2.02 2.6 2.53 2.09
4970 2.01 2.6 2.54 2.08
5000 2 2.7 2.51 2.1
5010 1.99 2.7 2.5 2.11
5210 1.92 2.8 2.385 2.22
5220 1.92 2.8 2.375 2.23
5450 1.83 2.9 2.3 2.31
5610 1.78 3 2.2 2.43
5640 1.77 3 2.19 2.44
5890 1.7 3.2 2.11 2.54
5900 1.69 3.2 2.08 2.58
5910 1.69 3.2 2.065 2.6
6380 1.57 3.5 1.85 2.93
6420 1.56 3.5 1.8 3.01
7560 1.32 4.2 1.525 3.61
9830 1.02 5.7 1.285 4.34
10620 0.94 6.2 1.18 4.76
11880 0.84 7.1 1.105 5.11
12770 0.78 7.7 1.045 5.43
13390 0.75 8.1 1 5.69
14240 0.7 8.7 0.96 5.95
14880 0.67 9.1 0.925 6.19
16080 0.62 10 0.88 6.54
17580 0.57 11 0.83 6.96
18170 0.55 11.5 0.81 7.15

gráficos : 16....X=(4) Y=(6)
17....X=(7) Y=(5)

fichero : 224.DAT

sonda conductividad. |....9040.....|

(3)	(4)	(5)	(6)	(7)
cond.	res.	sal	res.	sal
A	B	C	D	E
2600	3.84	1.3	4.315	1.17
2750	3.64	1.3	4.285	1.18
2760	3.62	1.4	4.25	1.19
2780	3.6	1.4	4.23	1.2
2780	3.6	1.4	4.245	1.19
2780	3.6	1.4	4.25	1.19
2780	3.6	1.4	4.225	1.2
2780	3.6	1.4	4.215	1.2
2780	3.6	1.4	4.175	1.21
2780	3.6	1.4	3.92	1.3
4960	2.01	2.6	2.28	2.33
5120	1.95	2.7	2.245	2.37
5620	1.78	3	1.97	2.73
6200	1.61	3.4	1.81	3
6540	1.53	3.6	1.735	3.14
7840	1.27	4.4	1.455	3.79
8770	1.14	5	1.34	4.15
9630	1.04	5.6	1.255	4.45
11770	0.85	7	1.1	5.13
12630	0.79	7.6	1.03	5.51
13520	0.74	8.2	0.955	5.98
14280	0.7	8.7	0.91	6.3
15400	0.65	9.5	0.86	6.7
16320	0.61	10.1	0.835	6.92
16750	0.59	10.5	0.805	7.2
18320	0.54	11.6	0.76	7.66
18450	0.54	11.7	0.78	7.7

gráficos : 16....X=(4) Y=(6)
17....X=(7) Y=(5)

fichero : 224A10.DAT (union de 224.dat y A10.dat)

gráficos: 15....X=(5) Y=(4)
15....X=(5) Y=(6)
18....X=(7) Y=(5)